

**O'ZBEKISTON RESPUBLIKASI OLIY VA O'RTA  
MAXSUS TA'LIM VAZIRLIGI**

**ABU RAYHON BERUNIY NOMIDAGI  
TOSHKENT DAVLAT TEXNIKA UNIVERSITETI**

# **MASHINA DETALLARI**

**fanidan kurs loyihasini bajarish  
5310400-“Aviasozlik va havo kemalaridan texnik foydalanish”  
yo‘nalishi uchun “Mashina detallari”dan  
uslubiy qo‘llanma**

**Toshkent 2015**

## **UDK 531.8**

**Orifxo‘jayev S.A.** Mashina detallari fanidan kurs loyihasini bajarish.

5310400 – “Aviasozlik va havo kemalaridan texnik foydalanish” yo‘nalishi uchun “Mashina detallari”dan uslubiy qo‘llanma. Toshkent, ToshDTU, 2015, 164 b.

Qo‘llanmada 5310400 – “Aviasozlik va havo kemalaridan texnik foydalanish” yo‘nalishi uchun kurs loyihasini bajarish yo‘llari ko‘rsatilgan. Kurs loyihasini bajarish ketma-ketligi bilan bir qatorda ko‘p uchraydigan loyihalarni hisoblash namunalari bilan bir qatorda topshiriq variantlari ham keltirilgan

Mazkur uslubiy qo‘llanmadan mashina detallari, mashina va mexanizmlar nazariyasi hamda amaliy mexanika fanlarini o‘rganuvchi tala-balar ham foydalanishlari mumkin.

*Abu Rayhon Beruniy nomidagi Toshkent davlat texnika universiteti ilmiy-uslubiy kengashi qaroriga ko‘ra chop etildi.*

Taqrizchilar: TAYI professori, t.f.n.; – Alimuxamedov Sh.P.

TDTU kafedra mudiri, t.f.n. – Mirzayev Q.Q.

## **I.Bo'lim. Hisoblash-tushuntirish ishlari**

### **1.1.«Mashina detallari»dan kurs loyihasini bajarish**

Har qanday texnologik mashinalar energiya manbai (elektro-dvigatel va boshqalar) hamda uzatmalar (tasmali, tishli yopiq va ochiq, chervyakli, zanjirli)dan tashkil topgan bo'lib, bunday ketma-ketliklar yigindisiga yuritmalar deyiladi.

«Mashina detallari»dan kursaviy loyihalash talabalarining eng birinchi mustaqil konstruktorlik ishi hisoblanadi. Uni bajarish jayronida talaba o'zining nazariy bilimlarini amalda qo'llash yo'liyo'riqlarini, fanda to'plangan ma'lumotlar jadvallaridan hamda loyihalash talablarining qonun-qoidalaridan foydalanishni o'rganadi.

Kurs loyihasini bajarish fizika, matematika, umumtexnika fanlari, metallar texnologiyasi, materiallar qarshiligi, muhandislik chizmachiliги, chizma geometriya fanlaridan olingen bilimlarga asoslanadi. Kurs loyihasining topshirig'i mexanika ish bajaruvchi organ sifatida olingen qorishtirgichlar, lentali yoki zanjirli konveyer, turli yuklagichlar, maxsulot tarqatkich va boshqalarning harakatlanishini ta'minlovchi yuritmaning kinematik sxemasi, boshlang'ich ma'lumotlar sifatida ularning energetikaviy ko'rsatkichlari berilgan bo'ladi.

Talabalar yuritmaning barcha uzatmalarini, ularning barcha elementlarigacha, masalan, bir yoki ikki pog'onali silindrik, konussimon-silindrik, bir pog'onali konussimon, chervyakli reduktor va qo'shimcha tarzda egiluvchan organli zanjirli yoki tasmali uzatmani ham hisoblab loyihalashlari kerak bo'ladi.

Jadvallari keltirilgan turli elektrodvigatellar orasidan 4A rusumli 3 fazali shamollatib turiladigan asinxron elektrodvigatelnii tanlash tavsiya qilinadi (17-jadval).

Uzatish nisbatlari qiymatlari bir pog'onada: silindrik uzatmalar – 3 dan 6 gacha, konussimon uzatmalar – 2 dan 4 gacha, chervyakli uzatmalar – 8 dan 80 gacha, zanjirli uzatmalar- 3 dan 6 gacha, tasmali uzatmalar – 2 dan 4 gacha oraliqda Davlat standartlari jadvalidan tanlanishi talab qilinadi.

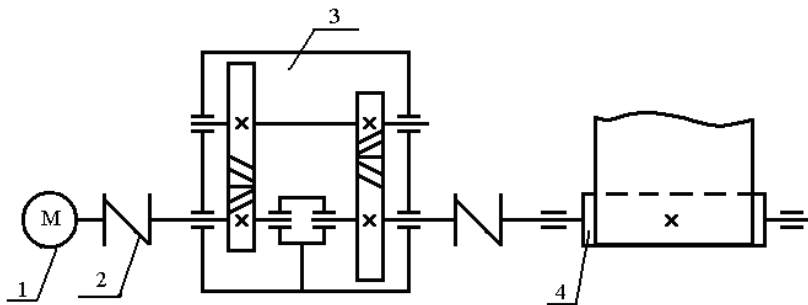
Yuqorida keltirilganlarga asoslangan holda texnologik mashinani loyihalash birinchi navbatda yuritmasining kinematik hisobidan

boshlanadi. Kinematik hisob yordamida yuritma vallarining barcha ko'rsatkichlarini aniqlanadi. Keyinchalik bunday ko'rsatkichlar asosida yuritmaning barcha uzatmalarining loyihaviy hisoblari bajariladi.

## 1.2. Yuritmaning kinematik hisobi

Sxemasi berilgan yuritmaning kinematik hisobi bajarilsin:

Berilgan:  $P_{ish}=4,5 \text{ kVt}$ ,  $\omega_{ish}=50 \text{ sek}^{-1}$



1-rasm. Lentali konveyer yuritmasi.

### Hisoblash:

## 1.3. Elektrodvigatelning talab qilingan quvvati:

$$P_{\text{sd}}^T = \frac{P_{ish}}{\eta_{um}} \quad \eta_{um} = \eta_1 \eta_2 \eta_3^k$$

bunda mexanika uzatmalarning foydali ish koeffitsiyentlari jadvalidan  $\eta_1=\eta_{sil}=0,97 \div 0,98 \approx 0,97$ -yopiq silindrik uzatmaning f.i. k. (birinchi pog'ona uchun)

$\eta_2 = \eta_1 = 0,97 \div 0,98 \approx 0,97$ -yopiq silindrik

uzatmaning f.i. k. (ikkinchi pog'ona uchun)

$\eta_3 = 0,99$  - bir juft dumalash podshipniklari f.i.k.

$K = 4$  yuritmadagi dumalash podshipniklari juftlari soni

$$\eta_{um} = 0,97 \cdot 0,97 \cdot 0,99^4 = 0,9$$

$$P_{\text{sd}}^T = \frac{4,5}{0,9} = 5$$

Elektrodvigatellar jadvalidan (17-jadval) 4A rusumli shamollatib turiladigan yopiq elektrodvigatelni  $P_{\text{sd}}^T \leq P_{\text{sd}}^{\text{ж}}$  shart asosida sinxron aylanishlari soni  $n_{\text{sin}} \approx 1500$  yoki 1000 ligini tanlaymiz (yoki jadval P<sub>1</sub> [4]).

$n_{\text{sin}}$	Rusumi	Quvvati kVt	s %	$n_{\text{dv}}$
1500	4A-112M4	5,5	3,7	1445
1000	4A-132S2	5,5	3,3	967

bunda  $n_{\text{dv}} = n_s \frac{100-s}{100}$ , bo'yicha hisoblangan.

Uzatish nisbatining umumiy qiymati.

$$\text{I-hol} \quad i_{\text{um}} = \frac{n_{\text{dv}}}{n_{\text{ish}}} = \frac{1445}{50} = 28,9 \quad (n_{\text{dv}}^s = 1500 \text{ uchun})$$

$$\text{II-hol} \quad i_{\text{um}} = \frac{967}{50} = 19,34 \quad (n_{\text{dv}}^s = 1000 \text{ uchun})$$

#### 1.4. Uzatish nisbatini pog'onalararo taqsimlash

Bu ishni ikki pog'onali o'qdosh reduktor pog'onalari uchun  $u_1 = u_2$  tarzida, yoyiq sxemali reduktorlar uchun  $u_2 = 0.89 u_1$  tarzida belgilash tavsiya etiladi. Shunda reduktor o'lchamlari eng ixcham (optimal) bo'ladi.

$$\text{I hol uchun } i_1 = i_2 \approx \sqrt{i_{\text{um}}} = \sqrt{28,9} = 5,376$$

$$\text{II hol uchun } i_1 = i_2 \approx \sqrt{i_{\text{um}}} = \sqrt{19,34} = 4,398$$

Bu qiymatlarni standart qatorda berilgan yaqin qiymatlar bilan almashtirish uzatma o'lchamlarini standart bo'lishini ta'minlaydi:

$$\text{I-hol uchun } i_{\text{st}}^1 = i_{\text{st}}^2 = 5,6$$

$$\text{II-hol uchun } i_{\text{st}}^1 = i_{\text{st}}^2 = 4,5$$

Ikkala holat uchun ham "i<sub>gost</sub>" miqdorlari jadvalidagi ikkinchi qator raqamlari yaqin keldi. Tanlab olingan uzatish nisbatlari quyidagi

$$\Delta i_{um} = \frac{i^t_{um} - i^{st}_{um}}{i^s_{um}} \cdot 100\% \leq \pm 3\% \quad (1.1)$$

shartni bajarishi tekshiriladi:

$$I \text{ hol: } \Delta i_{um} = \frac{28,9 - 31,36}{28,9} \cdot 100\% = -8,5\%$$

$$II \text{ hol: } \Delta i_{um} = \frac{19,34 - 20,25}{19,34} \cdot 100\% = -4,7\%$$

Ikkala holat uchun ham – (1.1) shart bajarilmagan. Adabiyot [4] ning 37 betida «bitta pog‘ona uzatish nisbati  $i \leq 4,5$  bo‘lganda 2,5% ga,  $i \geq 4,5$  bo‘lganda 4% ga o‘zgarishi mumkin» deyilganidan foydalanamiz.

II holat hisobining farqi kichikroq bo‘lgani uchun uning  $i$  sini 2,5%ga kamaytirishimiz mumkin.  $4,5$  uchun:  $2,5\% = (4,5:100) \cdot 2,5 = 0,1125$ , demak  $i = 4,5$  emas  $i = 4,5 - 0,1 = 4,4$  olamiz.

Shunda

$$\Delta i_{um} \frac{19,34 - 4,4^2}{19,34} \cdot 100\% = \frac{19,34 - 19,36}{19,34} \cdot 100\% = -0,103\% \leq \mp 3\% \text{ shart bajarildi.}$$

Qabul qilamiz  $i_1 = i_2 = 4,4$ .

Keltirilganlarga qo‘sishimcha sifatida yuritmaning umumiy uzatish nisbatini pog‘onalararo taqsimlashda pog‘onalar uzatish nisbatlarining qiymatlari standart miqdor bo‘lishi va ular loyihalanayotgan yuritma optimal o‘lchamlarda olinishini ta‘minlaydigan usulni keltirish mumkin. Buning uchun “ $i_{gost}$ ” jadvalidagi birinchi va ikkinchi qator raqamlarini umumlashtirib, ikkinchi qatorni birinchisiga «singdirib», hosil bo‘lgan umumlashgan raqamlar qatoridan «chizgich» sifatida foydalanamiz.

ГОСТ 2185-66 dagi “ГОСТ” jadvali quyida keltirilgan:

1-qator: 1; 1,25; 1,6; 2,0; 2,5; 3,15; 4,0; 5,0; 6,3; 8,0; 10,0

2- qator: 1,12; 1,4; 1,8; 2,24; 2,8; 3,55; 4,5; 5,6; 7,1; 9,0; 1

Masalan, «umumlashtirilgan» qator quyidagicha bo‘lishi mumkin:

Ikkala pog‘onasi ham silindrik uzatmadan tashkil topgan yuritma uchun jadvalda keltirilgan miqdorlarning 2,8 dan 6,3 gacha bo‘lganlarini «singdirib», «chizgich» hosil qilamiz:

2,8; 3,15; 3,55; 4,0; 4,5; 5,0; 5,6; 6,3;

Deylik, hisoblash natijasi sifatida yuritmaning umumiy uzatish nisbati, yuqoridaq misolda keltirilganidek,  $i_{um} = 19,36$  bo‘ldi. Bu miqdordan kvadrat ildizning qiymati:  $\sqrt{i_{um}} = \sqrt{19,34} = 4,398$  ga teng chiqdi. Shu miqdorni yuqorida tayyorlangan «chizgich» ga qo‘yamiz. «Chizgich» da uning egallagan o‘rni 4,5 ga yaqin nuqtani ko‘rsatadi. Agar shu nuqtani markaz sifatida qarab, ungacha va undan keyin bir xil masofada joylashgan raqamlar ko‘paytmasini olsak, natijalar bir – biriga yaqin va talab qilingan  $i_{um}$  ga deyarli teng chiqishini ko‘ramiz.

Loyihalanayotgan yuritma o‘lchamlarining optimal bo‘lishini ta‘minlash maqsadida  $i^s_1$  uchun 5,0 va  $i^s_2$  uchun 4,0 larni tanlaymiz. Birinchi pog‘ona yetakchi - tezyurar, ikkinchisi yetaklanuvchi-sekinyurar bo‘lgani uchun ham katta miqdor birinchisiga, kichik miqdor esa- ikkinchisiga berildi.

Bu miqdorlar [3,4] larda keltirilgan

$i^s_1 = 1,1 \sqrt{u_{red}}$  va  $i^s_2 = 0,89 \sqrt{u_{red}}$  kabi tavsiyalarga hechqanday zid kelmaydi.

Yuritmalarning pog‘onasi uchta bo‘lgan hollar uchun so‘nggi-yetaklanuvchi pog‘ona uchun qo‘llanishi talab qilingan uzatma uzatish nisbatining eng kichik miqdorini tayinlab olish va qolgan ikkita pog‘ona uzatish nisbatlarini yuqorida keltirilgan usul yordamida belgilash xechqanday qiyinchilik tug‘dirmaydi.

Agar uch pogonali yuritmaning songgi ikki pogonasi silindrik yoki konussimon-silindrik reduktorni tashkil qilsa, va shu reduktorning olchamlari optimal bolishi talab qilinsa, yuritmaning birinchi pogonasi uchun uzatish sonining katta qiymatini belgilash, reduktorni tashkil qiluvchi qolgan ikki pogona uzatish sonlarini esa yuqoridagidek, «chizg‘ich» usulida belgilash tavsiya qilinadi. Bu holat, ko‘pincha, birinchi pogonasi tasmali uzatmadan tashkil topgan yuritmalarida qo‘llanadi.

## **1.5. Yuritma vallarining ko‘rsatkichlari:**

### **Quvvatlar:**

$$P_1 = P_{\text{talab e.d.}}^{\text{tala}} = 5 \text{ kVt.}$$

$$P_2 = P_1 \eta_1 \eta_3^2 = 5 \cdot 0,97 \cdot 0,99^2 = 4,75 \text{ kVt}$$

$$P_3 = P_2 \eta_2 \eta_3^2 = 4,52 \text{ kVt}$$

### **Aylanishlar soni:**

$$\text{I Val. } n_1 = n_{\text{dv}} = 967 \text{ min}^{-1}$$

$$\text{II Val. } n_2 = \frac{n_1}{u} = \frac{967}{4,4} = 219,8 \text{ min}^{-1}$$

$$\text{III Val. } n_3 = \frac{n_2}{u} = \frac{219,8}{4,4} = 49,95 \text{ min}^{-1}$$

### **Burovchi momentlar:**

$$T_1 = 9550 \frac{P_1}{n_1} = 9550 \frac{5}{967} = 49,38 \text{ N}\cdot\text{m}$$

$$T_2 = T_1 \cdot \eta_1 \cdot \eta_3^2 = 49,38 \cdot 4,4 \cdot 0,97 \cdot 0,99^2 = 206,56 \text{ N}\cdot\text{m}$$

$$T_3 = T_2 \cdot \eta_2 \cdot \eta_3^2 = 36,94 \cdot 4,4 \cdot 0,97 \cdot 0,99^2 = 864,05 \text{ N}\cdot\text{m}$$

Berilgan sxemasiga asosan yuritmaning keltirilgan kinematik hisobining natijasi, ko‘rinib turganidek, yuritma barcha vallarining loyihibiy hisobini bajarish uchun yetarli va zarur bo‘lgan barcha ko‘rsatkichlarni aniqlashdan iborat. Bu ko‘rsatkichlar asosida yuritmaning istalgan uzatmasini hisoblash va loyihalashni bajarish mumkin.

Talabalardan yuritmani tashkil qiluvchi uzatmalarni hisoblash va loyihalashda vallar korsatkichlarini «aralashtirib» yuborishdan ehti-yot bo‘lishlari talab qilinadi.

## **1.6. Tishli uzatmalarni hisoblash**

Tishli uzatmalarning ishlash tarzi bir juft g‘ildirak tishlarining ilashishiga asoslangan bo‘lib, bunda g‘ildiraklardan kichik o‘lcha-mlisini shesternya, kattasini esa tishli g‘ildirak deyiladi. Bunday uzatmalarning eng ko‘p qo‘llanadiganlari evolventaviy tishlilaridir.

Mazkur qo'llanmada to'g'ri va qiya evolventa tishli uzatmalarining: silindrsimon tashqi ilashmali, konussimon va chervyaklilarining mustahkamligini hisoblash va loyihalash yo'llari ko'rsatilgan. Uzatmalar ishslashish sharoitiga va konstruktiv bajarilishiga ko'ra ochiq va yopiq turlarga bo'linadi.

Loyihaviy hisoblarni bajarishda quvvat, aylanish tezligi va uzatish soni bilan birgalikda uzatmaning ishslash sharoiti ham berilgan bo'lishi kerak. Bular: muhitning tavsifi, harorati, uzatmaning ishslash tarzi (reversivligi), ishga tushirilib turish intensivligi, ishslash muddati va shu kabilar. Bu maxsus sharoitlar material tanlash, ruxsat etilgan kuchlanishlar qiyamatini aniqlash va yuklanish koefitsientining miqdorini belgilashda e'tiborga olinadi.

## **1.7. Tishli g'ildiraklar materialini tanlash. Ruxsat etilgan kuchlanishlarni aniqlash**

Tishli g'ildiraklar tayyorlash uchun asosiy material sifatida po'latlardan foydalaniladi. Katta o'lchamdagи sekin harakatlanuvchi va ochiq uzatmalar g'ildiraklari uchun cho'yandan ham foydalaniladi. Tishlarining qattiqligi bo'yicha po'lat g'ildiraklarni ikki guruhga bo'ladilar:

1. Qattiqligi HB  $\geq 350$  yaxshilangan va normallashtirilgan po'latlar;
2. Qattiqligi HB  $< 350$  - toblangan po'latlar.

Birinchi guruh po'latlardan tayyorlanadigan g'ildiraklar tishlari termik ishlov berilgandan keyin qirqib tayyorlanadi, shuning uchun yuqori aniqlikka erishish uchun qimmat ishlov jarayonlar qo'llash talab qilinmaydi. Bu holat ularning kam seriyali va individual hamda kam va o'rta yuklanishli sharoitlar uchun yetarlicha keng qo'llanishini taqozo etadi.

Tishlarning bir-biriga ilashib moslashishi uchun shesternya tishlari qattiqligini g'ildiraknikidan  $20 \div 50$  HB birlikka ko'prok olish tavsiya qilinadi.

Birinchi guruhga mansub material sifatida tishli "ildiraklar uchun uglerodli St 40, 45, 50 va legirlangan 50Г, 40Х, 45Х, 40ХН, 30ХМА, 30ХН3 po'latlardan foydalaniladi. Qattiqligi HB < 350

bo‘lgan po‘latlarning tishli g‘ildirak va shesternya uchun qandaylarini tanlash ma‘qulligi to‘g‘risida [3,4] adabiyot tavsiyalaridan foydalanish mumkin.

Shesterna va g‘ildirak uchun bir xil material tanlash va ularning xar biri uchun xar xil termik ishlov berish, masalan, shesternya uchun yaxshilash, g‘ildirak uchun normallashtirish, g‘ildiraklar o‘lchamlarining farqi katta bo‘lmagan hollarda bir xil termoishlov berish ham mumkin. Bunday holda shesternyaning mexanikaviy xarakteristikasi yuqorirok bo‘lishi ta‘minlanishi kerak.

Qo‘llangan xomashyosi bo‘yicha g‘ildiraklar quyma, bolg‘alan-gan, shtamplangan va dumaloq jo‘valangan po‘latdan tayyorlangan bo‘ladi.

Ochiq uzatmalar tishli g‘ildiraklarini tayyorlashda ko‘ng‘ir cho‘yan SCh 21-40, SCh 23-44 va modifikatsiyalangan cho‘yan SCh 28-48, SCh 32-52 hamda SCh 35-56 [4] lardan foydalaniladi. Cho‘yan kam moylangan sharoitda toliqib uvalanishga chidamli, eguvchi kuchlanishlarga chidamsiz, tannarxi arzon, quymakorlik xususiyati yaxshi, ishlov berish osonligi bilan ajralib turadi. Modifi-katsiyalangan cho‘yanning yangicha tarkibdagilari quyma po‘lat-larga ham raqobatbardosh bo‘lgani uchun yopiq uzatmalarda ham qo‘llanila boshlandi.

Eguvchi kuchlanishlar bo‘yicha ruxsat etilgan kuchlanishlarni ochiq va yopiq uzatmalarning tekshiruv va loyihibiy hisoblarini ba-jarish uchun tanlash, yuklanish sharoitini e‘tiborga olgan holda quyidagicha bo‘ladi.

Ma‘lumki, materialning qattiqligiga mos ravishda uzatmaning o‘lchamlari ham o‘zgaradi: Material qancha qattiq bo‘lsa o‘lchamlar shuncha ixcham yoki kichik bo‘ladi. Material to‘g‘risidagi ma‘lu-motlarni quyidagi 1-jadval dan olinadi.

1-jadval

**Tishli g'ildiraklar tayyorlash uchun ishlataladigan  
po'latlarning mexanikaviy xossalari**

Po'lat rusumi (markasi)	Xomashyo diametri, mm	Mustaxkamlik chegarasi, $\sigma_v$ , MPa	Oquvchanlik chegarasi $\sigma_{ok}$ , MPa	O'rtacha qattiqligi HB	Termik ishlov turi	
45	100-500	570	290	190	normallash	
45	< 90	780	440	230	yaxshilash	
	90-120	730	390	210		
		690	340	200		
30ХГС	<140	1020	840	860	yaxshilash	
	>140	930	740	250		
40Х	<120	930	690	270		
	120-160	880	590	260		
	>160	830	540	245		
40ХН	<150	930	690	280		
	150-180	880	590	265		
	>180	835	540	250		
40L	-	520	290	160	normallash	
45L	-	540	310	180		
35ГЛ	-	590	340	190	yaxshilash	
35ХГCL	-	790	590	220		
Po'lat rusumi			Qattiqligi HRC	Termik ishlov turi		
30ХГС, 35ХМ, 40Х, 40ХН 12ХН3А, 18Х2Н4МА, 20ХМ 20ХГМ, 25ХГТ, 30ХГТ, 35Х 30Х2МЮА, 38Х2Ю, 40Х 40Х, 40ХН, 35ХМ			45-55 50-63 56-63 56-63 45-63	Toblash sementatsiyalash, tobash ni- trotsementatsiyalash azotlash yu.ch.t. bilan qizdirib sirtni toblast		

O'quv maqsadlarida quyidagi soddalashtirilgan munosabatdan foydalilanildi:

$$[\sigma_F] = \frac{\sigma_{F_{limb}}^0}{[S_F]} \quad (1.2)$$

Extiyotkorlik koeffitsiyentini quyidagi ikkita koeffitsiyentlar ko'paytmasi kabi aniqlanadi:

$$[S_F] = [S_F] ' [S_F]''$$

bulardan birinchisi  $[S_F]'$ - tishli g'ildiraklar materiali xossalarining doim bir xil bo'lmasligini, uning o'zgarmaslik ehtimolligi 99% gacha ekanini e'tiborga oladi. Bu koeffitsiyent tishli uzatmaning ishonchilik darajasini ham e'tiborga oladi.

Ikkinchi koeffitsiyent esa g'ildirak xomashyosining tayyorlanish usulini aks ettirib, qoliplash va shtamplash uchun  $[S_F]'' = 1,0$ ; jo'valash uchun  $[S_F]'' = 1,15$ , quymakorlik yordamida tayyorlangan xomashyo uchun  $[S_F]'' = 1,3$  bo'ladi.

Tishlarining ikkala tomoni ham ishlaydigan reverslanuvchi uzatmalar uchun ruxsat etilgan kuchlanishlar miqdorini 25% kamaytirib olish kerak.

$\sigma_{F \limb}^0$  - tishlarning eguvchi kuchlanishlar bo'yicha sinishgacha chidamlilik chegarasi bo'lib, normallash va yaxshilash termik ishlovdan o'tkazilgan po'latlar uchun  $\sigma_{F \limb}^0 = 1,8$  HB, MPa, olinadi.

Xuddi shu holda toblangan po'latlar uchun ehtiyyotkorlik koefitsiyenti  $[S_F]' = 1,75$  bo'ladi [4]. Egilishga hisoblashda ishga yaroqlilik muddati koeffitsiyenti  $K_{Fl}$  ni ham e'tiborga olish kerak. Bu koeffitsiyent bazaviy va ekvivalent sikllar sonlarining nisbatini aks ettirib, barcha po'latlar uchun

$$K_{Fl} = \sqrt[4]{4 \cdot 10^6 / N_{FE}} \quad \text{tarzida olinadi}$$

$$K_{Fl} = 1 \div 2 \text{ bo'lishi mumkin.}$$

Bunda  $N_{FE} = 60 \cdot L_h \cdot n \cdot c$  - to'liq ishlash muddati davomida xar bir tishning yuklanish sikllari soni.

$L_h$  - soatlarda o'lchangan hisobiy ishlash muddati

$n$  - tishli g'ildirakning aylanishlari soni, ayl/min.

$c$  - mazkur g'ildirak bilan ilashishda bo'lgan boshqa g'ildiraklar soni.

$L_h = L \cdot 365 \cdot K_{yil} \cdot 24 \cdot K_{sut}$ , soatlarda o'lchangan hisobiy ishlash muddati

$L$  - yillarda berilgan ishlash muddati;

$K_{yil}$  va  $K_{sut}$  uzatmadan yil va sutka davomida foydalanish koefitsiyentlari.

**Kontakt kuchlanishlar bo‘yicha** loyihamiy hisoblar uchun ruxsat etilgan kuchlanishlar

$$[\sigma_H] = K_{HL} \cdot \sigma_{lim_B} / S_h$$

munosabat yordamida aniqlanadi,  $S_H$  – ehtiyyotkorlik koefitsiyenti bo‘lib, normallash, yaxshilash va xajmiy toplash uchun  $S_H = 1,1$  olinadi.  $K_{NL}$  – kontakt mustahkamligini hisoblashdagi ishga yaroqlilik muddati (umrboqiylik-dolgovechnost) koefitsiyenti.

$$K_{HL} = \sqrt[6]{4 \cdot 10^7 / N_{HE}} ; K_{HL} = 1 \div 2,4$$

Hisoblashda  $K_{HL} < 1$  bo‘lsa  $K_{HL} = 1$  olinadi.  $N_{HE}$  ning qiymati esa  $N_{FE}$  kabi aniqlanadi.

$\sigma_{Hlim} = 2HB + 70$ , MPa tarzida normallash va yaxshilash termik ishlovli g‘ildirak tishlari uchun hisobi yuxsat etilgan kuchlanish sifatida, ikkala g‘ildirakdan qaysi biri uchun  $[\sigma_H]$  kichikroq bo‘lsa, o‘shanisi olinadi.

Qiya tishli g‘ildiraklar uchun ruxsat etilgan kontakt kuchlanish miqdorini

$[\sigma_H] = 0,45 ([\sigma_{H1}] + [\sigma_{H2}])$  tarzida olinadi

bunda  $[\sigma_H] < 1,23 [\sigma_H]_{min}$  shart bajarilishi kerak.

$[\sigma_H]_{min}$  – ikkala g‘ildiraklardan ruxsat etilgan kuchlanish qiymatining kamroq‘i.

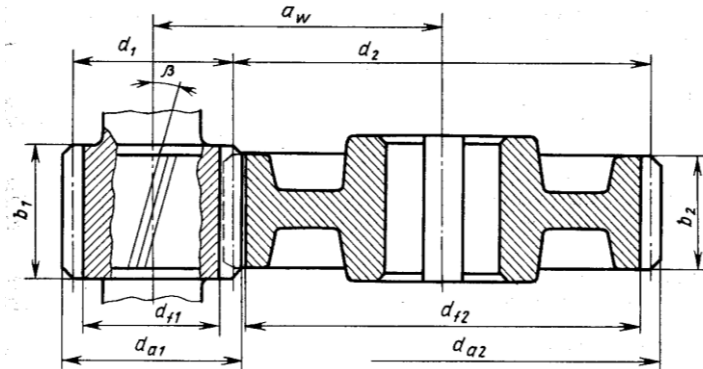
## 2. Ochiq tishli uzatmalarni hisoblash

Ochiq tishli uzatmalarning asosiy ishga layoqatlilik mezoni sifatida tishlarning egilish bo‘yicha toliqishi hisoblanadi. Bunga asosiy sabab sifatida bunday uzatmalarning kichik aylanma tezliklarda, katta xajmdagi changda va yomon moylanib ishlashini ko‘rsatish mumkin. Uzatmaning eguvchi kuchlanishlarga chidamliligi tishlarning modulli va g‘ildirakning eni bilan belgilanadi.

Ochiq uzatmaning loyihamiy hisobini bajarishga kirishishdan avval uzatmaning yuritmadagi joylashgan o‘rnini va unga ta‘sir etuvchi kuch faktorlari (quvvat yoki burovchi moment, aylanishlari

soni yoki burchak tezligi, uzatmaning uzatish soni)ning qiymatlarini aniq va to‘g‘ri belgilab olish kerak. Ko‘pincha hisoblashda bunday ko‘rsatkichlar qo‘shti uzatma (odatda reduktorga ta‘sir etuvchi) niki bo‘lib chiqadi. Shuning uchun barcha ko‘rsatkichlarning indekslariga ahamiyat berish va ular topshiriq sxemasidagilarga mos bo‘lishini yoddan chiqarmaslik talab qilinadi.

## 2.1. Ochiq silindrik tishli uzatmaning hisobi



2-rasm. Silindrik g‘ildirakli uzatma.

1. Yuqorida keltirilgan tavsiyalar asosida g‘ildiraklarni tayyorlash uchun material tanlanadi. [4]. Adabiyotdagi jadvallardan tanlangan materialning mexanikaviy xossalari yozib olinadi ( $\sigma_e$ ,  $\sigma_t$ , HB). Odatda g‘ildirak xomashyosining diametri  $300 \div 500$  mm lar oraliq‘ida olinadi.

2. Avval keltirilgan tavsiyalar asosida ruxsat etilgan eguvchi kuchlanish qiymatlari aniqlanadi.

3. Shesternyaning tishlari minimal qiymatga yaqin qilib tanlanadi. Tuzatish kiritilgan to‘g‘ri tishli g‘ildiraklar uchun  $z_1 \geq 21$ , qiya tishlilari uchun  $z_1 \geq 19$ , shularning eng kam qiymatlari  $z_{1\min} = 17$  va  $z_{1\min} = 15$  qilib olinishi mumkin [4].

4. G‘ildirak tishlari soni aniqlanadi

$$z_2 = u \cdot z_1,$$

$u$  – uzatmaning kinematik hisobidan olingan uzatish soni.

5.  $z_1$  va  $z_2$  lar uchun tish shakllarining koeffitsiyentlari  $Y_{F1}$  va  $Y_{F2}$  lar 2 jadvaldan tanlanadi.

2-jadval

### Tish shakli koeffitsiyenti $Y_F$ qiymatlari

$z, z_v$	20	25	30	40	50	60	70	80	$\geq 100$
$Y_F$	4,09	3,9	3,8	3,7	3,66	3,62	3,61	3,61	3,6

Qiya tishli g‘ildiraklar uchun  $Y_F$  ning qiymati ekvivalent tishlar soniga mos qilib tanlanadi:  $z_v = z_{\text{екв}} = \frac{z}{\cos^3 \beta}$   
qiyalik burchagi qiymatlari  $\beta = 8 \div 15^\circ$ , shevron tishli g‘ildiraklar uchun  $\beta = 20^\circ \div 45^\circ$  olinadi.

6. Uzatma tishli g‘ildiraklarining mustahkamligi kamrog‘i  $[\sigma_F]_1$ / $Y_{F1}$  va  $[\sigma_F]_2/Y_{F2}$  nisbatlarni taqqoslab aniqlanadi. Keyingi hisoblashlar keltirilgan nisbatning kichikroq qiymatiga ega bo‘lgan g‘ildirak bo‘yicha olib boriladi.

7. Shesternya enining diametriga nisbati  $\psi_{bd} = \sigma/d_1$ , belgilanadi. G‘ildiraklar tayanchlarga nisbatan simmetrik joylashganda  $\psi_{bd} = 0,8 \div 1,4$  (ko‘pincha  $\psi_{bd} = 1,0$ ), nosimmetrik joylashganda  $\psi_{bd} = 0,6 \div 1,2$  (odatda  $\psi_{bd} = 0,9$ ) va konsolda joylashganda  $\psi_{bd} = 0,3 \div 0,4$  olinadi [4].

8. Eguvchi kuchlanishlar bo‘yicha hisoblash uchun hisobiy yuklanish koeffitsiyenti  $K = K_{F\beta} \cdot K_{F0}$  tarzida aniqlanadi.  $HB < 350$  ga teng bo‘lgan noravon (o‘zgaruvchan) yuklamali sharoitda ishlaydigan tishli gardish eniga ta‘sir etuvchi yuklamaning barqaror-maslik koeffitsiyenti  $K_{F\beta} = 1,3$ , konsol joylashgani uchun  $K_{F\beta} = 1,0$  olinadi. O‘zgarmas qiymatga teng bo‘lgan yuklanish sharoiti uchun [4] dan qarash kerak.

9. Eguvchi kuchlanishlar bo‘yicha mustahkamlikni ta‘minlovchi modul qiymati,

$$m_n = K_m \sqrt[3]{T_1 K_{F\beta} \cdot Y_F / (z_1^2 \cdot \psi_{ed} \cdot [\sigma_F])}, \text{mm}$$

bunda yuklanishning dinamikaviy ta‘sirini e‘tiborga olgan holda, dinamikaviylik koeffitsiyenti:

- to‘g‘ri tishli uzatmalar uchun  $K_m = 1,4$ ;

- qiya tishli uzatmalar uchun  $K_m = 1,12$ .

Hisoblangan modul qiymati ГOCT 9563 – 60 ning quyidagi qatoridan yaqinroq katta songa yaxlitlanadi.

1; 1,25; 1,5; 1,75; 2; 2,25; 4; 2,5; 3; 3,5; 4; 4,5; 5,5; 6; 6,5; 7; 8; 9; 10; 12; 16.....

10. Tishli gardish eni aniqlanadi.

- g'ildirak gardishining eni  $b_2 = b_w = \psi_{bd} \cdot z_I \cdot m_n$ ;

- shesternya gardishining eni  $b_I = b_2 + 5$  mm

11. Tishli g'ildiraklarning geometrik o'lchamlari:

a) bo'lish aylanalarining diametri:

$$d_1 = m_n \cdot z_1 / \cos \beta; \quad d_2 = m_n \cdot z_2 / \cos \beta$$

(to'g'ri tishli g'ildiraklar uchun  $\cos \beta = \cos 0^\circ = 1$ )

b) tashqi aylanalar diametri:

$$d_{a1} = d_1 + 2 m_n; \quad d_{a2} = d_2 + 2 m_n$$

d) Tish tubi aylanalari diametri:

$$d_{f1} = d_1 - 2,5 m_n; \quad d_{f2} = d_2 - 2,5 m_n$$

12. Tuzatish kiritilmagan tashqi ilashmali uzatmalar uchun markazlararo masoфа

$$a_w = 0,5 (d_{w1} + d_{w2}) = 0,5(d_1 + d_2), \text{mm};$$

(ichki ilashmalilari uchun

$$a_w = 0,5 (d_{w2} - d_{w1}) = 0,5(d_2 - d_1), \text{mm};$$

Qiya tishli g'ildirakli uzatmalar uchun  $a_w$  ni aniqlashda  $d_1/\cos\beta$ ,  $d_2/\cos\beta$  lardan foydalanish kerak.

13. Uzatmada ta'sir etuvchi kuchlar

a) aylanma kuch  $F_t = 2T_1 / d_1, \text{N}$ ;

b) radial kuch  $F_r = F_t \operatorname{tga} / \cos \beta, \text{N}$ ;

d) normal kuch  $F_n = F_t / \cos a \cdot \cos \beta, \text{N}$ ;

e) bo'ylama kuch  $F_a = F_t \operatorname{tg} \beta, \text{N}$ ;

14. Tekshirish hisobi bajariladi:

$$\sigma_F = Y_F \cdot Y_\varepsilon \cdot Y_\beta \cdot \frac{W_{Ft}}{m_n} \leq [\sigma_F]$$

bunda  $[\sigma_F]$  va  $y_F$  lar mustahkamligi kamroq g'ildirakka tegishlisi olinadi.

$Y_\varepsilon = 1/(K_\varepsilon \cdot \varepsilon_a)$  – kontakt chizig'i umumiy uzunligini e'tiborga oluvchi koefitsiyent:  $K_\varepsilon = 0,75$ ,

$\varepsilon_a$  – tish qoplanish koeffitsiyenti

$$\varepsilon_a = \left[ 1,88 - 3,2 \left( \frac{1}{z_1} \pm \frac{1}{z_2} \right) \right] \cdot \cos \beta$$

$Y_\beta = \cos \beta$  - tishlarning qiyaligini e'tiborga oluvchi koeffitsiyent.

$$W_{Ft} = \frac{F_t \cdot K_{F\alpha} \cdot K_{F\beta} \cdot K_{F\nu}}{\sigma_w} \quad - \text{ keltirilgan hisobiy aylanma}$$

kuch.

bunda  $K_{F\nu}$  koeffitsiyentini quyidagi 3-jadvaldan olinadi:

3-jadval

### **Yuklanishlarning dinamikaviylik koeffitsiyenti $K_{F\nu}$**

Aniqlik darajasi	Tishlar ishchi sirti qattiqligi HB	Aylanma tezlik $v$ , m/s		
		3	3÷8	8÷12,5
6	$\leq 350$	1/1	1,2/1	1,3/1,1
	$> 350$	1/1	1,15/1	1,25/1
7	$\leq 350$	1,15/1	1,35/1	1,45/1,2
	$> 350$	1,15/1	1,25/1	1,35/1,1
8	$\leq 350$	1,25/1	1,45/1,3	-/1,4
	$> 350$	1,2/1,1	1,35/1,2	-/1,3

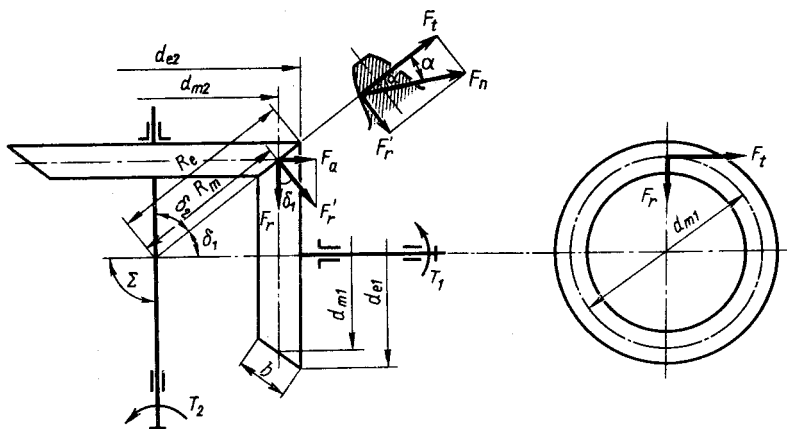
Izoh: Suratdagi qiymatlar to‘g‘ri tishli uzatmalar uchun, maxrajdagilari qiya tishlilari uchun

Hisoblash natijasi quyidagi shartni qoniqtirishi kerak:

$$\Delta \sigma \% = \frac{[\sigma_F] - \sigma_F}{[\sigma_F]} \cdot 100 \% \leq \pm 15 \%$$

Agar natija manfiy ishorali bo'lsa uzatma o'shancha miqdorga zo'riqib, musbat bo'lsa – zo'riqmasdan ishlashini bildiradi.

## 2.2. Ochiq konussimon g'ildirakli tishli uzatma



3-rasm. Konussimon tishli g'ildirakli uzatma.

Ochiq konussimon g'ildirakli tishli uzatmalar odatda faqat to'g'ri tishli bo'ladi. Ularning hisobi silindrik uzatmalar hisobidan unchalik farq qilmaydi.

Hisoblashning bandlari 14-bet xuddi silindrik uzatmalardagidek bajariladi.

5. Tish shaklining koeffitsiyentlari  $Y_{F1}$  va  $Y_{F2}$  lar jadval 2 dan ekvivalent tishlar soni  $z_{v1} = z_1 / \cos \delta_1$  va  $z_{v2} = z_2 / \cos \delta_2$  larga moslab tanlanadi.

Boshlang'ich (bo'lish) konuslik burchaklari

$$\delta_2 = \operatorname{arctg} u ; \quad \delta_1 = 90^\circ - \delta_2 ;$$

6. G'ildiraklardan mustahkamligi kamroq bo'lgani aniqlanadi (aynan silindrik g'ildirakli uzatmalardagidek).

7. Shesternya enining o'rta diametriga nisbati koeffitsiyenti

$\psi_{\text{sd}} = \sigma/d_{\text{m1}} \approx 0,3 \div 0,6$ , ( $\text{HB} \leq 350$  bo'lsa  $\psi_{\text{sd}} = \sigma/d_{\text{m1}} \approx 0,5 \div 0,6$ )  
kabi aniqlanadi, bunda  $\psi_{\text{sd}} = b/R_e \leq 0,3$  va  $\sigma \leq 10 m_{\text{te}}$  shartlar bajarilgan bo'lishi kerak.

8. Eguvchi kuchlanishlar bo'yicha gardish enining yuklanish noravonligi koeffitsiyenti  $K_{F\beta}$  ham aynan silindrik uzatmalardagidek aniqlanadi.

9. Eguvchi kuchlanishlar bo'yicha mustahkamlikni ta'minlovchi hisobiy o'rtacha modul qiymati aniqlanadi.

$$m_{\text{tm}} = K_m \sqrt[3]{\frac{T_1 \cdot K_{F\beta} \cdot Y_F}{0,85 \cdot z_1^2 \cdot \Psi_{\text{sd}} \cdot [\sigma_F]}}, \text{ mm}$$

bunda dinamikaviy yuklanish koeffitsiyenti  $K_{F\beta}$  ning o'rtacha qiymatini e'tiborga olgan holda dinamikaviylik koeffitsiyenti  $K_m = 1,5$  olinadi.

10. Uzatmaning tishli g'ildiraklari o'qlari o'zaro  $\delta_1 + \delta_2 = 90^\circ$  bo'lgan holdagi o'lchamlari:

- a) tishli gardish eni  $b = \psi_{\text{sd}} \cdot m_{\text{tm}} \cdot z_1$ ;
- b) tashqi aylana bo'yicha o'lchanigan modul  $m_{\text{te}} = m_{\text{tm}} + b \cdot \sin \delta_1/z_1$ ;

bu modul qiymatini ГОСТ 9563 – 60 bo'yicha yaxlitlab

$b \leq 10 m_{\text{te}}$  bo'lishi tekshiriladi.

d) tanlangan standart modulni e'tiborga olgan holda tashqi konuslik masofasi  $Re = m_{\text{te}} \cdot z_1 / 2 \sin \delta_1$ ;

e) o'rtacha konuslik masofasi  $Rm = Re - 0,5b$ ;

f) o'rtacha modulning xaqiqiy qiymati;  $m_{\text{tm}} = m_{\text{te}} \cdot Rm / Re$ ;

g) o'rtacha bo'luvchi aylanalar diametrlari;

$$d_{m1} = m_{\text{tm}} \cdot z_1; \quad d_{m2} = m_{\text{tm}} \cdot z_2;$$

h) tashqi bo'luvchi aylanalar diametrlari

$$d_{te1} = m_{\text{te}} \cdot z_1; \quad d_{te2} = m_{\text{te}} \cdot z_2 \text{ aniqlanadi.}$$

11. To‘g‘ri tishli konussimon g‘ildirakli uzatmada ta‘sir etuvchi kuchlar:

- a) Aylanma kuch  $F_t = 2T_1/d_{m1}$ ;
- b) Shesternyaga ta‘sir etuvchi radial kuch  $F_{r1} = F_t \cdot \operatorname{tga} \cdot \cos \delta_1$ ;
- d) Shesternyaga ta‘sir etuvchi bo‘ylama kuch  $F_{a1} = F_t \cdot \operatorname{tga} \cdot \sin \delta_1$ ;
- e) Normal kuch  $F_n = F_t / \operatorname{cosa}$ ;

Shesternyaga ta‘sir etuvchi radial kuch g‘ildirakdagi bo‘ylama kuchga  $F_{a2} = F_{r1}$ , shuningdek, shesternyadagi bo‘ylama kuch g‘ildirakdagi radial kuchga teng bo‘ladi:  $F_{r2} = F_{a1}$ ;

12. O‘rtacha aylanma tezlik

$$\nu_m = \frac{\pi d_{m1} \cdot n_1}{60 \cdot 1000}, m/s$$

Uning qiymati bo‘yicha  $K_{F0}$  jadval 3 dan aniqlanadi.

13. Mustaxkamlikni tekshirish hisobi silindrik tishli uzatmalardagi bajariladi:

$$\sigma_F = \gamma_F \frac{W_{Fr}}{0,85 \cdot m_{tm}} \leq [\sigma_F];$$

bunda  $Y_F$  va  $[\sigma_F]$  lar kamroq mustahkamlikka ega bo‘lgan g‘ildirakka tegishli bo‘lishi lozim.

### **3. Yopiq tishli uzatma (reduktor)larni hisoblash**

Tashqi muxitdan alohida korpuslar bilan himoyalangan yoki mashinalarning ichki qismlarida joylashgan uzatmalar yopiq uzatmalar deyiladi. Bunday uzatmalar chang, loy va boshqa shu kabi abraziv zarrachalari bo‘lgan moddalardan yaxshi himoyalangan. Ular odatda toza va yaxshi moylangan sharoitda ishlaydi.

Alohida korpusga joylashtirilib, tishli yoki chervyakli uzatmalaridan tuzilgan va harakat manbaidan ish bajaruvchi organiga (yetakchi valning katta aylanishlari sonini kamaytirib, kichik miqdordagi burovchi momentini kattalashtirib) uzatish uchun mo‘ljallangan mexanizmlarni reduktorlar deb nomlanadi.

Mazkur qo‘llanmada bir va ikki pog‘onali tuzatishsiz va profil burchagi  $\alpha = 20^\circ$  qilib tayyorlangan tishli va chervyakli uzatmalaridan tashkil topgan reduktorlarning hisobi berilgan. Misollar

bo‘limida, yuqorida ketirilgan reduktorlar hisobi bilan bir qatorda, ikki pog‘onali silindrik reduktordan tashkil topgan yuritmaning loyihaviy hisobi ham to‘la holda keltirilgan.

Yopiq tishli uzatmalarining asosiy ishga layoqatlilik mezoni sifatida tishlarining ishchi sirtlariga ta‘sir etuvchi o‘zgaruvchan kontakt kuchlanishlar  $\sigma_H$  va tishlar tubida yuzaga keluvchi eguvchi kuchlanishlar  $\sigma_F$  hisoblanadi. Bunday uzatmalarining loyihaviy hisoblari  $\sigma_H$  bo‘yicha, tekshirish hisoblari esa  $\sigma_F$  bo‘yicha olib boriladi.

Geometrik o‘lchamlar nuqtai – nazardan qaralganda kontakt kuchlanishlar bo‘yicha mustahkamlikni ta‘minlovchi uzatmaning markazlararo masofasi  $a_w$  va g‘ildiraklarning tishli gardishlarining eni  $b_w$  larni aniqlanadi.

Hisoblash yuritmaning kinematik hisobida olingan natijalar asosida olib boriladi. Bunda ham ta‘sir etuvchi ko‘rsatkichlarni aynan hisoblanishi mo‘ljallanayotgan reduktorga taalluqli ekaniga alohida e‘tibor berish talab qilinadi.

### **3.1. Silindrik tishli g‘ildirakli uzatma**

1. Shesternya va g‘ildirak materiallarini tanlash ochiq uzatmalar uchun tanlash kabi bajariladi.

2. Ruxsat etilgan kontakt  $[\sigma_H]_1$ ,  $[\sigma_H]_2$  va eguvchi  $[\sigma_F]_1$ ,  $[\sigma_F]_2$  kuchlanishlarni tanlash yuqorida keltirilgandek bajariladi

3. Shesternyadagi burovchi moment

$$T_1 = 10^3 \cdot P_1 / \omega_{11}, \text{Hm}$$

bunda  $P_1$  – shesternya validagi quvvat, kVt

$$\omega_1 = \frac{\pi n_1}{30} \text{ - shesternyaning burchak tezligi, sek}^{-1};$$

$$T_1 = P_1 \cdot 1000 \frac{30}{\pi n_1} = \frac{30000}{3,14} \cdot \frac{P_1}{n_1} = 9550 \frac{P_1}{n_1};$$

$n_1$  - shesternyaning aylanishlari soni, ayl/ min, yoki min<sup>-1</sup>;

4. Shesternya bo‘lish (boshlangich) aylanasi diametri

$$d_1 = K_d \sqrt[3]{\frac{T_1 \cdot K_{H\beta} (u \pm 1)}{u \psi_{ed} [\sigma_H]^2}}, \text{mm}$$

po'latdan tayyorlangan to'g'ri tishli g'ildiraklar uchun kuchlanish-larning dinamikaviy koefitsiyenti  $K_d=780 \text{ MPa}^{1/3}$ , qiya tishli po'lat g'ildiraklar uchun  $K_d=680 \text{ MPa}^{1/3}$ ; g'ildirak eni yoki tish uzunligining diametrga nisbatli koefitsiyenti  $\psi_{bd}$  va  $K_{H\beta}$  lar eguvchi kuchlanishlar uchun hisoblanganidek aniqlanadi.

5. Tishlarining uzunligi yoki tishli g'ildiraklar gardishining ish-chi eni  $\sigma_W = \Psi_{ed} \cdot d_1$

6. Ilashish moduli  $m_n = b_w / \psi_m$ ; Odatda reduktor tarzida ishlaydigan uzatmalarda  $\text{HB} \leq 350$  holatlari uchun  $\psi_m = 30 \div 25$ ; Aniqlangan modulning standart qiymati ГОСТ 9563-60 dan olinadi.

7. Shesternya va g'ildirak tishlari soni

$$z_1 = d_1 \cos\beta / m_n \geq 17, \quad z_2 = u \cdot z_1$$

to'g'ri tishli g'ildiraklar uchun  $\cos\beta = 1$ , qiya tishli g'ildiraklar uchun

$$\beta = 8^0 \div 15^0 \text{ bo'lib, o'rtacha } \beta = 10^0 \text{ olinadi.}$$

Tishlar soni  $z_1$  va  $z_2$  larni yaxlitlashda uzatish soni  $u = z_2 / z_1$  ning qiymati tanlanganidan  $\Delta n \leq \pm 3 \%$  oralig'ida bo'lishini ta'minlash kerak.

8. Markazlararo masoфа

$$a_w = 0,5 (z_1 + z_2) m_n / \cos\beta$$

Qiya tishli uzatmada  $a_w$  ning butun son bo'lishi uchun qiyalik burchagini o'zgartirgan ma'qul

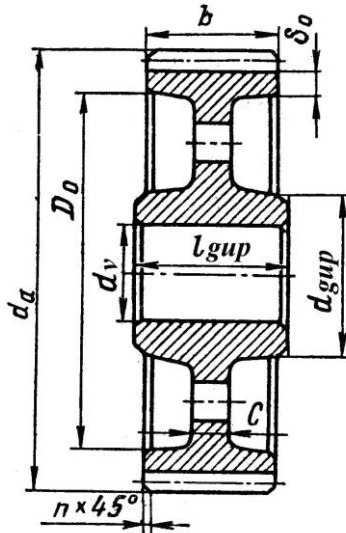
$$\cos\beta = \frac{m_n(z_1 + z_2)}{2a_w}$$

9. Yangi  $\beta$  burchak qiymatiga mos bo'lgan g'ildiraklar diametrleri qayta aniqlanadi (2-rasm):

$$d_1 = m_n z_1 / \cos\beta; \quad d_2 = m_n z_2 / \cos\beta;$$

$$d_{a1} = d_1 + 2m_n; \quad d_{a2} = d_2 + 2m_n;$$

$$d_{f1} = d_1 - 2,5 m_n; \quad d_{f2} = d_2 - 2,5 m_n.$$



4-rasm. Silindrik tishli g‘ildirak.

10. Uzatmadagi kuchlarni aniqlash xuddi ochiq uzatmalardagi bo‘ladi.[4]. Hisobiy kontakt kuchlanishlarni tekshirish

$$\sigma_H = z_H \cdot z_M \cdot z_\varepsilon \sqrt{\frac{W_{Ht}(u \pm 1)}{d_1 \cdot u}} \leq [\sigma_H]$$

bunda  $Z_H = 1,77 \cos \beta$  - ilashish geometriyasini e‘tiborga oluvchi koeffitsiyent;  $Z_M = 275 \text{ MPa}^{1/2}$  - po‘lat g‘ildiraklar uchun materialning mexanikaviy xossasini e‘tiborga oluvchi koeffitsiyent.

$Z_\varepsilon = \sqrt{\frac{1}{K_\varepsilon \cdot \varepsilon_a}}$  - qiya tishli,  $Z_\varepsilon = 1$  – to‘g‘ri tishli g‘ildiraklar uchun kontakt chizigi umumiy uzunligini e‘tiborga oluvchi koefitsiyent ( $K_\varepsilon = 0,95$ ;  $\varepsilon_a$  - ochiq uzatma hisobiga qarang).

$W_{Ht} = \frac{F_t}{b} \cdot K_{Ha} \cdot K_{H\beta} \cdot K_{H\nu}$  – keltirilgan hisobiy aylanma kuch, N/mm;

$$F_t = \frac{2T}{d_1}, \quad F_t - \text{uzatmadagi aylanma kuch};$$

$b$  – tish uzunligi yoki g‘ildirak eni;

uzatmaning ish sharoitini e‘tiborga oluvchi  $K_{Ha}$ ,  $K_{H\beta}$ , va  $K_{Hu}$  koeffitsiyentlarni har qanday holatlar uchun quyidagi 4,5 va 6-jadvallardan olinadi:

4-jadval

#### Qiya va shevron tishli uzatmalar uchun $K_{Ha}$ ning qiymatlari

Aniqlik darajasi	Aylanma tezlik $v$ , m/s				
	1 gacha	5	10	15	20
6	1	1,02	1,03	1,04	1,05
7	1,02	1,05	1,07	1,10	1,12
8	1,06	1,09	1,13	-	-
9	1,1	1,16	-	-	-

Izoh: to‘g‘ri tishli g‘ildiraklar uchun  $K_{Fa} = 1$

5-jadval

#### $K_{H\beta}$ koeffitsiyenti qiymatlari

$\psi_{ed} = \frac{\nu}{d_1}$	Tish sirtining qattiqligi					
	HB ≤ 350			HB > 350		
	1	2	3	1	2	3
0,4	1,15	1,04	1,0	1,33	1,08	1,02
0,6	1,24	1,06	1,02	1,50	1,14	1,04
0,8	1,30	1,08	1,03	-	1,21	1,06
1,0	-	1,11	1,04	-	1,29	1,09
1,2	-	1,15	1,05	-	1,36	1,12
1,4	-	1,18	1,07	-	-	1,16
1,6	-	1,22	1,09	-	-	1,2
1,8	-	1,25	1,11	-	-	-
2,0	-	1,30	1,14	-	-	-

Izoh: 1-ustunda keltirilgan miqdorlar g‘ildiraklari konsol joylashgan uzatmalar uchun: 2-da g‘ildiraklari tayanchlarga nisbatan nosimmetrik, 3-da g‘ildiraklari tayanchlarga nisbatan simmetrik joylashgan uzatmalar uchun

6-jadval

### **K<sub>Hv</sub> koeffitsiyenti qiymatlari**

Uzatmalar	Tishlar sirti qattiqligi HB	Aylanma tezlik v, m/s			
		5 gacha	10	15	20
		Aniqlik darajasi			
		8		7	
To‘g‘ri tishli	≤350	1,05	-	-	-
	<350	1,10	-	-	-
Qiya va shevron tishli	≤ 350	1,0	1,01	1,02	1,05
	<350	1,0	1,05	1,07	1,10

Eslatma: K<sub>Ha</sub>-yuklanishning tishlararo taqsimlanish koeffitsiyenti; K<sub>Hβ</sub> - yuklanishning notekis taqsimlanish koeffitsiyenti; K<sub>Hv</sub> - yuklanishning dinamikaviy (vaqt davomida o‘zgarib) ta‘sir etish koeffitsiyenti

$$\text{agar} \quad \Delta\sigma = \frac{[\sigma_H] - \sigma_H}{[\sigma_H]} \cdot 100\% \leq \pm 15\%$$

shart bajarilsa, hisoblashlar qoniqarli deb qabul qilinadi. Natija musbat ishorali bo‘lsa uzatma tishlari zo‘riqmasdan, manfiy bo‘lsa – zo‘riqib ishlashi ma‘lum bo‘ladi.

12. Hisob natijasini eguvchi kuchlanishlar bo‘yicha olingan natija bilan taqqoslanadi. Odatda σ<sub>F</sub> << σ<sub>H</sub>.

### **3.2. Konussimon tishli g‘ildirakli uzatmalarni hisoblash**

1,2 va 3 bandlar aynan silindrik uzatmalardagidek 14-bet bajari-ladi .

4. Shesternya o‘rta diametrining taxminiy qiymatini kontakt kuchlanishlar bo‘yicha

$$d_{m1} = K_d \sqrt[3]{\frac{T_1 \cdot K_{H\beta} \sqrt{u^2 + 1}}{0,85 \psi_{ed} \cdot [\sigma_H]^2 \cdot u}}, \text{mm}$$

hisoblab topiladi.

K<sub>d</sub>, K<sub>Hβ</sub>, ψ<sub>ed</sub> lar yuqorida keltirilgan; uzatish soni u esa kinematikaviy hisoblashda aniqlangan.

Uzatma ko'rsatkichlari (parametrlari)ning taxminiy qiymatlari:

a) tishli gardish eni  $b_w = \psi_{bd} \cdot d_{m1}$ ;

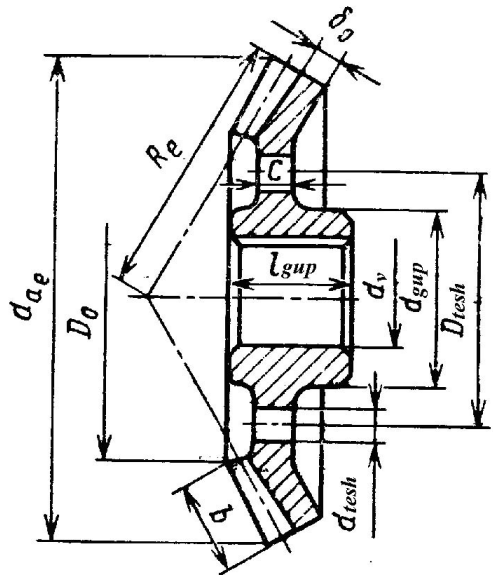
b) bo'luvchi konuslik burchaklari  $\delta_2 = \operatorname{artg} u$ ;  $\delta_1 = 90 - \delta_2$ ;

d) shesternyaning tashqi diametri  $d_{e1} = d_{m1} + b \cdot \sin \delta_1$ ;

e) tashqi konuslik masofasi  $R_e = d_{e1} / 2\sin \delta_1$ ;

f) tavsiya qilingan qiymatlari  $\psi_{be} = b/Re \leq 0,3$  bo'lishi

kerak.



5-rasm. Konussimon tishli g'ildirak.

6. Ilashmaning tashqi aylana bo'yicha o'lchangan modulini  $b \leq 10 \text{ m}_{te}$  dan aniqlanadi.  $m_{te} = b/10$  qiymati ГОСТ 9563 – 60 bo'yicha (17 bet) standartlashtiriladi.

7. Tishlar soni  $Z_1 = d_{te}/m_{te}$  va  $Z_2 = u \cdot Z_1$  aniqlanadi. Yaxlitlangandan keyin uzatish soni  $u = Z_2/Z_1$  ning qiymati  $\Delta u \leq \pm 3\%$  ni tashqil etishi ta'minlangan bo'lishi kerak.

8. ГОСТ 19325 – 73 va ГОСТ 19624 – 74 larga mos bo'lgan  $Z_2$ ,  $Z_1$  va  $m_{te}$  lar asosida hisoblangan ko'rsatkichlar aniqlanadi:

$$\delta_2 = \arctg (Z_2/Z_1); \delta_1 = 90 - \delta_2; d_{m2} = m_{te} \cdot Z_1; d_{e2} = m_{te} \cdot Z_2;$$

$$d_{m1} = d_{e1} - b \sin \delta_1; \quad d_{m2} = d_{e2} - b \sin \delta_2;$$

$$R_e = d_{e1}/2 \sin \delta_1; \quad m_{tm} = \frac{d_{m1}}{Z_1} - о'рта диаметр бойича о'лчамган$$

модул.

9. Узатмада та'sиретувчи кучларни исоблаш (11- бет).

То'г'ри тишли конусимон г'илдиракли узатмада та'sиретувчи кучлар:

a) Айланма куч  $F_t = 2 T_1 / d_{m1}$ ;

b) Шестернага та'sиретувчи радиал куч  $F_{r1} = F_t \cdot \operatorname{tg} \alpha \cdot \cos \delta_1$ ;

d) Шестернага та'sиретувчи бойлама куч  $F_{al} = F_t \cdot \operatorname{tg} \alpha \sin \delta_1$ ;

e) Нормал куч  $F_n = F_t / \cos \alpha$ ;

10. О'ртача айланма теңлік

$$\omega_m = \frac{\pi d_{m1} \cdot n_1}{60 \cdot 1000}, \text{ м/с}$$

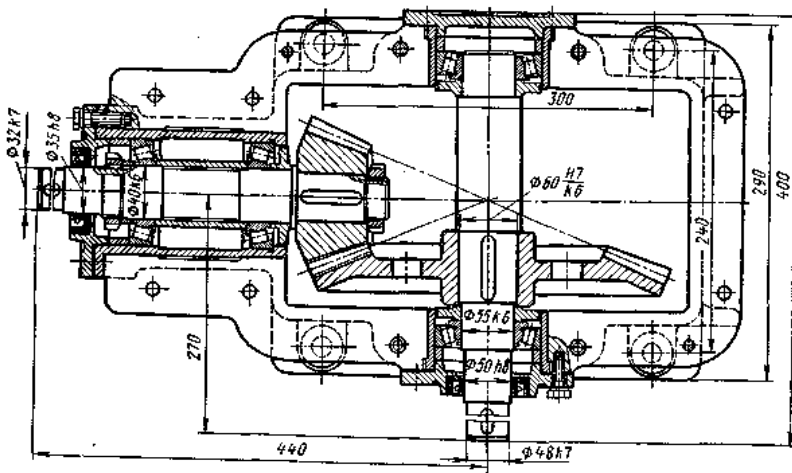
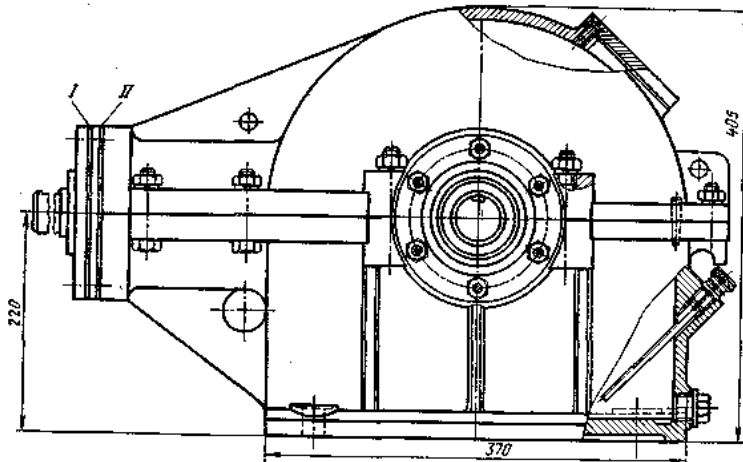
узатманы тауырлаш аныqlыгы 7 синfga оид qilib belgihanadi.

11. Тишлар mustahkamligini eguvchi kuchlanishlar bo'yicha teknishirish hisobi silindrik uzatmalardagidek bajariladi (12- бет).

$$\sigma_F = Y_F \frac{W_{Ft}}{0,85 \cdot m_{tm}} \leq [\sigma_F]$$

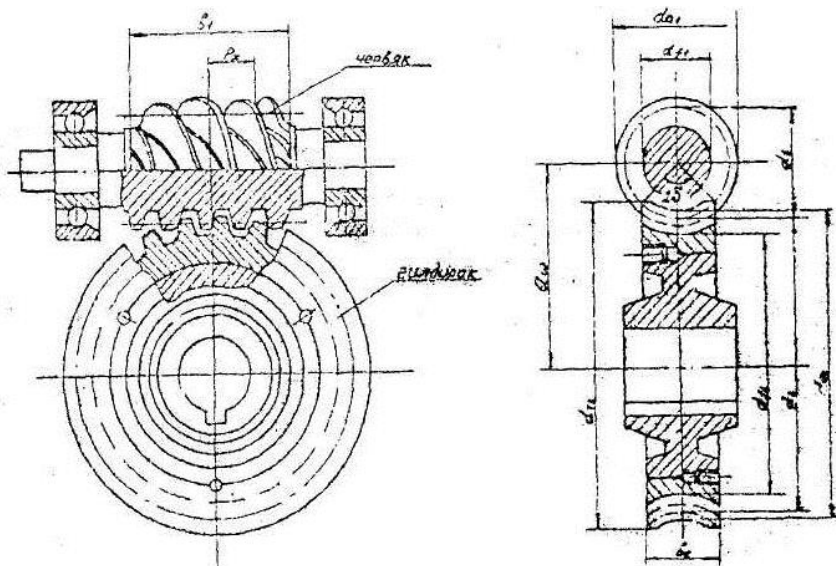
бұнда  $Y_\varepsilon \cdot Y_\beta = I$  болып,  $Y_F$  ning mustahkamligi kamroq г'илдирекка tegishlisi olinади ( $Y_{F1}$  va  $Y_{F2}$  larning qiymatlari 2-jadval dan ekvivalent tishlар soni  $Z_{v1} = Z_1/\cos \delta_1$  va  $Z_{v2} = Z_2/\cos \delta_2$  larga mos qilib tanланади)

Quyidagi 6-rasm да лойиhalangan bir pog'onali konusimон re- duktorning chizmasi ikki proeksiyada berilgan.



6-rasm. Bir pog'onali konussimon tishli g'ildirakli reduktor.

### 3.3. Chervyakli uzatmalarni hisoblash



7-rasm.

Mashinasozlikda Arximed chervyakli uzatmalardan keng foydalaniladi. Ilashmadagi sirpanish tezligining kattaligi va ilashish chizig‘iga nisbatan noqulay yo‘nalganligi sababli uzatmada g‘ildirak tishlarining yuqori darajada yeyilishi va tiqilib qolish xodisasi yuzaga keladi. Buning asosiy sababchisi bo‘lib uzatmada yuzaga keluvchi kontakt kuchlanishlar hizmat qiladi. Shuning uchun ham chervyakli uzatmalarning asosiy hisobi sifatida kontakt kuchlanishlar bo‘yicha, tekshiruv hisoblari sifatida eguvchi kuchlanishlar bo‘yicha hisoblash qabul qilingan.

Chervyakli uzatmani (7-pacm) hisoblash uchun boshlang‘ich ma‘lumotlar sifatida kinematikaviy hisoblashda aniqlangan:

$T_2$  – chervyak g‘ildiragi validagi burovchi moment, Nm;

$u$  – uzatish soni ,topshiriq shartida berilgan uzatmaning ishslash muddati  $L_h$  – soat, kerak bo‘ladi. Hisoblashlar natijasida chervyakli uzatmaning, vallarning, tayanchlar va uzatma korpusining o‘lchamlari aniqlanadi.

### **3.4. Chervyakli reduktorning hisoblash ketma – ketligi**

1. Reduktoring kinematik hisobi va elektrodvigatelni tanlash (bunda faqat elektrodvigatel va chervyakli reduktordan iborat yuritma ko‘rilayapti. Agar yuritmada boshqa uzatmalar ham bo‘lsa ularni ham e‘tiborga olish kerak).

a) Chervyakli reduktorning foydali ish koeffitsiyentini  $\eta \approx 0,8$  va demak  $Z_1 \approx 2$  deb qabul qilamiz.

Agar uzatish soni  $u$  ilgaritdan ma‘lum bo‘lsa F.I.K. va  $Z_1$  lar qiymatini quyidagidan olamiz.

$$Z_1 = 1; \quad \eta = 0,70 \div 0,75 \approx 0,73$$

$$Z_1 = 2; \quad \eta = 0,75 \div 0,82 \approx 0,80$$

$$Z_1 = 3; \quad \eta = 0,80 \div 0,87 \approx 0,84 \text{ standartda yo‘q}$$

$$Z_1 = 4; \quad \eta = 0,85 \div 0,92 \approx 0,88$$

b) Elektrodvigatelning talab qilingan quvvati  $R_{e.d}^T$ :

$$P_{e.d}^T = \frac{P_{ishchi}}{\eta}, kVt$$

d) 4-A rusumli elektrodvigatellar jadval 17 yoki P1[4] dan, aylanishlari soni  $n_{dv}=1000$  yoki  $1500 \text{ min}^{-1}$  bo‘lgan, quvvati  $P_{ed}^j \geq P_{e.d}^t$  shartni qoniqtiruvchisini tanlaymiz va chiqish vali diametri  $d_{dv}$  qiymatini ham jadval P2 [4] dan yozib olamiz ;

2. Reduktoring uzatish soni  $u$

$$u = \frac{n_{dv}}{n_{ishchi}}$$

3. Uzatish soni  $u$  ning qiymati bo‘yicha chervyak kirimlari soni  $Z_1$  ni quyidagi 7-jadval tavsiyasi bo‘yicha qayta aniqlaymiz:

7-jadval

**Chervyak kirimlari soni  $Z_1$  ning tavsiyaviy qiymatlari**

u	$7 \div 8$	$9 \div 13$	$14 \div 27$	$28 \div 40$	$> 40$
$Z_1$	4	$3 \div 4$	$2 \div 3$	$1 \div 2$	1

## 4. Chervyak gildiragi tishlari soni

$$Z_2 = u \cdot Z_1$$

Tishlar soni  $Z_2$  ni butun songa yaxlitlab, oxirgi  $u_{ox}$  ni qayta aniqlaymiz va xatolik  $\Delta u \%$  ni tekshiramiz

$$\Delta u \% = \frac{u_{ox} - u}{u} \cdot 100\% \leq \pm 3\%$$

bo‘lishi kerak. ГОСТ 2144-76 bo‘yicha  $\Delta u \% \leq \pm 3\%$  deb belgilangan.

Uzatmada sirpanish tezligi  $v_s \leq 2$  m/s bo‘lgan hollarda chervyak gildiragini cho‘yandan,  $v_s \geq 2$  m/s bo‘lganda esa g‘ildirak gupchagini cho‘yandan, gardishini bronzadan tayyorlanadi. Chervyakni esa doimo po‘latdan tayyorlanadi.

- a) Chervyak uchun 40X rusumli po‘lat tanlab, uni HRC 45 qattiqlikkacha toblab, jilvirlashni belgilaymiz. (8-jadval).
- b) Chervyak gildiragi uchun  $v_s \geq 2$  m/s bo‘lganda va uzatmaga qo‘shimcha talablar qo‘yilmagan hollarda ko‘p qo‘llanadigan bronna Br A9 J3L ni 8-jadvaldan tanlaymiz.

8-jadval

Material		Sirpanish tezligi $v_s$ qiymatlari uchun ruxsat etilgan kontakt kuchlanish [ $\sigma_N$ ] lar, MPa						
Chervyak g‘ildiragi gardishi uchun	Chervyak uchun	0,5	1	2	3	4	5	6
Br A9J3L	HRC>45 Po‘lat	182	179	173	167	161	150	138

Br A10 J4H4L	HRC>45 Po'lat	196	192	187	181	175	164	152
SCh 15 yoki SCh18	Po'lat 20 yoki se- mentatsiyalangan 20X Po'lat	128	113	84,5	-	-	-	-
SCh 10 yoki SCh15	Po'lat 45 yoki Po'lat 6	113	98	71	-	-	-	-

8-jadvaldan material uchun ruxsat etilgan kontakt kuchlanishlar ni sirpanish tezligiga moslab tanlaymiz. Masalan,  $v_s = 4 \text{ m/s}$  deb olsak,  $[\sigma_H] = 161 \text{ MPa}$ , agar  $v_s = 4,5 \text{ m/s}$  bo'lsa

$$[\sigma_H] = \frac{161 + 150}{2} = 155,5 \text{ MPa} \text{ bo'ladi.}$$

##### 5. Ruxsat etilgan eguvchi kuchlanishlarni tanlash

Ruxsat etilgan eguvchi kuchlanishlar miqdorini  $[\sigma_{OF}] = K_{FL} [\sigma_{OF}]$  shart asosida tanlaymiz, bunda  $K_{FL}$  - benuqson ishslash davri koefitsiyenti bo'lib, kuchlanishlarning siklik o'zgaruvchanligini e'tibor ga oladi.

$$K_{FL} = \sqrt[9]{\frac{10^6}{N_\Sigma}} = 0,543 \div 1,0$$

$N_\Sigma = 60n_2 t$  – belgilangan to'liq ishslash muddati davomidagi kuchlanishlarning siklik o'zgarishlari soni.

$n_2$  – chervyak g'ildiragi aylanishlari soni,  $\text{min}^{-1}$ .

$t$  - uzatmaning ishslash muddati, soat;

$K_{FL}$  - ning kichik qiymati 0,543 ni  $N_\Sigma > 25 \cdot 10^7$  bo'lganda, qolgan hollarda bronza yoki cho'yan g'ildiraklar uchun  $K_F=1$  olinadi. Dastaki yuritmalar uchun  $K_{FL} \leq 1,5$  bo'ladi.

$[\sigma_{OF}]$  - chervyak g'ildiragi tishlari materiali uchun ruxsat etilgan eguvchi kuchlanish, MPa; Uning qiymatini quymakorlik turiga va chervyak sirti qattiqligi HRC ga qarab jadval 9 dan tanlanadi:

## 9-jadval

Bronza yoki cho‘yan rusumi	Quyma turi	Chervyak sirti qattiqligi		Izox	
		Ruxsat etilgan eguvchi kuchlanish $[\sigma_{0F}]$ MPa			
		HRC < 45	HRC $\geq$ 45		
Br O10 f1	P	45	55		
	K	57	71		
BrO10H1f1	S	64	80		
Br A9J3L	P	81	98		
SCh15	P	37	47		
SCh18	P	42	53		

Tanlangan BrA9J3L uchun  $[\sigma_{0F}]^1 = 98$ , va  $[\sigma_{0F}] = K_{f1} [\sigma_{0F}]^1 = 0.543 \cdot 98 = 53.3$  MPa ga teng bo‘ladi.

6. Markazlararo masofani kontakt kuchlanishlar bo‘yicha aniqlanadi

$$a_w = \left( \frac{Z_2}{q} + 1 \right)^3 \sqrt{\left( \frac{170}{\frac{Z_2}{q} \cdot [\sigma_H]} \right)^2 \cdot K \cdot T_2 \text{ mm}}$$

bunda  $Z_2$ ,  $[\sigma_H]$  ma‘lum (30,32 betlar),  $q$ ,  $K$  va  $T_2$  larni aniqlash kerak:

- a) chervyakning nisbiy diametrini  $q = 10$  deb qabul qilamiz.
- b) burovchi moment

$$T_2 = \frac{P_2}{\omega_2}, n \cdot m \text{ bunda } P_2 = P_1 \cdot \eta, \text{ kVt}; \quad \omega_2 = \frac{\omega_1}{u} = \frac{\pi \cdot n_{\partial g}}{u}; \text{ sek}^{-1}$$

d)  $K=1,2$  – yuklanish koefitsiyenti. Uning aniq qiymati keyin 14 bandda aniqlanadi.

7. Uzatma tishlari moduli

$$m = \frac{2a_w}{Z_2 + q}, \text{ mm}$$

m ning miqdori bo‘yicha ГОСТ 2144–76 dan (10-jadval) m va q larning standart qiymatlarini tanlaymiz.

10-jadval

***m* va *q* larning standart qiymatlari  
(ГОСТ 2144-76 dan qisqartirib olingan)**

<i>m</i>	2	2,5÷3			4			3			6, 8, 10, 12,5				
<i>q</i>	16	12,5	16	20	8	10	12,5	16	8	10	12,5	8	10	12,5	14

8. Standart *m* va *q* lar uchun markazlararo masofa

$$a_w = \frac{m(q + Z_2)}{2}, \text{mm}$$

9. Chervyakning asosiy o‘lchamlari:

- bo‘lish aylanasi diametri  $d_1 = mq$ , mm;
- tashqi aylanasi diametri  $d_{a1} = d_1 + 2m$ , mm;
- tish tubi aylanasi diametri  $d_{f1} = d_1 - 2,4 m$ , mm;
- jilolangan (shlifovkalangan) chervyakning tishlar qirqilgan sirti uzunligi:  $Z_1 = 1$  yoki 2 da  $sb_1 \geq (11 + 0,06 Z_2) \cdot m$ , mm;

$$Z_1 = 3 \text{ yoki } 4 \text{ da } b_1 \geq (12,5 + 0,06 Z_2) \cdot m, \text{mm};$$

Chervyak vint chizig‘ining ko‘tarilish  $\gamma$  burchagi 11-jadvaldan olinadi:

11-jadval

**Burchak  $\gamma$  ning qiymatlari**

$Z_1$	Chervyakning nisbiy diametri <i>q</i>						
	1	8	10	12,5	14	16	20
1	$7^0 07^1$	$5^0 43^1$	$4^0 35^1$	$4^0 05^1$	$3^0 35^1$	$2^0 52^1$	
2	$14^0 02^1$	$11^0 19^1$	$9^0 05^1$	$8^0 07^1$	$7^0 07^1$	$5^0 43^1$	
3	$20^0 33^1$	$16^0 42^1$	$13^0 30^1$	$12^0 06^1$	$10^0 37^1$	$8^0 35^1$	
4	$26^0 34^1$	$21^0 48^1$	$17^0 45^1$	$15^0 57^1$	$14^0 02^1$	$11^0 19^1$	

10. Chervyak g‘ildiragi tishlarining o‘lchamlari:

- bo‘lish aylanasi diametri  $d_2 = m \cdot z_2$ , mm;
- tashqi aylanasi diametri  $d_{a2} = d_2 + 2m$ , mm;
- chervyak g‘ildiragining eng katta aylanasi diametri

$$d_{ae2} \leq d_{a2} + \frac{6m}{Z_1 + 2}, \text{mm};$$

- tishli gardishning eni  $b_2$

$$Z_1 = 1 \div 3 \text{ da} \quad b_2 \leq 0,75 d_{a1}, \text{ mm};$$

$$Z_1 = 4 \text{ da} \quad b_2 \leq 0,67 d_{a1}, \text{ mm};$$

## 11. Chervyakning aylanma tezligi

$$v_1 = \frac{\pi d_1 n_1}{60 \cdot 1000}, \text{ m/s}.$$

## 12. Sirpanish tezligi

$$v_s = \frac{v_1}{\cos \gamma}, \text{ m/s}$$

$v_s$  ning qiymati bo'yicha jadval 8 dan ruxsat etilgan kontakt kuchlanish qiymati  $[\sigma_H]^l$  qaytadan aniqlanadi va xatolik

$$\Delta \sigma_H \% = \frac{[\sigma_H] - [\sigma_H]^l}{[\sigma_H]} \cdot 100 \% \leq \pm 15 \%$$

bo'lishi tekshiriladi. Shart qanoatlantirilmagan hollarda uzatma ko'rsatkichlari ( $a_w, q, Z_2, v, m$ )ni o'zgartirish yoki chervyak g'ildiragi tishlarini mustahkamroq materialdan tanlab qaytadan hisoblash ishlarini bajarish kerak.

12-jadval

**Ruxli bronzadan tayyorlangan chervyak g'ildiragi tishlarining po'lat chervyak tishlari sirti bo'ylab sirpanishidagi keltirilgan ishqalanish koeffitsiyentlari  $f$  va qarshilik burchaklari  $\rho'$**

### qiymatlari

$v_s$	$f$	$\rho'$	$v_s$	$f$	$\rho'$
0,1	0,08-0,09	$4^0 30^1 - 5^0 10^1$	2,5	0,03-0,04	$1^0 40^1 - 2^0 20^1$
0,25	$0,065 \div 0,075$	$3^0 40^1 - 4^0 20^1$	3,0	0,028-0,035	$1^0 30^1 - 2^0 00^1$
0,5	$0,055 - 0,065$	$3^0 10^1 - 3^0 40^1$	4,0	0,023-0,030	$1^0 20^1 - 1^0 40^1$
1,0	$0,045 - 0,055$	$2^0 30^1 - 3^0 10^1$	7,0	0,018-0,026	$1^0 00^1 - 1^0 30^1$
1,5	$0,04 - 0,05$	$2^0 20^1 - 2^0 50^1$	10,0	0,016-0,024	$0^0 55^1 - 1^0 20^1$
2,0	$0,035-0,045$	$2^0 00^1 - 2^0 30^1$	15,0	0,014-0,020	$0^0 50^1 - 1^0 10^1$

Izohlar: 1. Kichik qiymatlar jilolanib jilvirlangan chervyaklar (shlifovkalanib polirovkalanigan) uchun.

2. G'ildirak gardishi materiali latundan yoki rux qo'shilmagan bronzadan bo'lsa, keltirilgan miqdorlarni  $30 \div 50\%$  ga oshirib olish kerak.

13. Uzatma foydali ish koeffitsiyentining qiymati aniqlanadi:

$$\eta = (0,95 \div 0,96) \frac{tg\gamma}{tg(\gamma + \rho^1)};$$

bunda ishqalanish burchagi  $\rho'$  ning qiymatini 12-jadvaldan olinadi:

14. Yuklanish koeffitsiyenti  $K$  ni tanlangan va hisoblangan o'chamlar (parametrlar) asosida qaytadan aniqlaymiz.

Chervyakli uzatmalar uchun yuklanish koeffitsiyenti

$$K = K_\beta \cdot K_v$$

bunda  $K_\beta$  - yuklanishning kontakt chizig'i bo'ylab notekis taqsimlanish koeffitsiyenti bo'lib, yuklanishning chervyak deformatsiyalanishiga mos ravishda o'zgarish xarakterini e'tiborga oladi:

$$K_\beta = 1 + \left( \frac{Z_2}{\theta} \right)^3 (1 - x)$$

$\theta$  - chervyakning deformatsiyalanish koeffitsiyenti, 13-jadval dan olinadi.

13-jadval

#### **$\theta$ - koeffitsiyenti qiymatlari**

$Z_l$	Nisbiy diametr $q$					
	8	10	12,5	14	16	20
1	72	108	154	176	225	248
2	57	86	121	140	171	197
3	51	76	106	132	148	170
4	47	70	98	122	137	157

X-yuklanish xarakterini e'tiborga oluvchi yordamchi koeffitsiyent bo'lib,  $i$  - rejimga mos burovchi moment  $T_i$ , aylanish chastotasi  $n_i$  lar va davom etuvchi vaqt  $t_i$  ga bog'lik ravishda aniqlanadi

$$x = \frac{\sum T_i t_i n_i}{T_{\max} \sum T_i n_i}$$

$T_{\max}$  - uzoq muddat ta'sir etuvchi eng katta burovchi moment.

Yuklanish o‘zgarmas bo‘lganda  $x=1$ , unchalik katta bo‘lmaning o‘zgaruvchan yuklanishlar uchun  $x=0,6$ , yuklanishning katta o‘zgaruvchan holatlari uchun  $x = 0,3$  olinadi. O‘zgarmas yuklanishda  $K_\beta = 1$ .

Yuklanishning dinamikaviy koeffitsiyenti  $K_v$  uzatmaning sirpanish tezligi  $\vartheta_s$  va tayyorlanish aniqligiga bog‘liq bo‘lib, 14 - jadvaldan olinadi:

14-jadval

### **$K_v$ - koeffitsiyenti qiymatlari**

Sirpanish tezligi  $\vartheta_s$ , mG<sup>’c</sup>

Aniqlik darajasi	<1.5	1.5 ÷ 3	3 ÷ 7.5	7.5 ÷ 12
6	-	-	1.0	1.1
7	1.0	1.0	1.1	1.2
8	1.15	1.25	1.4	-
9 1.25	-	-	-	-

Izoh: Umumiy ishlarga mo‘ljallangan reduktorlar uchun asosan 7 va 8 aniqlik darajasi belgilanadi. ГОСТ 3675-81 bo‘yicha umuman 12 ta aniqlik darajasi belgilangan. Kuch uzatuvchi uzatmalar uchun kamayuvchi tarzda 5 dan 9 gacha aniqlik darajalari belgilangan

15. Kontakt kuchlanish qiymati tekshiriladi:

$$\sigma_H = \frac{170}{Z_2} \sqrt{\frac{(\frac{Z_2}{2} + 1)^3}{q}} \cdot T_2 K \leq [\sigma_H];$$

Yuqoridagi 12 bandda  $\Delta\sigma\%$  ning farqi  $\pm 15\%$  oralig‘ida bo‘lishi kerakligi aytilgan.

16. Chervyak g‘ildiragi tishlari mustahkamligini eguvchi kuchlanishlar bo‘yicha tekshiriladi:

$$\sigma_F = \frac{1.2T_2KY_F}{Z_2b_2m^2} \leq [\sigma_{F0}]$$

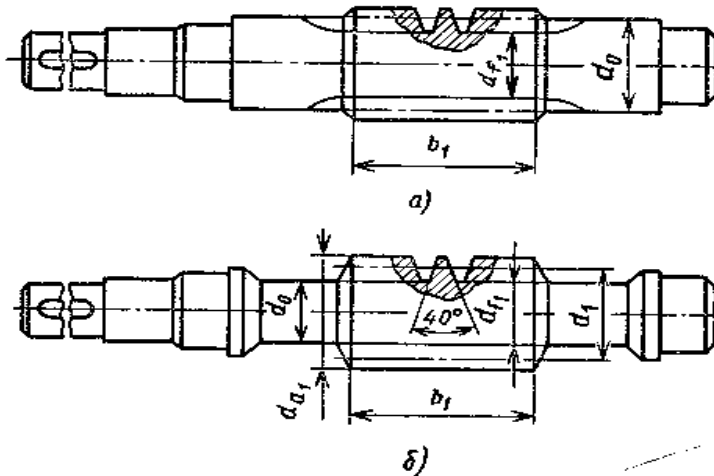
bunda  $Y_F$  ning qiymatini ekvivalent tishlar soni  $Z_v = \frac{Z_2}{\cos^3 \gamma}$  ga mos qilib 15-jadvaldan tanlanadi.

15-jadval

### Chervyak g'ildiragi tishlari shakli koeffitsiyenti $Y_F$ ning qiymatlari

$Z_v$	28	30	35	40	45	50	65	80	100	150
$Y_F$	2.43	2.41	2.32	2.27	2.22	2.19	2.12	2.09	2.08	2.04

Chervyaklar odatda val bilan birgalikda tayyorlanadi. Bunday val-chervyak ham pog'onali shaklda, pog'onalar diametrlari o'lchamлari chervyak tish tubi diametri  $d_{f1}$  ga bog'lik ravishda belgilanadi (8-rasm).



8-rasm.Chervyaklar.

- a) O'ramlari frezalab tayyorlangan. b) O'ramlari tokarlik dastgohida qirqib tayyorlangan.

17. Chervyakning tish qirqilmagan qismi diametri

$$d_{kl} = d_{f1} - (2 \div 3), \text{ mm};$$

- podshipniklar o'rnatiladigan qismi diametri (0 yoki 5 bilan tugaydigani raqam sifatida)  $d_{M1} = d_{f1} - (5 \div 10), \text{ mm};$

- zichlagichlar o‘rnatiladigan qismi diametri  $d_{zu} = d_{II} - (0 \div 3)$  oraligida ГОCT zichlagichlari o‘lchamiga moslashtiriladi [4].

- valning chiqish qismi diametri

$$d_{q1} = d_{zich} - (4 \div 5), \text{ mm};$$

Ayrim hollarda  $d_{q1} = (0.75 \div 1.0)d_{o6}$  tarzida ham olinishi mumkin.

18. Chervyak valining mustahkamligi tish qirqilgan qismining o‘rtasi uchun ekvivalent kuchlanish qiyamatiga qarab baholanadi

$$\sigma_{\text{окс}} = \sqrt{(\sigma_{Fr} + \sigma_{Fa})^2 + 3\tau^2} \leq [\sigma_{-1}]$$

bunda  $\sigma_{Fr} = \frac{M_{F_{\max}}}{0.1d_{f1}^3}$ , MPa, - eguvchi moment ta‘siridan yuzaga

keluvchi normal kuchlanishning maksimal qiymati;

$\sigma_{Fa} = \frac{4F_{al}}{\pi d_{f1}^2}$ , MPa, - bo‘ylama kuch ta‘siridan yuzaga keluvchi

normal kuchlanishning maksimal qiymati ;

$\tau = \frac{T_1}{0.2d_{f1}^3}$ , MPa, - urinma kuchlanishning maksimal qiymati;

$M_{F_{\max}} = \sqrt{(M_{Fr} + M_{Fa})^2 + M_{Fr}^2}$ , Nm; - kesimdagи eguvchi momentning maksimal qiymati;

$[\sigma_{-1}]$  - toliqish chegarasining kuchlanishi. Uning miqdori po‘lat rusumi va termik ishlov turiga qarab  $55 \div 90$  MPa atrofida olinadi.

19. Chervyakli uzatmaning uzoq muddat benuqson ishlashi uzatma tishlarining normal ilashib ishlaganidagina ta‘minlanishi mumkin. Buning uchun chervyak vali etarlicha bikr bo‘lishi va uning salqiligi f quyidagi shartni qanoatlantirishi kerak:

$$f = \frac{l^3 \sqrt{F_{tl}^2 + F_r^2}}{48EI_{kei}} \leq [f]$$

bunda  $l = (0.9 \div 1.0) d_2$ , mm, - valning tayanchlari orasidagi masofa;

$f$  - chervyak valining salqiligi, mm;

$[f] = (0.005 \div 0.01)m$ , mm, - salqilikning ruxsat etilgan qiymati ;

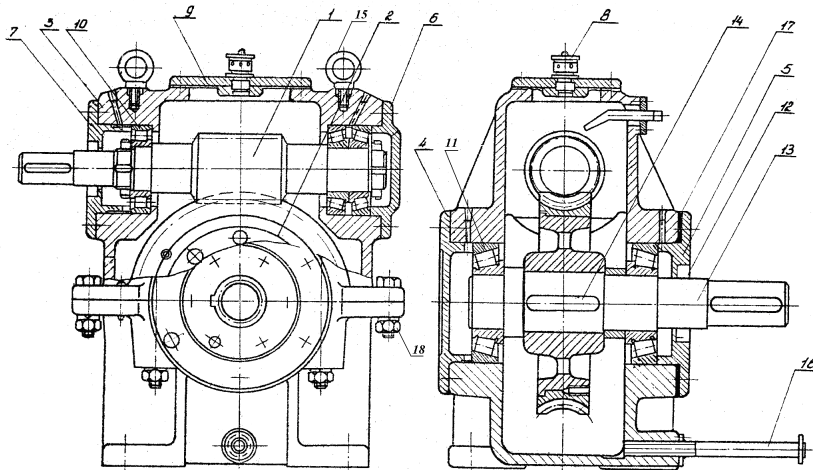
$$I_{kel} = \frac{\pi d_{f1}^4}{64} (0.375 \div 0.625) \frac{d_{al}}{d_{f1}} \text{ mm}^4$$
, - chervyak ko'ndalang kes-

imining keltirilgan inersiya momenti;

$E = 2.1 * 10^5$  , MPa – po'latning elastiklik moduli.

Agar  $f \leq [f]$  shart bajarilmasa, chervyakning nisbiy diametri q ni kattalashdirish va hisoblashlarga shu asosda tuzatishlar kiritish kerak.

20. Chervyak valining aniqlashtirish hisobi xuddi silindrik yoki konussimon tishli uzatmalar vallari kabi xavfli kesimlardagi toliqish chegarasining koeffitsiyentlari bo'yicha bajariladi [4].



9-rasm. Bir pogonali chervyakli reduktor.

Chervyakli reduktoring asosiy detallari (9-rasm).

1. Chervaykli val.
2. Chervaykli g'ildirak.
3. Reduktor korpusining asosi.
4. Podshipnik qopqog'i (berk qopqoq, chervyak validagi).
5. Podshipnik qopqog'i (teshik qopqoq, chervyak g'ildiragi validagi).

6. Podshipnik qopqog‘i (berk qopqoq, chervyak validagi).
7. Podshipnik qopqog‘i (teshik qopqoq, chervyak validagi).
8. Shamollatkich tiqin.
9. Tuynuk qopqog‘i.
10. Yetakchi val podshipnigi .
11. Chiqish vali podshipnigi.
12. Manjetali zichlagich.
13. Chiqish vali.
14. Prizmatik shponka.
15. Rim – bolt.,
16. Moy to‘kkich tiqin.
17. Ilashmani sozlash zichlagich (to‘shalma)lari.
18. Boltli birikma.

#### **4. Reduktor detallarining geometrik o‘lchamlari**

##### **4.1. Reduktor korpusining konstruktiv o‘lchamlari**

Korpus asosi va qopqog‘i devorining qalinligi:  
bir pog‘onali silindrik reduktor uchun

$$\delta = 0,025a_{\omega} + 1, mm;$$

$$\delta_1 = 0,02a_{\omega} + 1$$

bir pog‘onali konussimon reduktor uchun

$$\delta = 0,05R_e + 1; \quad \delta_1 = 0,04R_e + 1 mm$$

bir pog‘onali chervyakli reduktor uchun

$$\delta = 0,04a + 2; \quad \delta_1 = 0,03a + 2 mm$$

ikki pog‘onali reduktorlar uchun

$$\delta = 0,025a_c + 3; \quad \delta_1 = 0,02a_c + 3 mm$$

Korpus cho‘yandan quyilgan bo‘lsa  $\delta_{min} = 8 mm$ ,

Boshqa, ya‘ni rangli metall qotishmalaridan quyilib, yoki boshqa usul qo‘llab tayyorlansa  $\delta \geq 5 mm$  bo‘lishi ham mumkin.

Korpus asosi va qopqog‘i tutashuvchi flanetslari qalinligi  $\epsilon = 1,5\delta; \epsilon_1 = 1,5\delta_1$

Korpus asosining poydevorga o'rnatiladigan flanetsining qaliligi  $p = 2,35\delta$

Shu flanetsda bolt uchun bo'rtiq tayyorlangan bo'lsa

$$p_1 = 1,5\delta; \quad p_2 = (2,25 \div 2,75)\delta$$

Korpus asosi va qopqog'idagi qovurg'alar qalinligi

$$m = (0,85 \div 1,0)\delta; \quad m_l = (10,85 \div 1,0)\delta_l;$$

Poydevorga mahkamlash boltlari diametri :

- silindrik va chervyakli reduktorlarda

$$d_1 = (0,03 \div 0,036)a_c + 12; mm$$

- konussimon reduktorda

$$d_1 = 0,072R_e + 12mm$$

Podshipniklar oldidagi boltlar diametri

$$d_2 = (0,7 \div 0,75)d_1;$$

Korpus asosi va qopqoqni biriktiruvchi boltlar

$$d_3 = (0,5 \div 0,6)d_1;$$

Bolt  $d_2$  ning holatini belgilovchi o'lchamlar

$$e \approx (1 \div 1,2)d_2; \quad q \geq 0,5d_2 + d_4;$$

bunda  $d_4$ -podshipnik qopqog'ini biriktiruvchi bolt diametri

$$d_4 = (0,7 \div 0,75)d_3;$$

Bolt  $d_2$  o'rnatiladigan bo'rtiq qismi balandligi  $h_\delta$  ni shunday tanlash kerakki,  $d_2$  boltning kallagi va gayka sirtga to'liq tegib tursin. Imkonи boricha barcha bo'rtiqlar balandligi bir xil bo'lishi kerak.

Korpusdagi podshipnik o'rnatiladigan uyacha o'lchamlari :

- uyacha diametri  $D_n$ -podshipnikning (yoki podshipnik. Stakanining) tashqi diametri bo'yicha olinadi.

- uyachaning tashqi diametri

$$D_q = D_2 + (2 \div 5)$$

bunda  $D_2$ -podshipnik qopqog'i flanetsining diametri

- uyacha uzunligi

$$\ell_{uyacha} = \delta + c_2 + R_\delta + (3 \div 5)mm$$

- bolt  $d_2$  ning kallagi joylashadigan (tayanadigan) yuzacha radiusi.

$$R_{\delta} \geq 1,1d_2 -$$

Korpus asosi va qopqoqni biriktirishda qo'llanadigan shtiftlar diametri

$$d_{um} = \sigma + \sigma_1 + 5 \text{ mm.}$$

Tishli g'ildiraklar tashqi o'lchamlari bilan korpus devori orasidagi masofa:

- g'ildirak diametri bo'yicha :

$$A \approx (1 \div 1,2) \delta$$

- g'ildirak yonlari bo'yicha

$$A_1 \approx A$$

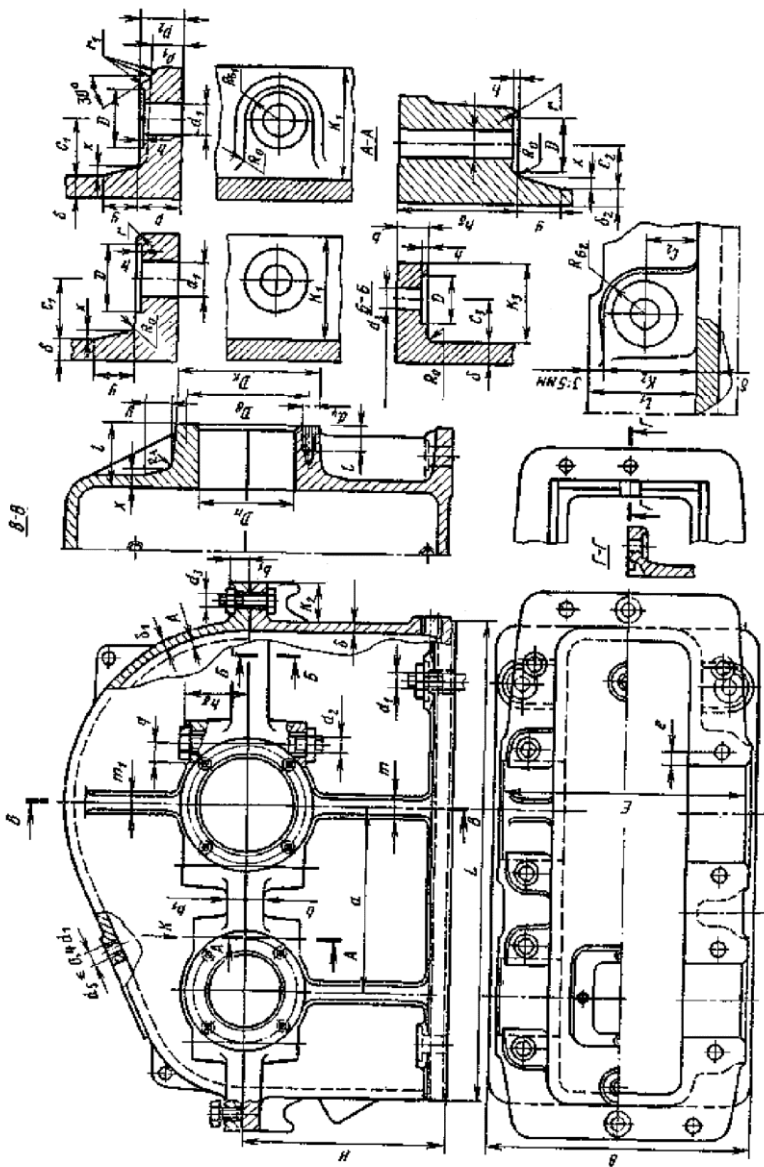
Korpus flanetslarida boltlar o'rnatiladigan teshiklarning koordinatalari:

$K_i$  - flanetsning korpus devoridan tashqarisiga chiqib turuvchi o'lchami

$C_i$  - flanesdagi bolt o'rnatiladigin teshik o'qining koordinatasi , bunda  $i$  -boltning indeks raqami.

Koordinatalar	Boltlar								
	M6	M8	M10	M12	M16	M20	M24	M27	M30
$K_i$	22	24	28	33	39	48	54	58	65
$C_i$	12	13	16	18	21	25	34	36	50

Podshipnik qopqoqlari o'rnatiladigan sirtlarga ishlov berishning qulayligini ta'minlash maqsadida ularning bir hil masofada (E o'lchovi. 10-rasm) bo'lishi maqsadga muvofiq hisoblanadi.



10-rasm. Reduktoring cho‘yandan tayyorlangan korpusi konstruksiyasi elementlari.

## 16-jadval

### 4.2.Tishli g‘ildiraklarning asosiy o‘lchamlari jadvali

10.1 ÷ 10.5 va 10.8, 10.9 [4] rasmlar

Ko‘rsatkichlar	Hisoblash formulasi
G‘ildiraklar gupchagi diametri -po‘latdan bo‘lsa -cho‘yandan bo‘lsa Gupchak uzunligi	$d_{syn} = 1,6d_e$ $d_{syn} = 1,8d_e$ $\ell_{syn} = (1,2 \div 1,5)d_e$
Gupchak gardishi qalinligi: -silindrik g‘ildiraklar uchun -konussimon g‘ildiraklar uchun	$\delta_0 = (2,5 \div 4,0)m_n$ } 8 mm dan $\delta_0 = (3 \div 4)m_n$ kam emas (cho‘yandan quyiladigan hollarda)
G‘ildirak diskি qalinligi: -bolg‘alangan g‘ildiraklar uchun -shtamplangan g‘ildiraklar uchun -quyma g‘ildiraklar uchun -konussimon g‘ildiraklar uchun	$C = 0,3\epsilon$ $C = (0,2 \div 0,3)\epsilon$ $C = 0,2\epsilon$ $C = (0,1 \div 0,17)R_e$
Engillatuvchi teshiklar markazi diametri -teshiklar diametri o‘lchamlari (kichik shesternyalar va g‘ildiraklarda tayyorlanmaydi)	$D_{meu} = 0,5(D_0 + d_{syn})$ $d_{meu} = 0,25(D_0 - d_{syn})$
Qobirg‘alar qalinligi Kertma (faska)lar	$s = 0,8c$ $n \approx 0,5m_n$
Silindrik g‘ildiraklarni ko‘plab ishlab chiqarishda ularni 2 ta va undan ko‘p olib birgalikda ishlov beriladi.Bunda gupchak g‘ildirak gardishi enidan katta bo‘lmashligi, ya‘ni $\ell_{syn} \leq \sigma$ bo‘lishi kerak.	
Belgilanishlar: $d_e$ – val diametri; $m_n$ – normal modul; $m$ – o‘rtacha aylana bo‘yicha o‘lchanan modul; $\epsilon$ – gupchak eni; $R_e$ – tashqi konuslik masofasi; $D_0$ – gardishning ichki diametri.	

### 4.3. Vallarning taxminiy hisobi

Taxminiy hisobni faqat burovchi momentning ruxsat etilgan qiymati miqdori uchun olib boramiz.

#### 4.3.1. Yetakchi val

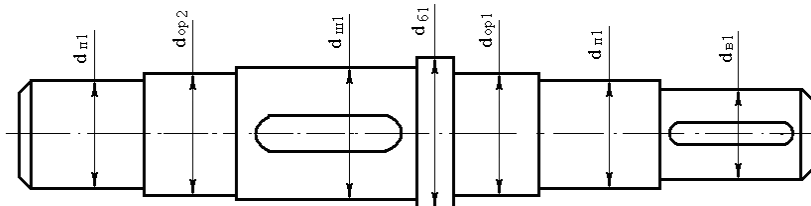
Valning eng kichik diametri quyidagicha aniqlanadi ( $[\tau] = 25 M\pi a$  deb hisoblaymiz):

$$d_{\epsilon 1} = \sqrt[3]{\frac{T_1}{0,2[\tau]}} \geq mm$$

bu formulada  $T_1$ ni N.mm; da olinadi.

O'rnatiladigan detallariga qarab, valning taxminiy konstruksiyasini egilishga teng qarshilik ko'rsatuvchi balka tarzida loyihalaymiz.

A) Silindrik reduktor yetakchi valining konstruksiysi (11-rasm).



11-rasm.

$d_{\epsilon 1}$  – yetakchi val diametri;

$d_{n1} = d_{\epsilon 1} + 5$  - podshipnik o'rnatiladigan diametr;

$d_{op1}, d_{op2} = d_{n+1}$  - oraliq qismlar diametri;

$d_{\omega} = d_{op} + 5$  mm – shesternya osti diametri;

Konussimon reduktor yetakchi (I inchi) valining konstruksiysi (12-rasm).

B) chervyak valining konstruksiysi (8-rasm).

$d_{\epsilon 1}$  – chervyak vali diametri;

$$d_{\kappa_1} = d_{\epsilon_1} + 5mm - \text{qopqoqdan o'tish qismi diametri};$$

$$d_{n_1} = d_{\kappa_1} + 5mm - \text{podshipnik osti diametric};$$

$$d_{op_1} = d_{n_1} + 5mm - \text{oraliq qismi diametri};$$

$$d_{f_1}, d_1; d_a - \text{chervyakning diametal o'lchamlari};$$

Yetakchi vallarning chiqish qismi (uchlari)ning diametrini MUVP muftasi ichki diametriga moslab tanlaymiz. Odatda formula yordamida hisoblangan diametr qiymati uzatishi lozim bo'lgan momentga mo'ljallangan MUVP muftasining ichki diametridan ancha kichik chiqadi.

ГОСТ 21424-75 (277-bet [4]) bo'yicha tayyorlangan muftalarning ichki diametrleri bir-biridan ( $0,75 \div 1,0$ )  $d_{d_8}$  ga farq qilishi mumkinligidan foydalanib, yetakchi val diametrini  $d_{\epsilon_1} = (0,75 \div 1,0)d_{d_8}$  qilib olinishi mumkin. ( $d_{d_8}$  - tanlangan elektrosvigatel chiqish valining,  $d_m$  - muftaning val o'rnatiladigan qismining diametri).

### 4.3.2. Yetaklanuvchi val

A) Silindrik reduktor yetaklanuvchi valining eng kichik diametri

$$d_{\epsilon_2} = \sqrt[3]{\frac{T_2}{0,2[\tau]}}, mm$$

Bu munosabatdagji tangensial kuchlanishning ruxsat etilgan qiymatini

$$[\tau] = 20M\pi a \text{ olamiz.}$$

$T_2$ -kinematik hisobdan olinadigan burovchi moment,  $H \cdot \text{мм}$ .

Valning diametal o'lchamlari:

$d_{\epsilon_2}$  - hisoblangan valning eng kichik diametri;

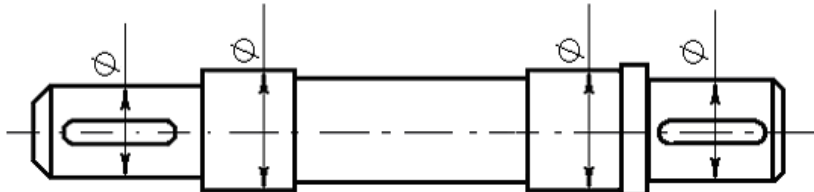
$d_{\kappa_2} = d_{\epsilon_2} + 5mm$  - valning podshipnik qopqog'idan o'tuvchi qismi diametri;

$d_{n_2} = d_{\kappa_2} + 5mm$  - valning podshipnik o'rnatiladigan qismlari diametri;

$d_{e_2} = d_{n_2} + 5\text{mm}$  – valning tishli g‘ildirak o‘rnatiladigan qismi diametri;

$$d_{e_2} = d_{e_2} + 5\text{mm} – \text{valning bo‘rtiq qismi diametri};$$

B) Konussimon tishli g‘ildirakli reduktorning yetakchi vali (12-rasm).



12-rasm. Konussimon reduktorning yetakchi vali.

$$d_{e_2} = \sqrt[3]{\frac{T_2}{0,2[\tau]}}, \text{mm} - \text{yetaklanuvchi valning eng kichik diametri.}$$

$[\tau] = 20\text{MPa}$  olinadi;  $T_2$ -kinematik hisobdan olinadigan burovchi moment,  $H \cdot \text{mm}$ ;

Valning diametral o‘lchamlari:

$$d_{e_2} – \text{valning hisoblangan eng kichik diametri};$$

$d_{k_2} = d_{e_2} + 5\text{mm} – \text{valning podshipnik qopqog‘idan o‘tuvchi qismi diametri};$

$d_{n_2} = d_{k_2} + 5\text{mm} – \text{podshipniklar o‘rnatiladigan qismlari diametrlari};$

$d_{e_2} = d_{n_2} + 5\text{mm} – \text{valning tishli g‘ildirak o‘rntiladigan qismi diametri};$

$$d_{op_2} = d_{e_2} + 5\text{mm} – \text{valning oraliq qismi diametri};$$

D) Chervyak g‘ildiragini vali (9-rasm, 40 bet).

Chervyak g‘ildiragi valining eng kichik diametri:

$$d_{e_2} = \sqrt[3]{\frac{T_2}{0,2[\tau]}}, \text{mm}$$

Bunda  $T_2$ ,  $H \cdot mm$  – kinematik hisoblashdan olinadigan cheryak g‘ildiragi validagi burovchi moment.

Tangensial kuchlanishning ruxsat etilgan qiymatini  $20 \div 25 MPa$  oralig‘ida olinadi.

Agar yuritmada faqat chervyakli reduktoring o‘zi bo‘lsa  $[\tau] = 25 MPa$ ; agar chervyakli reduktordan keyin yana biron uzatma (ochiq tishli-silindrik, konussimon yoki zanjirli) bo‘lsa  $[\tau] = 20 MPa$  olinadi.

Bunday tanlash mazkur valdan keyingi uzatmadan yuzaga keluvchi valni eguvchi qo‘sishma moment ta‘sirini e‘tiborga oladi.

$d_{\kappa_2} = d_{\kappa_2} + 5mm$  – valning podshipnik qopqog‘idan o‘tuvchi qismi diametri;

$d_{n_2} = d_{\kappa_2} + 5mm$  – podshipniklar o‘rnataladigan qismlari diametrlari;

$d_{\varepsilon_2} = d_{n_2} + 5mm$  – valning tishli g‘ildirak o‘rnataladigan qismi diametri;

$d_{op_2} = d_{\varepsilon_2} + 5mm$  – valning oraliq qismi diametri;

#### 4.4. Reduktor detallarini joylashtirish

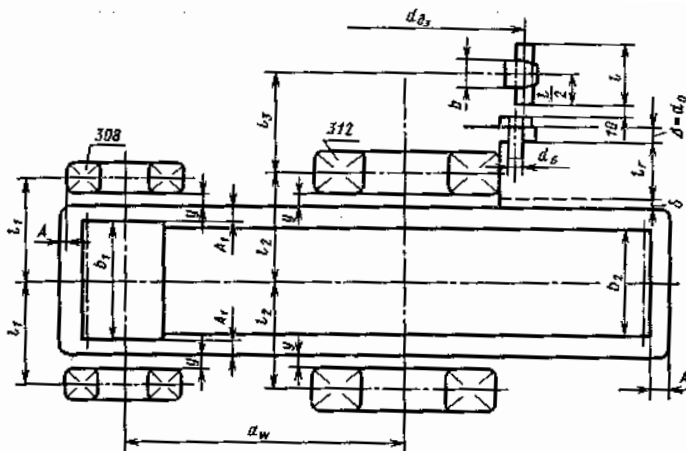
Odatda detallarni joylashtirish chizmasini ikki bosqichdan iborat qilib bajariladi. Birinchi bosqich tishli g‘ildiraklar va reduktor bilan birikuvchi boshqa agregat yoki uzatma detallarini (muftalar, tishli g‘ildiraklar, yulduzchalar yoki shkivlar) taxminiy joylashishini aniqlashga xizmat qiladi. Shular asosida reduktor vallarining barcha uzuunlik o‘lchamlari aniqlanadi. O‘rnataluvchi detallar o‘lchamlari va ularga ta‘sir etuvchi kuchlar ham e‘tiborga olingan holda vallar tayanchlaridagi reaksiyalar, hamda ular asosida ta‘sir etuvchi burovchi va eguvchi momentlar epyuralari quriladi; bunda shponka tanlash, ularning mustahkamligini tekshirish, podshipniklarning umrboqiyligini tekshirish ishlari ham birinchi bosqichda bajarilgan bo‘ladi. Ma‘lumki podshipniklar vallarning diametr o‘lchamlarini aniqlashda faqat ichki diametr bo‘yicha tanlangan edi.

1. Silindrik g'ildirakli reduktorning (13-rasm) joylashtirish chizmasini  $1 \div 1$  mashtabda bitta proeksiyada A1 formatning taxminan o'rtasidan, listning uzun tomoniga parallel qilib gorizontal o'q chiziq o'tkazib, so'ngra shu chiziqqa tik qilib yetakchi va yetaklanuvchi vallar o'qlarini o'tkazib bajaramiz, bunda ularning oralari  $a_w$  ga teng bo'lishi kerak.

2. Shesternya va g'ildirakning proeksiyalarini oddiy ikkita to'rtburchak ko'rinishida chizamiz, bunda to'rtburchaklarning kengliklari bixil o'lchamda yoki shesternya enini 5 mm. ko'proq olinishi mumkin, g'ildiraklarning bo'lish aylanalari ilashish qismida bitta chiziqda uchrashgan holni aks ettiradi.

Ko'pincha shesternya val bilan birgalikda tayorlangan, tishli g'ildirakning gupchagi uzunligi esa uning eniga teng qilib olingan bo'ladi. Modulga teng masofada shesternya va g'ildirakning tashqi diametrлари chizilib, ilashish holati ham yuzaga keltiriladi.

Korpus ichki devorining chizmasi:



b) G‘ildirak tashqi diametridan devorgacha bo‘lgan oraliqni devor qalinligiga teng olinadi  $A = \delta$ .

d) Podshipniklarning tashqi va ichki diametrлari hamda enini to‘rtburchaklar tarzida korpus ichki devoridan  $Y=8 \div 12$  mm masofada chizamiz, bu masofa moy tutkich halqalar o‘rnatish uchun kerak. Moy tutkich halqalar podshipnik plastik moyining tishli g‘ildirakning industrial moyi bilan yuvilib ketmasligi uchun zarur.

e) Korpus ichki devorining tugallanmagan shesternya tomonini yetakchi val shesternyasi tashqi diametridan  $A = \delta$  masofada chizamiz. Agar podshipnikning tashqi diametri shesternyaning diametridan katta bo‘lsa, devorni podshipnikdan  $A = \delta$  masofada chiziladi.

Podshipniklarning vallar diametri bo‘yicha o‘rtacha seriyalilarni tanlab, shartli belgisi, gabarit o‘lchamlari hamda yuk ko‘taruvchanliklarini jadval tarzida keltirib qo‘yiladi, masalan:

Sh.B	A	D	B	yuk ko‘taruvchanliklari, kN	
				o‘lchamlari, mm	
308	40	90	23	41,0	22,4
312	60	130	31	81,9	48,0

Podshipniklarni plastik moy (solidol YS-10) bilan moylanadigan qilamiz.

Moy tutkich halqa konstruksiyasini tavsiya qilinganlaridan biri tarzida qabul qilamiz [4]. Shesternya va g‘ildirak o‘qi bilan podshipniklar o‘rtasidan o‘tuvchi o‘qlargacha bo‘lgan  $\ell_1$  va  $\ell_2$  masofalarni hosil bolgan chizmadan o‘lchab olamiz.

Podshipniklar uyachalari uzunliklarini  $\ell_{uya}=1,5B$  mm, olamiz. Ma‘lumki, yetaklovchi valdagи podshipnik uyachasi uzunligini bir hil, yetaklanuvchi valdagidek olamiz. Bu holat korpusning podshipnik qopqoqlari o‘rnatiladigan sirtlariga ishlov berish texnologikligini ta‘minlash uchun zarur.

Podshipnik qopqog‘i o‘lchamlarini tavsiyalarga binoan belgilaymiz [4].

Reduktoring chiqish valiga o‘rnatilishi mumkin bo‘lgan detalning (mufta, tishli g‘ildirak, yulduzcha) tashqi yon sirti bilan qopqoqni mahkamlovchi bolt (vint) kallagi orasidagi masofa kamida

$A = \delta$  bo‘lishini ta‘minlash talab qilinadi. Odatda mazkur o‘rnatilgan detal gupchagining uzunligi  $\ell_{\text{gupc}} = (1,2 \div 1,5) d_{\text{val}}$   $\approx 1,35 d_{\text{val}}$  bo‘ladi va chiqish valining  $\ell_3$  o‘lchamini quyidagicha:

$$\ell_3 = \ell_a + (\Delta - d_4) + h_{\text{vint}} + \delta + \ell_{\text{gupch}} / 2$$

bo‘lishi ta‘minlanadi.

bunda  $\ell_3$ - podshipnik o‘qidan valning chiqish qismiga o‘rnatilgan detal o‘qigacha bo‘lgan masofa.

$\ell_a$ - podshipnik o'qidan uyacha chetigacha bo'lgan masofa.

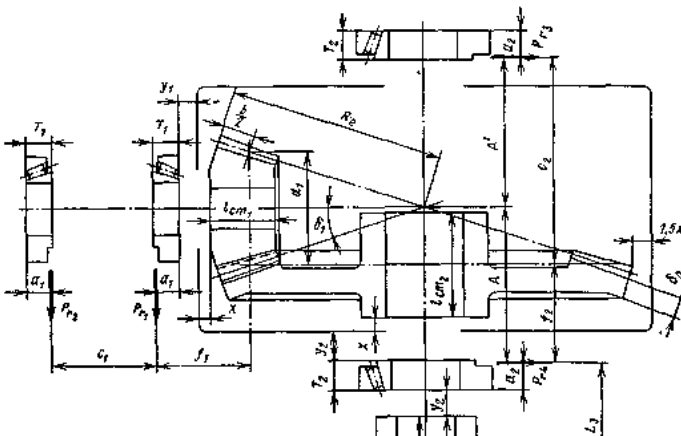
$\Delta=d_4$ - podshipnik qopqog'i qalinligi.

$h_{\text{int}}$ - qopqoqni mahkamlovchi vint kallagi balandligi.

δ- korpus devori qalnligi.

Shuning bilan ikkala val qismlarining uzunlik o'lchamlari aniqlanadi. Ulardan vallar mustahkamligini hisoblashda hamda podshipniklarning ishslash muddatlarini aniqlashda foydalaniladi.

#### **4.4.1. Konussimon tishli g‘ildirakli reduktor detallarini joylashtirish**



14-rasm. Konussimon tishli g'ildirakli reduktor detallarining joylashtirish chizmasi.

Chizmani 1:1 masshtabda huddi silindrik reduktordagi kabi chizamiz. Bunda ham podshipniklarni plastik moy-solidol YS-10 bilan moylashni belgilaymiz. Tishli ilashmani industrial moy bilan moy-

laymiz, demak, moy tutkich halqalarni ham o‘rnatish kerak bo‘ladi, shu bilan yetakchi valdag'i podshipnikni sachratib moylash qiyinligi ham e‘tiborga olingan bo‘ladi.

Listning o‘rtasidan gorizontal chiziq o‘tkazamiz - bu yetakchi valning o‘qi bo‘ladi. Shu o‘qqa tik qilib yetaklanuvchi (ikkinchi) valning o‘qini o‘tkazamiz. O‘qlarning kesishish nuqtasidan konuslik burchagi  $\delta_1$  ostida shesternya va tishli g‘ildirak o‘rta bo‘lish aylanalarini chizig‘ini o‘tkazamiz va shu chiziqqa o‘qlarning kesishish nuqtasidan ikkala tomonga bir xil  $R_e$ -konuslik masofani o‘lchab qo‘yamiz.

Shesternya va tishli g‘ildiraklarning ilashib turgan holatini yuqorida aniqlangan o‘lchamlarda chizamiz. Bunda tishli g‘ildirak gupchagini uning diskiga nisbatan shunday joylashtiramizki, korpusning ikki devori yetakchi val o‘qiga nisbatan teng masofada (simmetrik) bo‘lsin. Shunda yetaklovchi val tayanchlari orasidagi masofa eng kam bo‘ladi.

Podshipniklarni stakanlarga joylashtiramiz. Vallar tayanchlari uchun bir qatorli yengil seriyali rolikli podshipniklar tanlaymiz. Bu podshipniklar jadval ( P7, [4] )dan vallarning diametrлари (podshipniklar uchun ichki diametr) bo‘yicha tanlanadi. Masalan:

Podshipnikning shartli belgisi	d	D	T	C	$C_0$	e
	mm			kN		
7206	30	62	17,25	31,5	22	0,36
7209	45	85	20,75	50	33	0,41

Shesternya yon sirtidan 10 mm masofada reduktorning ichki devorini, undan  $Y_1=15$  mm masofada yetakchi valning ichki podshipnigi gabaritini chizamiz. Mazkur masofa keyinchalik moy tutkich halqa o‘rnatish uchun kerak bo‘ladi.

Radial-tayanch podshipniklarning radial reaksiyalari rolik o‘qiga o‘tkazilgan tik bilan val o‘qi kesishgan nuqtaga qo‘yilgan bo‘ladi. Bir qatorli rolikli podshipniklar uchun shu nuqtaning koordinatasи:

$$a_1 = \frac{T_1}{2} + \frac{(d_1 + D_1)e_1}{6}, \text{mm bo'ldi.}$$

Bu munosabatdagi  $T_1$ ,  $d_1$ ,  $D_1$  va  $e_1$ lar yuqorida keltirilgan podshipniklar jadvalidan olinadi

Shesternya o'rta bo'lувчи aylanasi diametrining val o'qi bilan kesishgan nuqtasi bilan reaksiya koordinatasini orasidagi  $f_1$  masofani chizmadan o'lchab olamiz (14-rasm).

Yetakchi val podshipniklari reaksiyalari ta'sir etuvchi nuqtalari orasidagi masofa:

$$C_1 = (1,4 \div 2,3)f_1 \approx 1,85f_1, \text{mm, bo'ldi.}$$

Yetaklanuvchi val podshipniklarini korpusning ichki devoridan  $Y_2=20$  mm oraliqda joylashtiramiz. Korpus devorini yetaklanuvchi tishli g'ildirak yon sirtidan  $X = 10$  mm masofada o'tkazilgan. Yuqoridagi  $Y_2=20$  mm masofa moy tutkich halqa o'rnatish uchun kerak bo'ldi.

Yetaklanuvchi val podshipniklari uchun tayanch reaksiya koordinatasini aniqlaymiz.

$$a_2 = \frac{T_2}{2} + \frac{(d_2 + D_2)e_2}{6}, \text{mm}$$

Yetakchi val o'qi bilan podshipnik reaksiyasi koordinatasiga bo'lgan masofa A ni chizmadan o'lchab olamiz. Reduktor korpusini yetakchi val o'qiga simmetrik qilib loyihalaymiz va  $A^1=A$  (14-rasm) qilib olamiz va yetaklanuvchi val podshipniklari gabaritlarini chizamiz.

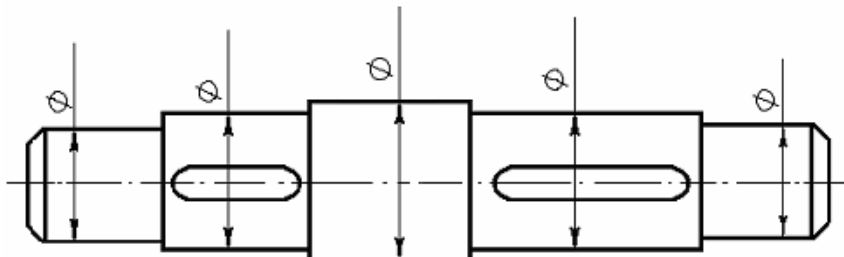
Chizmadan  $f_2$  va  $C_2$  larni o'lchab olamiz. Bunda  $A^1+A=C_2+f_2$  ekaniga ahamiyat berish kerak.

Reduktor ichki devorining tarxini g'ildirak tishlari qirrasidan 1,5 X masofada o'tadigan qilib chizamiz.

Valning uchiga o'rnatiladigan detalni (yulduzcha, tishli g'ildirak, mufta) podshipnik yon sirtidan  $Y_2$  masofada o'rnatishni mo'ljalaymiz va valning  $\ell_3$  masofasini ham aniqlaymiz.

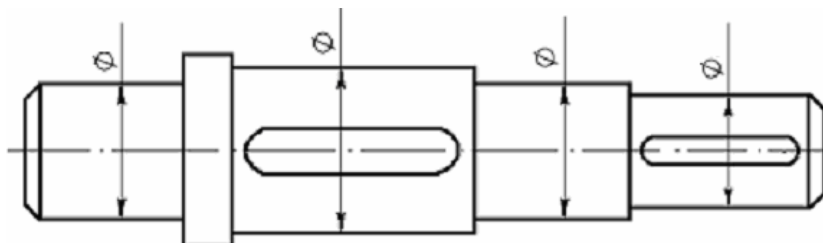
$\ell_3 = a_2 + y_2 + \ell_{gypch3} / 2 \text{ mm.}$  (14-rasmida chiqish valiga o'rnatiladigan zanjirli uzatma yulduzchasining bir qismigina ko'rsatilgan).

Bunda  $\ell_{syn3} = (1,2 \div 1,5)d_{e_2} \approx 1,4d_{e_2}$ , mm – valning chiqish qismiga o‘rnatiladigan detal (zanjirli uzatma yulduzchasi) gupchagi uzunligi.



15-rasm. Oraliq val

Bu oraliq val (15-rasm) konussimon – silindrik, yoki ikki pog‘onali silindrik reduktorlarda qo‘llanadi.



16-rasm. Yetaklanuvchi val.

Vallarning xarbir qismi uzunliklari o‘lchovlari reduktor detal-larini joylashtirish chizmasini bajarilgandan keyin aniqlanadi. Uzunlik o‘lchovlari ma‘lum bo‘lgan valning eskizi chizilib, unga o‘rnatilishi kerak bo‘lgan detallar (tishli g‘ildiraklar, mufta, podshipniklar) va ularga ta‘sir etuvchi kuchlar aks ettiriladi.

Kuchlarning gorizontal va vertical tashkil etuvchilarini aniqlanib, shu tekisliklar uchun valning hisob sxemalari tuziladi. Tayanch reaksiyalari aniqlanib, eguvchi va burovchi moment epyuralari hisoblanib chiziladi.

**17 - jadval**

**ГОСТ 19523-81 bo'yicha 4A-seriyali shamollatib turiluvchi  
yopiq asinxron elektrosvigatellar**

Quv-vat kVt	Sinxron aylanishlar soni, min <sup>-1</sup>											
	3000			1500			1000			750		
	rusumi	S%	$\frac{T_{\max}}{T_{nom}}$	rusumi	S%	$\frac{T_{\max}}{T_{nom}}$	rusumi	S%	$\frac{T_{\max}}{T_{nom}}$	rusumi	S%	$\frac{T_{\max}}{T_{nom}}$
0,55	63B2	8,5		71A4	7,3		71B6	10		80B8	9	
0,75	71A2	5,9		71B4	7,5		80A6	8,4		90LA8	8,4	1,6
1,1	71B2	6,3		80F4	5,4		80B6	8,0		100LB8	7,0	
1,5	80A2	4,2	2,0	80B4	5,8		90L6	6,4		100L8	7,0	
2,2	80B2	4,3		90L4	5,1	2,0	100L6	5,1	2,0	112M86	6,0	
3,0	90L2	4,3		100S4	4,4		112MA6	4,7		112M8	5,8	
4,0	100S2	3,3		100L4	4,7		112MB6	5,1		132S8	4,1	1,8
5,5	100L2	3,4		112M4	3,73		132S2	3,3		132M8	4,1	
7,5	112M2	2,5	1,6	132S4	,0		132M6	,7		160S8	2,5	
11,0	132M2	2,3		132M4	2,8		160S6	,7		160M8	2,5	1,4
15	160S2	2,1		160S4	2,3		160M6	2,6		180M8	2,5	
18,5	160M2	2,1		160M4	2,2		180M6	2,7		200M8	2,3	
22	180S2	2,0		180S4	2,0		200M6	2,82		200L8	2,7	
30	180M2	1,9	1,4	180M4	1,9	1,4	200L6	,1		225M8	1,8	
37	200M2	1,9		200M4	1,7		225M6	1,8		250S8	1,5	1,2
45	200L2	1,8		200L4	1,6		250S6	1,4	1,4	250M8	1,4	
55	225M2	1,8		225M4	1,4		250M6	1,3		208M8	2,2	
75	250S2	1,4		250S4	1,2		280S6	2,0		280S8	2,2	
90	250M2	1,4	1,2	250M4	1,3	1,2	280M6	2,0		280M8	2,0	
110	280S2	2,0		280S4	2,3		315S6			315S8	2,0	1,0

1.Quvvati 11 kVt, sinxron aylanishlari soni  $n=1500 \text{ min}^{-1}$  bo'lgan elektrosvigatelning shartli belgilanishi :

4A132M4UZ

2. Shartli belgida: 4-seriyaning tartib raqami, A- asinxron dvigatel, keyingi raqamlar- aylanish o'qining balandligi, L, S, M –stator uzunligining shartli belgisi. 2, 4, 6 va 8 – qutblar soni. So'nggi UZ belgisi - dvigatelning mo'tadil zona uchun mo'ljallanganini ko'rsatadi.

3.S%- rotoring sirpanishi foizlari.

$$4.n_{xaqiqiy} = n_{sin.xron} \left( \frac{100 - s\%}{100} \right) - \text{dvigatelning haqiqiy aylanishlari soni.}$$

Val tayanchlarida ta'sir etuvchi umumiy reaksiyalar aniqlanadi va ular bo'yicha podshipniklarning umrboqiyligi tekshiriladi.

Valning havfli kesimlari uchun ehtiyoitkorlik koeffisiyentlari aniqlanadi.

Eguvchi va burovchi momehtlarning qiymatlari asosida valning eng havfli kesimidagi eguvchi va burovchi kuchlanishlar, va ular asosida valning mustahkamligi aniqlanadi:

$$\sigma_{ekv} \leq 0,8 \sigma_{oquvchi}$$

Vallarning havfli kesimlari uchun ehtiyoitkorlik koeffisiyentlari hisoblanadi ([4] 356-bet) va mustahkamlikning ehtiyoitkorlik koeffisiyenti qiymati ruxsat etilganidan oshmasligi tekshiriladi.

## II BO'LIM

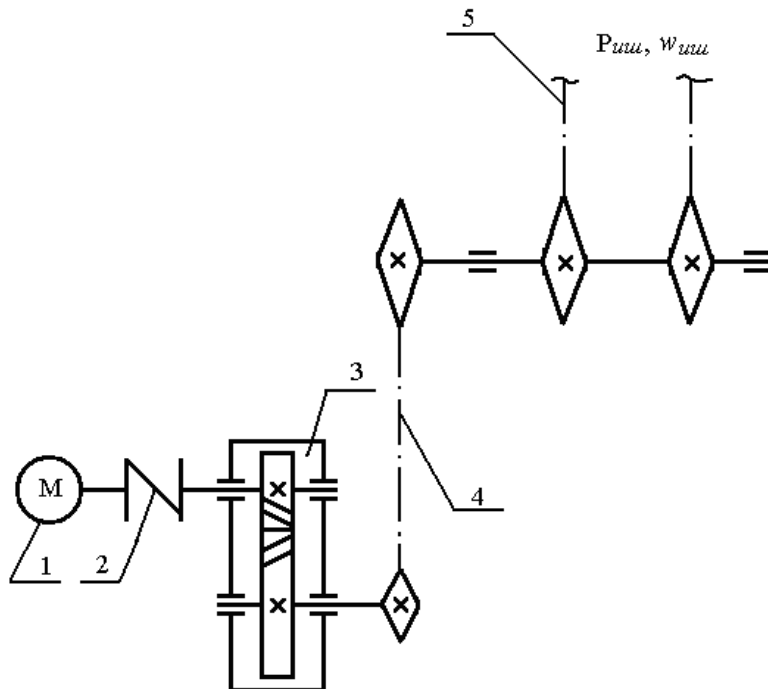
### YURITMALARNI LOYIHALASHGA DOIR MISOLLAR

#### 1-Misol

**II.1. Bir pog'onali qiya tishli silindrik reduktor va zanjirli uzatma bo'lgan zanjirli konveyer yuritmasini loyihalash.**

2.1-rasmda ko'rsatilgan zanjirli konveyer yuritmasi loyihalansin. Zanjirli konveyer validagi aylantiruvchi moment  $T_z = 3000 \text{ N}\cdot\text{m}$  va konveyer valining burchak tezligi  $\omega_z = 4 \text{ rad/s}$ .

$$L_h = 40 \cdot 10^3 \text{ soat.}$$



**2.1-rasm. Zanjirli konveyer yuritmasi:**

1-elektrodvigatel; 2- mufta; 3-bir pog'onali silindrik g'ildirakli reduktor; 4-zanjirli uzatma; 5-zanjirli konveyer.

## II.1.1. Elektr dvigatel tanlash va yuritmaning kinematik hisobi

1. Elektr dvigatelnинг талаб qilingan quvvati

$$P_T = \frac{P_\delta}{\eta_{ym}} = \frac{12}{0,87} = 13.8 \text{ kVt},$$

bu yerda:  $P_\delta$ -baraban validagi quvvat,

$$P_\delta = \frac{T \cdot \omega}{10^3} = \frac{3000 \cdot 4}{1000} = 12 \text{ kVt};$$

$\eta_{ym}$ -yuritmaning umumiy foydali ish koeffitsiyenti bo‘lib, quyi-dagi formula bo‘yicha aniqlanadi,

$$\eta_{ym} = \eta_1 \cdot \eta_2 \cdot \dots \cdot \eta_n^k.$$

Yuqoridagi sxema uchun

$$\eta_{ym} = \eta_1 \cdot \eta_2 \cdot \dots \cdot \eta_3^3.$$

bu yerda (1.1-jadval [4])dan:  $\eta_1$  - yopiq uzatma (reduktor)dagi silindrik tishli uzatmaning foydali ish koeffitsiyenti bo‘lib,  $\eta_1 = 0,98$ ;  $\eta_2$ -ochiq uzatma, ya‘ni zanjirli uzatmaning foydali ish koef-fitsiyenti,  $\eta_2 = 0,92$ ;  $\eta_3$  - bir juft dumalash podshipnigining foydali ish koeffitsiyenti,  $\eta_3 = 0,99$ ;  $k = 3$  – yuritmalagi podshipnik juftlari soni.

Shunda,

$$\eta_{ym} = \eta_1 \cdot \eta_2 \cdot \dots \cdot \eta_3^3 = 0,98 \cdot 0,92 \cdot 0,99^3 = 0,87.$$

2. Konveyer barabani valining aylanish takroriyligi,

$$n_\delta = \frac{30 \cdot \omega_\delta}{\pi} = \frac{30 \cdot 4}{\pi} = 38,22 \text{ ayl/min.}$$

3. Yuritmaning umumiy uzatish soni uning alohida pog‘onalari uzatishlari sonlarining ko‘paytmasi tarzida aniqlanadi:

$$u_{ym} = u_1 \cdot u_2 = 5 \cdot 3 = 15,$$

bu yerda:  $u_1 = 5$  - birinchi pog‘onadagi tishli uzatmaning uzatish soni,  $u_2 = 3$  - ikkinchi pog‘onadagi zanjirli uzatma uzatishlari soni.

Yuritmaning umumiy uzatishlar soni va ishchi mexanizm aylanishlar takroriyligi orqali dvigatel valining aylanishlar takroriyligini aniqlaymiz,

$$u_{ym} = \frac{n_{oe}}{n_o} \Rightarrow n_{oe} = n_o \cdot u_{ym} = 38,22 \cdot 15 = 573,3 \text{ ayl/min.}$$

Aniqlangan talab qilingan quvvat va dvigatel valining aylanishlar takroriyligi bo'yicha 17-jadvaldan quvvati  $P_{oe}=15,0 \text{ kVt}$ , nominal aylanishlar takroriyligi  $n_{oe} = 730 \text{ ayl/min}$  bo'lgan 4A180M8Y3 rusumli elektrodvigatel tanlaymiz.

Shunda,

$$u_{ym} = \frac{n_{oe}}{n_o} = \frac{730}{38,22} = 19,1$$

$$u_2 = \frac{u_{ym}}{u_1} = \frac{19,1}{5} = 3.82$$

Standart qatordan  $u_2 = 3,55$  deb qabul qilamiz.

4. Yuritma vallaridagi quvvat va burovchi moment, vallarning aylanishlar chastotasi va burchak tezliklarini hisoblaymiz:

a) birinchi -yetaklovchi val,

$$P_1 = P_m = 13,8 \text{ kVt},$$

$$n_1 = n_{oe} = 730 \text{ min}^{-1},$$

$$\omega_1 = \frac{\pi \cdot n_{oe}}{30} = \frac{3,14 \cdot 730}{30} = 76.41 \text{ rad}^{-1},$$

$$T_1 = 9550 \cdot \frac{P_1}{n_1} = 9550 \cdot \frac{13,8}{730} = 180,53 \cdot 10^3 \text{ Nmm.}$$

b) ikkinchi -yetaklanuvchi val,

$$P_2 = P_1 \cdot \eta_1 \cdot \eta_n = 13,8 \cdot 0,98 \cdot 0,99 = 13,4 \text{ kVt},$$

$$n_2 = \frac{n_1}{u_1} = \frac{730}{5} = 146 \text{ min}^{-1},$$

$$\omega_2 = \frac{\omega_1}{u_1} = \frac{76,41}{5} = 15,28 \text{ rad}^{-1},$$

$$T_2 = 9550 \cdot \frac{P_2}{n_2} = 9550 \cdot \frac{13,4}{146} = 876.51 \cdot 10^3 \text{ Nmm.}$$

### II.1.2. Reduktor tishli g'ildiraklarining hisobi

1. Shesternya va tishli g'ildirak uchun material tanlab, ular uchun ruxsat etilgan kuchlanishlarni aniqlaymiz.

Shesternya va tishli g'ildirak uchun 3.3-jadval [4] dan o'rtacha mexanik xarakteristikali material tanlaymiz. Bunda shesternya uchun termik ishlovi-yaxshilash, qattiqligi  $HB_1 = 230$ , tishli g'ildirak uchun termik ishlovi-yaxshilash, qattiqligi  $HB_2 = 200$  bo'lgan St45 markali po'lat tanlaymiz.

Ruxsat etilgan kontakt kuchlanish:

$$[\sigma_H] = \frac{\sigma_{H\limb} \cdot K_{HL}}{[S_H]},$$

bu yerda:  $\sigma_{H\limb}$  - sikllarning asosiy sonidagi kontakt mustahkamlik chegarasi,  $\sigma_{H\limb} = 2HB + 70$ ;  $K_{HL}$  - umrboqiylik koefitsiyenti, agar g'ildirak harqaysi tishining yuklanish sikllari soni asosiysidan yuqori bo'lsa,  $K_{HL} = 1$  deb qabul qilinadi;  $[S_H]$  - xavfsizlik koeffitsiyenti,  $[S_H] = 1,1$ .

Qiya tishli g'ildiraklar uchun ruxsat etilgan hisobiy kontakt kuchlanish quyidagi formula bo'yicha aniqlanadi,

$$[\sigma_H] = 0,45([\sigma_{H1}] + [\sigma_{H2}]),$$

shesternya uchun,

$$[\sigma_{H1}] = \frac{(2HB_1 + 70) \cdot K_{HL}}{[S_H]} = \frac{(2 \cdot 230 + 70) \cdot 1}{1,1} \approx 482 \text{ MPa};$$

tishli g'ildirak uchun,

$$[\sigma_{H2}] = \frac{(2HB_2 + 70) \cdot K_{HL}}{[S_H]} = \frac{(2 \cdot 200 + 70) \cdot 1}{1,1} \approx 427 \text{ MPa}.$$

Shunda ruxsat etilgan hisobiy kontakt kuchlanish:

$$[\sigma_H] = 0,45([\sigma_{H1}] + [\sigma_{H2}]) = 0,45 \cdot (482 + 427) \approx 409 \text{ MPa}.$$

Bajarilgan hisoblar quyidagi shartni qanoatlantirishi kerak,  
 $[\sigma_H] \leq 1,23 [\sigma_{H2}]$ .

Demak,  $409 \text{ MPa} \leq 525 \text{ MPa}$  yuqorida keltirilgan shart bajarilmoqda.

2. Tishlarning faol sirtlari kontakt mustahkamligi shartidan o‘qlararo masofani quyidagi formula bo‘yicha aniqlaymiz:

$$a_w = K_a (u + 1) \sqrt{\frac{T_2 K_{H\beta}}{[\sigma_H]^2 u^2 \psi_{ba}}},$$

bu yerda:  $K_a$  - yordamchi koefitsiyent, qiya tishli g‘ildiraklar uchun  $K_a = 43$ ;  $u = u_1 = 5$  - tishli uzatmaning uzatish soni;  $K_{H\beta}$  - tishli g‘ildiraklarning tayanchlarga nisbatan simmetrik joylashgani uchun  $K_{H\beta} = 1,15$  (3.1-jadval [4]);  $\psi_{ba}$ -tishli g‘ildirak gardishining kengligi koefitsiyenti,  $\psi_{ba} = 0,6$  deb qabul qilamiz (36 bet [4]).

Shunda,

$$a_w = 43 \cdot (5 + 1) \sqrt[3]{\frac{876,51 \cdot 10^3 \cdot 1,15}{409^2 \cdot 5^2 \cdot 0,6}} = 258 \cdot 0,74 = 190,92 \text{ mm.}$$

Standart bo‘yicha  $a_w = 200 \text{ mm}$  deb qabul qilamiz (36- bet [4]).

3. Tishli ilashmaning normal modulini quyidagi tavsiya bo‘yicha qabul qilamiz:

$$m_n = (0,01 \div 0,02) \cdot a_w = (0,01 \div 0,02) \cdot 200 = 2 \div 4 \text{ mm}$$

Standart bo‘yicha  $m_n = 3,5 \text{ mm}$  deb qabul qilamiz (36- bet [4]).

4. Dastlab tishlar qiyalik burchagini  $\beta = 10^\circ$  deb qabul qilamiz va shesternya hamda tishli g‘ildirak tishlar sonini aniqlaymiz:

$$z_1 = \frac{2a_w \cos \beta}{(u+1)m_n} = \frac{2 \cdot 200 \cdot \cos 10^\circ}{(5+1) \cdot 3,5} = \frac{400 \cdot 0,9848}{21} = 18,76$$

$z_1 = 18$  deb qabul qilamiz.

Shunda  $z_2 = z_1 u = 18 \cdot 5 = 90$ ,  $z_2 = 90$  bo‘ladi.

5. Tishlar qiyalik burchagining aniqlashtirilgan qiymati,

$$\cos \beta_1 = \frac{(z_1 + z_2) \cdot m_n}{2a_w} = \frac{(18+90) \cdot 3.5}{2 \cdot 200} = \frac{378}{400} = 0,945.$$

$$\beta = 19^\circ 10'$$

6. Shesternya va tishli g'ildirakning asosiy o'lchamlari:

- bo'luvchi diametrлари,

$$d_1 = \frac{m_n z_1}{\cos \beta} = \frac{3.5 \cdot 18}{0,945} = 67 \text{ mm},$$

$$d_2 = \frac{m_n z_2}{\cos \beta} = \frac{3.5 \cdot 90}{0,945} = 333 \text{ mm}.$$

$$\text{Tekshiruv: } a_{wcek} = \frac{d_3 + d_4}{2} = \frac{67 + 333}{2} = 200 \text{ mm};$$

- tashqi aylanalar diametri,

$$d_{a1} = d_1 + 2m_n = 67 + 2 \cdot 3.5 = 74 \text{ mm},$$

$$d_{a2} = d_2 + 2m_n = 333 + 2 \cdot 3.5 = 340 \text{ mm}.$$

- Tishli g'ildirak eni,

$$b_2 = \psi_{ba} a_w = 0,6 \cdot 200 = 120 \text{ mm}.$$

- Shesternyaning eni,

$$b_1 = b_2 + 5 = 120 + 5 = 125 \text{ mm}.$$

- Shesternya enining diametr koeffitsiyentini aniqlaymiz,

$$\psi_{bd} = \frac{b_1}{d_1} = \frac{125}{67} = 1,86.$$

Tezyurar pog'ona tishli g'ildiraklarining aylanma tezligi,

$$v = \frac{\omega_1 d_1}{2} = \frac{76,41 \cdot 67}{2 \cdot 10^3} = 2,56 \text{ m/s}.$$

$V=2,56 \text{ m/s}$  da to'g'ri tishli g'ildiraklar aniqlik darajasini 8 deb qabul qilamiz (32-bet [4]).

7. Yuklanish koeffitsiyenti,

$$K_H = K_{H\beta} K_{H\alpha} K_{H\nu},$$

bu yerda:  $K_{H\alpha}$  - yuklamaning tishlararo taqsimlanishini hisobga oluvchi koeffitsiyent, aylanma tezligi  $v=10 \text{ m/s}$  gacha va aniqlik darajasi 8 bo'lgan qiya tishli g'ildiraklar uchun  $K_{H\alpha} = 1,05 \div 1,15$  che-

garasida olish tavsiya etiladi,  $K_{H\alpha} = 1,15$  deb qabul qilamiz;  $K_{H\beta}$  - tishli g'ildirak gardishi bo'yicha yuklamaning notejis taqsimlanishini hisobga oluvchi koeffitsiyent,  $K_{H\beta} = 1,15$ ;  $K_{H\nu}$  -tishli g'ildiraklar aylanma tezligi  $v$  va ularning tayyorlanishdagi aniqlik darajasiga bog'liqlikda aniqlanuvchi dinamik koeffitsiyent, aylanma tezligi  $v=10$  m/s gacha va aniqlik darajasi 8 bo'lgan qiya tishli g'ildiraklar uchun  $K_{H\nu} = 1,0 \div 1,05$  chegarasida olish tavsiya etiladi,  $K_{H\nu} = 1,05$  deb qabul qilamiz (32 bet [4]).

Shunda,

$$K_H = K_{H\beta} K_{H\alpha} K_{H\nu} = 1,15 \cdot 1,15 \cdot 1,05 = 1,4.$$

8. Kontakt kuchlanishni quyidagi formula bo'yicha tekshiramiz:

$$\sigma_H = \frac{270}{a_w} \sqrt{\frac{T_2 K_H (u+1)^3}{b_2 u^2}} = \frac{270}{200} \sqrt{\frac{876,51 \cdot 10^3 \cdot 1,4 \cdot (5+1)^3}{120 \cdot 5^2}} = 1,35 \cdot 297,24 = 401,27 \text{ MPa}$$

$$\sigma_H < [\sigma_H].$$

$$401,27 \text{ MPa} < 409 \text{ MPa}.$$

9. Tishli ilashmaga ta'sir etuvchi kuchlar:

- aylanma kuch,

$$F_t = \frac{2T_1}{d_1} = \frac{2 \cdot 180,53 \cdot 10^3}{67} = 5389 \text{ N};$$

- radial kuch,

$$F_r = F_t \frac{\tg \alpha}{\cos \beta} = 5389 \cdot \frac{\tg 20^\circ}{\cos 19^\circ 10'} = 5389 \cdot \frac{0,3640}{0,945} = 2076 \text{ N};$$

- bo'ylama kuch,

$$F_a = F_t \tg \beta = 5389 \cdot \tg 19^\circ 10' = 5389 \cdot 0,945 = 5093 \text{ N}.$$

10. Tishlarni egilishdagi kuchlanish bo'yicha mustahkamlikka tekshiramiz:

$$\sigma_F = \frac{F_t K_F Y_F Y_\beta K_{F\alpha}}{b m_n} \leq [\sigma_F].$$

bu yerda:  $K_F = K_{F\beta} K_{F\nu}$  -yuklanish koeffitsiyenti,  $K_{F\beta} = 1,18$  - tish uzunligi bo'yicha yuklamaning notejis taqsimlanishini hisobga

olvchi koeffitsiyent,  $K_{Fv} = 1,25$  -yuklamaning dinamik ta'sirini hisobga oluvchi koeffitsiyent (3.7-, 3.8-jadvallar [4]). Shunda,  $K_F = 1,18 \cdot 1,25 = 1,5$ ;  $Y_\beta$  - tishning qiyaligini e'tiborga oluvchi koeffitsiyent;  $Y_{F\alpha}$  - yuklamaning tishlararo notekis taqsimlanishini hisobga oluvchi koeffitsiyent;  $Y_F$  -tish shaklining koeffitsiyenti, ekvivalent tishlar soni  $z_v$  ga bog'liq ravishda 2-jadval 15-betdan yoki (42- bet [4])dan olinadi:

- shesternya uchun

$$z_{v1} = \frac{z_1}{\cos^3 \beta} = \frac{18}{0,945^3} = \frac{18}{0,8439} = 21.33; Y_{F1} = 4,05,$$

- tishli g'ildirak uchun

$$z_{v2} = \frac{z_2}{\cos^3 \beta} = \frac{90}{0,945^3} = \frac{90}{0,8439} = 106.65; Y_{F2} = 3,60.$$

Ruxsat etilgan kuchlanish,

$$[\sigma_F] = \frac{\sigma_{F\limb}^0}{[S_F]},$$

bu yerda:  $[S_F]$  -xavfsizlik koeffitsiyenti,  $[S_F] = [S_F]' \cdot [S_F]'' = 1,75 \cdot 1 = 1,75$ ,  $[S_F]' = 1,75$ -tishli g'ildiraklar materiali sifatining nobarqarorligini hisobga oluvchi koeffitsiyent (3.9-jadval [4]),  $[S_F]'' = 1$ -tishli g'ildirak materialining olinish usullarini hisobga oluvchi koeffitsiyent (44 bet [4]);  $\sigma_{F\limb}^0$  - asos sifatida qabul qilin-gan sikllar soniga mos keluvchi mustahkamlilik chegarasi (3.9-jadval [4]),

- shesternya uchun,

$$\sigma_{F\limb}^0 = 1,8HB_1 = 1,8 \cdot 230 = 414 \text{ MPa},$$

- tishli g'ildirak uchun,

$$\sigma_{F\limb}^0 = 1,8HB_2 = 1,8 \cdot 200 = 360 \text{ MPa}.$$

Shunda, ruxsat etilgan kuchlanish quyidagicha:

- shesternya uchun,

$$[\sigma_{F1}] = \frac{414}{1,75} = 237 \text{ MPa},$$

- tishli g'ildirak uchun,

$$[\sigma_{F4}] = \frac{360}{1,75} = 206 \text{ MPa}.$$

Shesternya va tishli g'ildirak uchun ruxsat etilgan kuchlanishning tishlar shakli koeffitsiyentiga nisbati  $\frac{[\sigma_F]}{Y_F}$  ni hisoblaymiz:

- shesternya uchun,

$$\frac{[\sigma_{F1}]}{Y_{F1}} = \frac{237}{4,05} = 58,52 \text{ MPa},$$

- tishli g'ildirak uchun,

$$\frac{[\sigma_{F4}]}{Y_{F4}} = \frac{206}{3,60} = 57,2 \text{ MPa}.$$

Keyingi hisoblash ishlarini yuqoridagi munosabatning kichik qiymatdagisi, ya'ni tishli g'ildirak uchun davom ettiramiz.

$Y_\beta$  va  $Y_{F\alpha}$  koeffitsiyentlarni aniqlaymiz (46 va 47 betlar [4]):

$$Y_\beta = 1 - \frac{\beta^\circ}{140} = 1 - \frac{19^\circ 10'}{140} = 0,86;$$

$$K_{F\alpha} = \frac{4 + (\varepsilon_\alpha - 1)(n - 5)}{4\varepsilon_\alpha} = \frac{4 + (1,5 - 1) \cdot (8 - 5)}{4 \cdot 1,5} = \frac{5,5}{6} = 0,92$$

bu yerda:  $\varepsilon_\alpha$  -yon qoplanish koeffitsiyenti,  $\varepsilon_\alpha = 1,5$ ;  $n=8$  - tishli g'ildirak taylorlanishining aniqlik darajasi.

Tishli g'ildirak tishining mustahkamligini tekshiramiz:

$$\sigma_{F2} = \frac{F_t K_F Y_{F2} Y_\beta K_{F\alpha}}{b_2 m_n} \leq [\sigma_{F2}];$$

$$\sigma_{F2} = \frac{5389 \cdot 1,5 \cdot 3,60 \cdot 0,86 \cdot 0,92}{120 \cdot 3,5} = 54,91 \text{ MPa} < [\sigma_{F2}] = 206 \text{ MPa}.$$

Mustahkamlik sharti bajarilmoqda.

### II.1.3. Reduktor vallarining dastlabki hisobi

Vallarning eng kichik diametrini faqat burovchi moment ta'sir etish holati uchun aniqlab, ularning shesternya, tishli g'ildirak va podshipnik osti diametrlarini aniqlab eskizini chizamiz.

1. Ruxsat etilgan kesuvchi (tangensial) kuchlanish qiymati  $[\tau_\delta] = 25 \text{ MPa}$  bo'lganda yetaklovchi valning eng kichik diametri quyidagicha aniqlanadi:

$$d_{\delta 1} = \sqrt[3]{\frac{16T_1}{\pi [\tau_\delta]}} = \sqrt[3]{\frac{16 \cdot 180,53 \cdot 10^3}{3,14 \cdot 25}} = \sqrt[3]{\frac{2888,48 \cdot 10^3}{78,5}} = 33,26 \text{ mm.}$$

Val diametrini  $d_{\delta 1} = d_{\delta 6} = 48 \text{ mm}$  olamiz. Bunda jadval (P2 [4]) dan tanlangan dvigatel valining diametri  $d_{\delta 6} = 48 \text{ mm}$  ekanligi hisobga olingan.

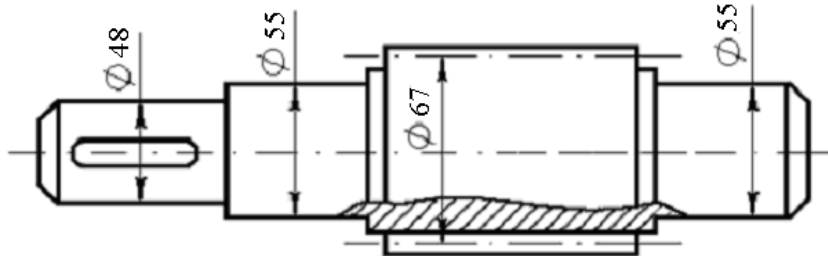
Podshipnik osti bo'ynining diametri  $d_{n1} = 55 \text{ mm}$ . Shesternya val bilan birgalikda tayyorlanadi deb olamiz. Bo'rtiq diametri  $d_{\delta 1} = 60 \text{ mm}$  (2.2-rasm).

2. Zanjir tarangligining valning egilishiga ta'sirini hisobga olib,  $[\tau_\delta] = 20 \text{ MPa}$  deb qabul qilamiz.

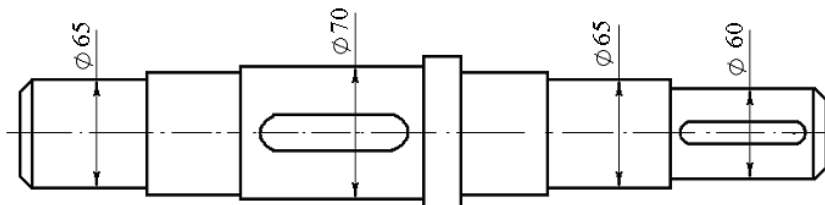
Yetaklanuvchi valning eng kichik diametri :

$$d_{\delta 2} = \sqrt[3]{\frac{16T_2}{\pi [\tau_\delta]}} = \sqrt[3]{\frac{16 \cdot 876,51 \cdot 10^3}{3,14 \cdot 20}} = 60,67 \text{ mm.}$$

Val diametrini  $d_{\delta 2} = 60 \text{ mm}$ , podshipnik osti bo'ynining diametrini  $d_{n2} = 65 \text{ mm}$  va tishli g'ildirak osti diametrini  $d_{\kappa 2} = 70 \text{ mm}$  deb qabul qilamiz. Bo'rtiq diametri  $d_{\delta 2} = 75 \text{ mm}$  (2.3-rasm).



2.2-rasm. Yetaklovchi valning eskiz chizmasi



2.3-rasm. yetaklanuvchi valning eskiz chizmasi

#### II.1.4. Shesternyalar va tishli g'ildiraklarning konstruktiv o'lchamlari

Shesternya -  $d_1 = 67$  mm,  $d_{a1} = 74$  mm,  $b_1 = 125$  mm.

tishli g'ildirak -  $d_2 = 333$  mm,  $d_{a2} = 340$  mm,  $b_2 = 120$  mm.

Shesternyani gupchaksiz tayyorlaymiz.

Tishli g'ildirak gupchagining diametri va uzunligi:

$$d_{syn} = 1,6d_{\kappa 2} = 1,6 \cdot 70 = 112 \text{ mm};$$

$$l_{syn} = (1,2 \div 1,5)d_{\kappa 2} = (1,2 \div 1,5) \cdot 70 = 84 \div 105 \text{ mm},$$

gupchak uzunligini  $l_{syn} = 90$  mm deb qabul qilamiz.

Tishli g'ildirak gardishining qalinligini  
 $\delta_0 = (2,5 \div 4)m_n = (2,5 \div 4) \cdot 3,5 = 8,75 \div 14 \text{ mm}$ ,  $\delta_0 = 12 \text{ mm}$  deb qabul qilamiz.

Disk qalinligi  $C = 0,3b_2 = 0,3 \cdot 120 = 36 \text{ mm}$ .

### **II.1.5. Reduktor korpusining konstruktiv o‘lchamlari (11-rasm).**

Korpus va qopqoqning qalinligi:

$\delta = 0,025a_w + 1 = 0,025 \cdot 200 + 1 = 6$  mm,  $\delta = 8$  mm deb qabul qilamiz;  $\delta_1 = 0,02a_w + 1 = 0,02 \cdot 200 + 1 = 5$  mm,  $\delta_1 = 8$  mm deb qabul qilamiz. Bunda korpus quymakorlik yo‘li bilan tayyorlanganda devorning eng kichik qalinligi 8 mm dan kam bo‘lmasligi e‘tiborga olingan .

Korpus va qopqoq belbog‘lari flaneslarining qalinligi:

korpusning yuqori belbog‘i va qopqoq belbog‘i,

$$b = 1,5\delta = 1,5 \cdot 8 = 12 \text{ mm}; b_1 = 1,5\delta_1 = 1,5 \cdot 8 = 12 \text{ mm};$$

korpusning quyisi belbog‘i,

$$p = 2,35\delta = 2,35 \cdot 8 = 19 \text{ mm}; p = 20 \text{ mm deb qabul qilamiz}.$$

Boltlar diametri:

poydevor boltlari,

$$d_1 = (0,03 \div 0,036)a_w + 12 = (0,03 \div 0,036) \cdot 200 + 12 = 18 \div 19,2 \text{ mm};$$

M20 rezbali boltni qabul qilamiz;

podshipnik qopqoq‘ini korpusga mahkamlovchi boltlar,

$d_2 = (0,7 \div 0,75)d_1 = (0,7 \div 0,75) \cdot 20 = 14 \div 15 \text{ mm};$  M16 rezbali boltni qabul qilamiz;

qopqoqni korpusga biriktiruvchi boltlar,

$d_3 = (0,5 \div 0,6)d_1 = (0,5 \div 0,6) \cdot 20 = 10 \div 12 \text{ mm};$  M12 rezbali boltni qabul qilamiz (10.2-jadval [4]).

### **II.1.6. Zanjirli uzatma parametrlarining hisobi**

Bir qatorli rolikli zanjirni tanlaymiz ([4] 7.15-jadval).

1. Yetakchi yulduzchadagi burovchi moment,

$$T_{rot} = T_2 = 876,51 \cdot 10^3 \text{ N}\cdot\text{mm}.$$

Zanjirli uzatmaning uzatish soni  $u_{zan}=3,55$  deb qabul qilingan.

2. Tishlar soni:

yetaklovchi yulduzchaniki,

$$z_3 = 31 - 2u_{\text{зан}} = 31 - 2 \cdot 3,55 \approx 24;$$

yetaklanuvchi yulduzchaniki. Umuman olganda, yulduzchalar tishlari soni toq, zanjir zvenolari soni juft bo‘lishi tavsiya qilinadi.

$$z_4 = z_3 u_{\text{зан}} = 24 \cdot 3,55 = 85.$$

$$z_3 = 24 \text{ va } z_4 = 85 \text{ deb qabul qilamiz.}$$

Shunda,

$$u_{\text{зан}}^1 = \frac{z_4}{z_3} = \frac{85}{24} = 3,54.$$

Farq:

$$\Delta = \frac{u_{\text{зан}} - u_{\text{зан}}^1}{u_{\text{зан}}} \cdot 100\% = \frac{3,55 - 3,54}{3,55} \cdot 100\% = 0,3\% \leq 3\% \text{ bu ruxsat}$$

etiladi.

3. Yuklamaning hisobiy koeffitsiyenti,

$$K_{\text{yuk}} = k_d k_a k_n k_r k_{sm} k_p ,$$

bu yerda,  $k_d=1$  ravon yuklanishdagi dinamikaviy koeffitsiyent;

$k_a=1$  o‘qlararo masofa koeffitsiyenti;

$k_n=1$  uzatmaning gorizontga qiyalik burchagining koeffitsiyenti;

$k_r=1,25$  zanjir tarangligini davriy ravishda rostlash koeffitsiyenti;

$k_{sm}=1$  uzlusiz moylash koeffitsiyenti;

$k_p=1$  smenali ishlash koeffitsiyenti; bir smenali ish davomiyligini hisobga oladi.

Shunda,

$$K_{\text{yuk}} = 1 \cdot 1 \cdot 1 \cdot 1,25 \cdot 1 \cdot 1 = 1,25 .$$

4. Zanjir qadamini aniqlash uchun zanjir bo‘g‘inlaridagi ruxsat etilgan bosim  $[p]$ ni bilish kerak. 7.18 [4] -jadvalda zanjir qadami  $t$  va yetakchi yulduzcha aylanishlar chastotasiga bog‘liqlikda ruxsat etilgan bosim  $[p]$  berilgan.  $n \approx 200 \text{ min}^{-1}$  da ruxsat etilgan bosim  $[p]=22 \text{ MPa}$ .

Bir qatorli ( $m = 1$ ) zanjirning qadami

$$t \geq 2,8 \sqrt[3]{\frac{T_{\text{иол}} K_{\text{зан}}}{z_3 [p]}} = 2,8 \sqrt[3]{\frac{876,51 \cdot 10^3 \cdot 1,25}{24 \cdot 22}} = 2,8 \cdot 12,75 = 35,7 \text{ mm.}$$

7.15 [4] -jadvaldan PR-38,1-127,0 zanjirni tanlaymiz, zanjir qadami  $t=38,1$  mm; uzib yuboruvchi yuklama  $Q \approx 127,0$  kN; massasi  $q=5,5$  kg/m;  $A_{op}=394$  mm<sup>2</sup>.

5. Zanjirning tezligi,

$$v = \frac{z_3 t n_2}{60 \cdot 10^3} = \frac{24 \cdot 38,1 \cdot 146}{60 \cdot 10^3} = 2,23 \text{ m/s.}$$

6. Aylanma kuch,

$$F_{\text{в}} = \frac{P_2}{v} = \frac{T_2 \omega_2}{v} = \frac{876,51 \cdot 15,28}{2,23} = 6006 \text{ N.}$$

7. Bo‘g‘indagi bosimni tekshiramiz,

$$p = \frac{F_b K_s}{A_{on}} = \frac{6006 \cdot 1,25}{394} = 19 \text{ MPa.}$$

7.18 [4]-jadval bo‘yicha ruxsat etilgan bosimni aniqlaymiz:

$$[p] = 19 [1 + 0,01(z_3 - 17)] = 19 [1 + 0,01(24 - 17)] = 20,33 \text{ MPa.}$$

$p < [p]$  sharti bajarildi.

8. Zanjir zvenolari sonini aniqlaymiz,

$$L_t = 2a_t + 0,5z_{\Sigma} + \frac{\Delta^2}{a_t},$$

bu yerda,

$$a_t = \frac{a}{t} = 50 \text{ ([4] 148 bet);}$$

$$z_{\Sigma} = z_3 + z_4 = 24 + 85 = 109;$$

$$\Delta = \frac{z_4 - z_3}{2\pi} = \frac{85 - 24}{2 \cdot 3,14} = 9,7.$$

Shunda,

$$L_t = 2 \cdot 50 + 0,5 \cdot 109 + \frac{9,7^2}{50} = 154,5 + 1,9 = 156,4.$$

$L_t = 156$  deb qabul qilamiz.

9. Zanjirli uzatmaning o‘qlararo masofasini aniqlaymiz,

$$a_{zan} = 0,25t \left[ L_t - 0,5z_{\Sigma} + \sqrt{(L_t - 0,5z_{\Sigma})^2 - 8\Delta^2} \right] = 0,25 \cdot 38,1 \cdot$$

$$\begin{aligned} & \cdot \left[ 156 - 0,5 \cdot 109 + \sqrt{(156 - 0,5 \cdot 109)^2 - 8 \cdot 9,7^2} \right] = \\ & = 9,53 \cdot \left[ 101,5 + \sqrt{9549,53} \right] \approx 1898 \text{ mm}. \end{aligned}$$

Zanjirning erkin salqiligini ta'minlash uchun o'qlararo masofani 0,4 % ga kamaytiramiz, ya'ni  $1898 - 1898 \cdot 0,004 \approx 1898 - 7,592 = 1890,4$  mm.

10. Yulduzchalarining bo'luvchi aylanalari diametrlarini aniqlaymiz,

$$d_{o3} = \frac{t}{\sin \frac{180}{z_3}} = \frac{38,1}{\sin \frac{180}{24}} = 292 \text{ mm};$$

$$d_{o4} = \frac{t}{\sin \frac{180}{z_4}} = \frac{38,1}{\sin \frac{180}{85}} = 1031 \text{ mm}.$$

11. Yulduzchalarining tashqi aylanalari diametrini aniqlaymiz,

$$D_{e3} = t \left( \operatorname{ctg} \frac{180}{z_3} + 0,7 \right) - 0,3d_1 = t \left( \operatorname{ctg} \frac{180}{z_3} + 0,7 \right) - 3,57,$$

bu yerda,  $d_1 = 22,23$  -zanjir roligining diametri ( 7.15 [4] -jadval);

$$D_{e3} = 38,1 \cdot \left( \operatorname{ctg} \frac{180}{24} + 0,7 \right) - 0,3 \cdot 22,23 = 333,299 - 6,669 = 327 \text{ mm};$$

$$D_{e4} = 38,1 \cdot \left( \operatorname{ctg} \frac{180}{85} + 0,7 \right) - 0,3 \cdot 22,23 = 1018,413 - 6,669 = 1012 \text{ mm}$$

12. Zanjirli uzatmadagi kuchlar:

- aylanma kuch,  $F_{t3} = 6006 \text{ N}$ ;

- markazdan qochma kuch,  $F_v = qv^2 = 5,5 \cdot 2,23^2 \approx 27 \text{ N}$ ,

bu yerda  $q=5,5 \text{ kg/m}$  (7.15 [4] -jadval);

-zanjir salqiligidan hosil bo‘ladigan kuch,  
 $F_f = 9,81k_f qa_{\text{zah}} = 9,81 \cdot 1,5 \cdot 5,5 \cdot 7.592 = 614$  N, bu yerda uzatmaning gorizontga qiyalik burchagi  $45^\circ$  bo‘lganda  $k_f = 1,5$  (15.1[4] bet).

13. Valdag'i hisobiy yuklama,

$$F_e = F_{t_3} + 2F_f = 6006 + 2 \cdot 614 = 7234 \text{ N.}$$

14. Zanjirning ehtiyyotkorlik koefitsiyentini aniqlaymiz,

$$s = \frac{Q}{F_{t_3} k_d + F_v + F_f} = \frac{127 \cdot 10^3}{6006 \cdot 1 + 27 + 614} = 19.$$

Bu qiymat ruxsat etilgan ehtiyyotkorlik koefitsiyenti  $[s] \approx 9,8$  dan (7.19 [4] -jadval) katta va  $s > [s]$  shart bajarilmoqda,  $19 > 9,8$ .

15. Yetakchi yulduzcha o‘lchamlari:

Yulduzcha gupchagi diametri,  $d_{cyn} = 1,6d_{\sigma 2} = 1,6 \cdot 60 = 96$  mm;  
 gupchak uzunligi,  $l_{cyn} = (1,2 \div 1,6)d_{\sigma 2} = (1,2 \div 1,6) \cdot 60 = 72 \div 96$  mm,

$$l_{cyn} = 85 \text{ mm deb qabul qilamiz};$$

Yulduzcha diskni qalinligi,  $0,93 B_{ich} = 0,93 \cdot 25,4 = 24$  mm,  
 bu yerda  $B_{ich}$ -zanjir ichki zvenosi plastinalari orasidagi masofa  
 (7.15-jadval [4]).

## **II.1.7. Reduktor detallarini joylashtirishning birinchi bosqichi**

Reduktor detallarini joylashtirish ikki bosqichda olib boriladi. Birinchi bosqich shesternya va tishli g‘ildirakning tayanchlarga nisbatan taxminiy joylashishini aniqlash uchun xizmat qiladi. Keyinchalik bundan tayanch reaksiyalarini aniqlash, tanlangan podshipnikning ish muddatini aniqlash, eguvchi va burovchi moment epyuralarini qurish va ular asosida vallarning ehtiyyotkorlik koefitsiyentlarini aniqlashda foydalaniлади.

Komponovka chizmasini bitta proeksiyada 1:1 masshtabda milimetrovka qog‘oziga chizamiz.

Qog'oz markazida gorizontal o'q chiziq chizamiz; keyin ikkala val o'q chiziqlarini markazlararo masofa bo'yicha vertikal holatda chizib olamiz.

Shesternya va tishli g'ildiraklarni sodda qilib, to'rtburchak ko'rinishida chizib olamiz.

Korpusning ichki devorini chizib olamiz:

a) shesternya yoni va korpusning ichki devori orasidagi oraliqni  $A_1 = 1,2\delta$  deb qabul qilamiz; agar gupchak bo'lsa, oraliq gupchak yonidan o'lchanadi;

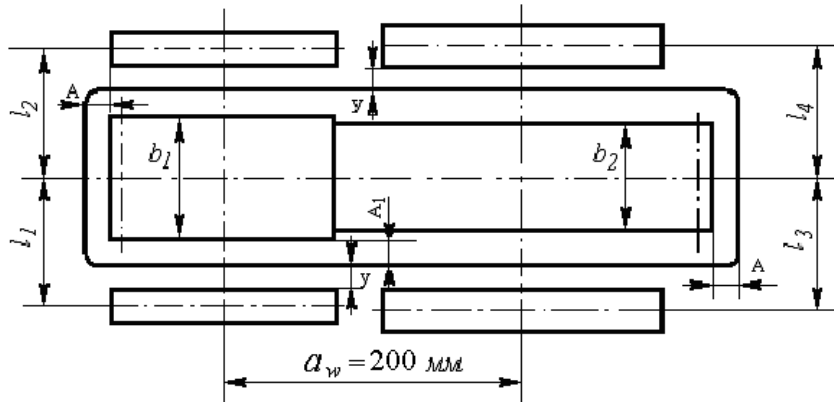
b) tishli g'ildirak tashqi aylanasidan korpus ichki devorigacha bo'lgan oraliqni  $A = \delta$  deb qabul qilamiz;

d) yetakchi val podshipnigi tashqi halqasi va korpusning ichki devori orasidagi oraliqni  $A = \delta$  deb qabul qilamiz; agar shesternya tashqi aylanasi diametri podshipnik tashqi diametridan katta bo'lsa, A oraliq shesternyadan boshlab olinadi.

Yetaklovchi va yetaklanuvchi vallar uchun o'rta seriyali bir qatorli zo'ldirli radial podshipniklar tanlab olamiz.

t/r	Val	Podshipnikning shartli belgilanishi	d	D	B	Yuk ko'taruvchanligi	
			O'lchamlari, mm			C, kN	C <sub>0</sub> , kN
1	Yetaklovchi val	311	55	120	29	71,5	41,5
2	Yetaklanuvchi val	313	65	140	33	92,3	56,0

Ushbu joylashtirish chizmasi (II.3-rasm)dan kerakli o'lchamlarni o'lchab olamiz. Shunda  $l_1 = l_2 = 97$  mm  $l_3 = l_4 = 99$  mm.



2.3-rasm. Reduktor detallarini joylashtirshning birinchi bosqichi.

### II.1.8. Podshipnik umrboqiyligini tekshirish

**Yetaklovchi val** (II.5-rasm). Yuqoridagi hisob-kitoblardan quyidagilar ma'lum:

$$F_t = 5389 \text{ N}; F_r = 2076 \text{ N}; F_a = 5093 \text{ N}; \\ d_1 = 67 \text{ mm}; l_1 = l_2 = 97 \text{ mm}.$$

Tayanchlardagi reaksiya kuchlarini aniqlaymiz:  
XOZ gorizontal tekisligida,

$$\sum m_{1y} = 0; -R_{x2}(l_1 + l_2) - F_t \cdot l_1 = 0 \\ R_{x2} = \frac{-F_t \cdot l_1}{l_1 + l_2} = \frac{-5389 \cdot 97}{97 + 97} = -2694.5 \text{ N}; \\ \sum m_{2y} = 0; R_{x1}(l_1 + l_2) + F_t \cdot l_2 = 0 \\ R_{x1} = \frac{-F_t \cdot l_2}{l_1 + l_2} = \frac{-5389 \cdot 97}{97 + 97} = -2694.5 \text{ N};$$

Tekshiruv:

$$R_{x1} + R_{x2} + F_t = 0 \\ -2694,5 - 2694,5 + 5389 = 0.$$

*YOZ* vertikal tekisligida,

$$\sum m_{1x} = 0; R_{y2}(l_1 + l_2) + F_r \cdot l_1 - F_a \cdot \frac{d_1}{2} = 0$$

$$R_{y2} = \frac{F_a \cdot \frac{d_1}{2} - F_r \cdot l_1}{l_1 + l_2} = \frac{5093 \cdot \frac{67}{2} - 2076 \cdot 97}{97 + 97} = -158,5 \text{ N};$$

$$\sum m_{2x} = 0; -R_{y1}(l_1 + l_2) - F_r \cdot l_2 - F_a \cdot \frac{d_1}{2} = 0$$

$$R_{y1} = \frac{-F_a \cdot \frac{d_1}{2} - F_r \cdot l_2}{l_1 + l_2} = \frac{-5093 \cdot \frac{67}{2} - 2076 \cdot 97}{97 + 97} = -1917,5 \text{ N};$$

Tekshiruv:

$$\begin{aligned} R_{y1} + R_{y2} + F_r &= 0 \\ -158,5 - 1917,5 + 2076 &= 0. \end{aligned}$$

Eguvchi momentlarni aniqlaymiz va epyuralarini quramiz:  
*OX* o‘qiga nisbatan,

I uchastka  $0 \leq z \leq l_1$

$$\sum m_x = 0; -M_x + R_{y2} \cdot z = 0$$

$$M_x = R_{y2} \cdot z = -158,5 \cdot z;$$

$$M_{x1=0} = 0; M_{x2=l_1} = -158,5 \cdot 97 = -15374,5 \text{ Hm} \Rightarrow -15,37 \text{ Hm}.$$

II uchastka  $0 \leq z \leq l_1$

$$\sum m_x = 0; M_x + R_{y1} \cdot z = 0$$

$$M_x = -R_{y1} \cdot z = 1917,5 \cdot z;$$

$$M_{x1=0} = 0; M_{x2=l_1} = 1917,5 \cdot 97 = 185997,5 \text{ Hm} \Rightarrow 186 \text{ Hm}.$$

*OY* o‘qiga nisbatan,

I uchastka  $0 \leq z \leq l_2$

$$\sum m_y = 0; M_y + R_{x2} \cdot z = 0$$

$$M_y = -R_{x2} \cdot z = 2694,5 \cdot z;$$

$$M_{y=0} = 0; M_{y=I_1} = 2694,5 \cdot 97 = 261366,5 \text{ Hm} \Rightarrow 261,37 \text{ Hm}.$$

$$\begin{aligned} &\text{II uchastka } 0 \leq z \leq I_1 \\ &\sum m_y = 0; M_y + R_{x1} \cdot z = 0 \end{aligned}$$

$$M_y = -R_{x1} \cdot z = 2694,5 \cdot z;$$

$$M_{y=0} = 0; M_{y=I_1} = 2694,5 \cdot 97 = 261366,5 \text{ Hm} \Rightarrow 261,37 \text{ Hm}.$$

Natijaviy reaksiya kuchlari:

$$\begin{aligned} P_{r1} &= \sqrt{R_{x1}^2 + R_{y1}^2} = \sqrt{(-2694,5)^2 + (-1917,5)^2} = \sqrt{10937136,5} = 3307 \text{ N}; \\ P_{r2} &= \sqrt{R_{x2}^2 + R_{y2}^2} = \sqrt{(-2694,5)^2 + (-158,5)^2} = \sqrt{7285452,5} = 2699 \text{ N}. \end{aligned}$$

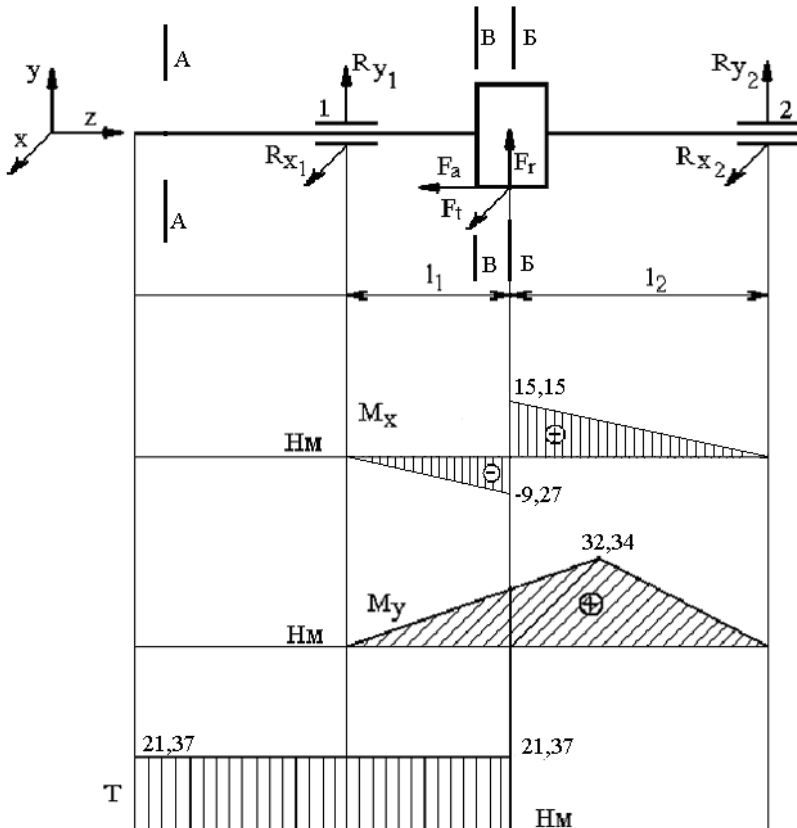
Demak, birinchi tayanchdagi podshipnik ko'proq yuklangani uchun ushbu podshipnikning umrboqiyligini hisoblaymiz.

Podshipnik gabarit o'lchamlari: №311, d=55 mm; D=120 mm; B=29 mm; C=71,5 kN; C<sub>0</sub>=41,5 kN.

Ekvivalent yuklama:

$$P_s = (XVP_{r1} + YP_a)K_X K_T,$$

bu yerda:  $P_{r1} = 3307$  N-radial yuklama;  $P_a = F_a = 5093$  N-bo'ylama yuklama; V-podshipnik ichki va tashqi halqasining aylanishini hisobga oluvchi koeffitsiyent, ichki halqa aylanganda  $V=1$ , tashqi halqa aylanganda  $V=1,2$  olinadi, ushbu holatda  $V=1$ , ya'ni podshipnik ichki halqasi aylanadi;  $K_X = 1$ -lentali konveyer yuritmasi uchun havftsizlik koeffitsiyenti;  $K_T = 1$ -harorat koeffitsiyenti.



2.4-rasm. Yetaklovchi valni hisoblash sxemasi.

$$\text{Munosabat } \frac{F_a}{C_0} = \frac{5093}{41500} = 0,12; \text{ bu qiymat 9.18-jadval [4]}$$

bo'yicha  $e \approx 0,30$  ga mos keladi.

$$\text{Munosabat } \frac{P_a}{P_{r1}} = \frac{5093}{3307} = 1,5 > e; X=0,56 \text{ va } Y=1,45.$$

$$P_s = (0,56 \cdot 1 \cdot 3307 + 1,45 \cdot 5093) \cdot 1 \cdot 1 = 9237 \text{ N.}$$

Hisobiy umrboqiylik, million ayl.

$$L = \left( \frac{C}{P_s} \right)^3 = \left( \frac{71,5 \cdot 10^3}{9237} \right)^3 \approx 464 \text{ mln.ayl.}$$

Hisobiy umrboqiylik, soat.

$$L_h = \frac{L \cdot 10^6}{60 \cdot n_1} = \frac{464 \cdot 10^6}{60 \cdot 730} \approx 10.6 \cdot 10^3 \text{ soat.}$$

**Yetaklanuvchi val** (II.5-rasm). Yuqoridagi hisob-kitoblardan quyidagilar ma'lum:  $F_t = 5389 \text{ N}$ ;  $F_r = 2076 \text{ N}$ ;  $F_a = 5093 \text{ N}$ ;  $d_2 = 333 \text{ mm}$ ;  $l_3 = l_4 = 99 \text{ mm}$ ;  $l_5 = 87 \text{ mm}$ .

Zanjirli uzatmadan valdagи yuklama  $F_e = 7234 \text{ N}$ .

Bu yuklamaning tashkil etuvchilari,

$$F_{ex} = F_{ey} = F_e \sin \gamma = 7234 \cdot \sin 45^\circ = 5136 \text{ N.}$$

Tayanchlardagi reaksiya kuchlarini aniqlaymiz:

$XOZ$  gorizontal tekislikda,

$$\begin{aligned} \sum m_{1x} &= 0; R_{\delta 4}(l_4 + l_3) - F_t \cdot l_3 - F_{\delta \delta} \cdot (l_3 + l_4 + l_5) = 0 \\ R_{x4} &= \frac{F_t \cdot l_3 + F_{ex} \cdot (l_3 + l_4 + l_5)}{l_4 + l_3} = \frac{5389 \cdot 99 + 5136 \cdot (99 + 99 + 87)}{99 + 99} = 10087 \text{ N;} \\ \sum m_{2x} &= 0; R_{\delta 3}(l_4 + l_3) - F_t \cdot l_4 + F_{\delta \delta} \cdot l_5 = 0 \\ R_{x3} &= \frac{F_t \cdot l_4 - F_{ex} \cdot l_5}{l_4 + l_3} = \frac{5389 \cdot 99 - 5136 \cdot 87}{99 + 99} = 438 \text{ N;} \end{aligned}$$

Tekshiruv:

$$R_{x3} + R_{x4} - (F_t + F_{ex}) = 0$$

$$438 + 10087 - (5389 + 5136) = 0.$$

$YOZ$  vertikal tekislikda,

$$\begin{aligned} \sum m_{1y} &= 0; R_{\delta 3}(l_3 + l_4) - F_r \cdot l_3 + F_a \cdot \frac{d_2}{2} - F_{\delta \delta} \cdot l_5 = 0 \\ R_{y3} &= \frac{F_r \cdot l_3 - F_a \cdot \frac{d_2}{2} + F_{ey} \cdot l_5}{l_3 + l_4} = \frac{2076 \cdot 99 - 5093 \cdot \frac{333}{2} + 5136 \cdot 87}{99 + 99} = 988 \text{ N;} \end{aligned}$$

$$\sum m_{2y} = 0; R_{\delta 4}(l_3 + l_4) + F_r \cdot l_4 + F_a \cdot \frac{d_2}{2} - F_{\delta \delta} \cdot (l_3 + l_4 + l_5) = 0$$

$$R_{y4} = \frac{-F_r \cdot l_4 - F_a \cdot \frac{d_2}{2} + F_{\delta y} \cdot (l_3 + l_4 + l_5)}{l_3 + l_4} = \frac{-2076 \cdot 99 - 5093 \cdot \frac{333}{2} + 5136 \cdot (99 + 99 + 87)}{99 + 99} = 2072N;$$

Tekshiruv:

$$R_{y3} + R_{y4} + F_r - F_{\delta y} = 0$$

$$988 + 2072 + 2076 - 5136 = 0.$$

Eguvchi momentlarni aniqlaymiz va epyuralarini quramiz:  
 $OX$  o‘qiga nisbatan,

$$\text{I uchastka } 0 \leq z \leq l_3$$

$$\sum m_x = 0; M_x + R_{y3} \cdot z = 0$$

$$M_x = -R_{y3} \cdot z = -988 \cdot z;$$

$$M_{x1=0} = 0; M_{x2=l_3} = -988 \cdot 99 = -97812 \text{ Hm} = -97,812 \text{ Hm}.$$

$$\text{II uchastka } 0 \leq z \leq l_4$$

$$\sum m_x = 0; M_x + R_{y3} \cdot (l_3 + z) - F_r \cdot z = 0$$

$$M_x = -R_{y3} \cdot (l_3 + z) + F_r \cdot z = -988 \cdot (99 + z) + 2076 \cdot z;$$

$$M_{x1=0} = -988 \cdot 99 = -97812 \text{ Hm} = -97,812 \text{ Hm};$$

$$M_{x2=l_4} = -988 \cdot 198 + 2076 \cdot 99 = -165624 + 205524 = 39900 \text{ Hm} = 39,9 \text{ Hm}.$$

$$\text{III uchastka } 0 \leq z \leq l_5$$

$$\sum m_x = 0; -M_x + F_{\delta \delta} \cdot z = 0$$

$$M_x = F_{\delta y} \cdot z = 5136 \cdot z;$$

$$M_{x1=0} = 0; M_{x2=l_5} = 5136 \cdot 87 = 446832 \text{ Hm} = 446,832 \text{ Hm}.$$

OY o‘qiga nisbatan,

$$\text{I uchastka } 0 \leq z \leq l_3$$

$$\sum m_y = 0; M_y + R_{x3} \cdot z = 0$$

$$M_y = -R_{x3} \cdot z = -438 \cdot z;$$

$$M_{y1=0} = 0; M_{y2=l_3} = -438 \cdot 99 = -43362 \text{ Hm} = -43,362 \text{ Hm}.$$

II uchastka  $0 \leq z \leq l_4$

$$\sum m_y = 0; M_y + R_{x3} \cdot (l_3 + z) - F_t \cdot z = 0$$

$$M_y = -R_{x3} \cdot (l_3 + z) + F_t \cdot z = -438 \cdot (99 + z) + 5389 \cdot z;$$

$$M_{y=0} = -438 \cdot 99 = -43362 \text{ Hm} = -43,362 \text{ m};$$

$$M_{y=l_4} = -438 \cdot (99 + 99) + 5389 \cdot 99 = 446787 \text{ Hm} = 446,787 \text{ Hm}.$$

III uchastka  $0 \leq z \leq l_5$

$$\sum m_x = 0; -M_o + F_{a\delta} \cdot z = 0$$

$$M_y = F_{ex} \cdot z = 5136 \cdot z;$$

$$M_{y=0} = 0; M_{y=l_5} = 5136 \cdot 87 = 446832 \text{ Hm} = 446,832 \text{ Hm}.$$

Natijaviy reaksiya kuchlari:

$$P_{r1} = \sqrt{R_{x3}^2 + R_{y3}^2} = \sqrt{438^2 + 988^2} = \sqrt{1167988} = 1081 \text{ N};$$

$$P_{r2} = \sqrt{R_{x4}^2 + R_{y4}^2} = \sqrt{10087^2 + 2072^2} = \sqrt{106040753} = 10298 \text{ N}.$$

Demak, ikkinchi tayanchdagи podshipnik ko‘proq yuklangani uchun ushbu podshipnikni umrboqiylikka hisoblaymiz.

Podshipnik gabarit o‘lchamlari: №313, d=65 mm; D=140 mm; B=33 mm; C=92,3 kN; C<sub>0</sub>=56,0 kN.

Ekvivalent yuklama:

$$R_s = (XVP_{r2} + YP_a)K_X K_T,$$

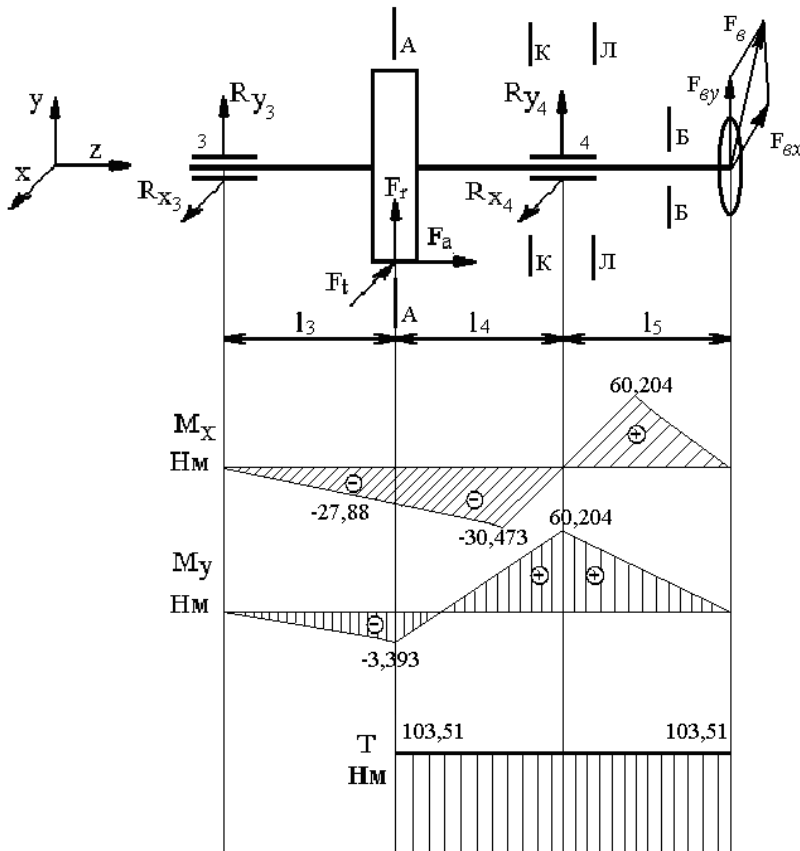
bu yerda:  $R_{r2}=10298$  N-radial yuklama;  $P_a = F_a = 5093$  N-boylama yuklama; V-podshipnik ichki va tashqi halqasining aylanishini hisobga oluvchi koeffitsiyent, ichki halqa aylanganda  $V=1$ , tashqi halqa aylanganda  $V=1,2$  olinadi, ushbu holatda  $V=1$ , ya‘ni podshipnik ichki halqasi aylanadi;  $K_X = 1$ -lentali konveyer yuritmasi uchun havftsizlik koeffitsiyenti;  $K_T = 1$ -harorat koeffitsiyenti.

Munosabat  $\frac{F_a}{C_0} = \frac{5093}{56000} = 0.09$ ; bu qiymat 9.18[4] -jadval bo‘yicha

$e \approx 0,29$  ga mos keladi.

$$\text{Munosabat } X=0.56 \text{ va } Y=\frac{P_a}{P_{r_2}}=\frac{5093}{10298}=0.49 > e; 1.50.$$

$$P_s = (1 \cdot 1 \cdot 10298 + 1.5 \cdot 5093) \cdot 1 \cdot 1 = 17938 \text{ N.}$$



2.5-rasm. Yetaklanuvchi valni hisoblash sxemasi.

Hisobiy umrboqiylik, million ayl.

$$L = \left( \frac{C}{P_s} \right)^3 = \left( \frac{92,3 \cdot 10^3}{17938} \right)^3 \approx 136 \text{ mln.ayl.}$$

Hisobiy umrboqiylik, soat.

$$L_h = \frac{L \cdot 10^6}{60 \cdot n_2} = \frac{136 \cdot 10^6}{60 \cdot 146} \approx 16 \cdot 10^3 \text{ soat.}$$

Silindrik reduktorlar uchun podshipniklar ishlash muddati 40000 soatdan oshishi mumkin, lekin 10000 soatdan kam bo'lmasligi kerak.

### I.1.9.. Shponkali birikmalar mustahkamligini tekshirish

**Prizmatik shponkalar.** Shponka kesimi o'lchamlari, ariqchalari va uzunliklari FOCT 23360-78 bo'yicha (8.9-jadval [4]) olinadi.

Shponkalar materiali-normallashtirilgan po'lat 45°.

Ezilish kuchlanishi va mustahkamlik sharti quyidagi formula bo'yicha,

$$\sigma_{\max} \approx \frac{2T}{d(h-t_1)(l-b)} \leq [\sigma_{\max}]$$

Ezilishga ruxsat etilgan kuchlanish po'lat gupchakda  $[\sigma_{\max}] = 100 \div 120 \text{ MPa}$ , cho'yan gupchakda esa  $[\sigma_{\max}] = 50 \div 70 \text{ MPa}$ .

**Yetaklovchi val:**  $d = 48 \text{ mm}$ ;  $b \times h = 14 \times 9 \text{ mm}$ ;  $t_1 = 5.5 \text{ mm}$ ; shponka uzunligi  $l = 60 \text{ mm}$ ; yetaklovchi valdag'i burovchi moment  $T_1 = 180,53 \cdot 10^3 \text{ N} \cdot \text{mm}$ ;

$$\sigma_{\max} = \frac{2 \cdot 180,53 \cdot 10^3}{48(9 - 5,5)(60 - 14)} = \frac{361060}{7728} = 42,72 \text{ MPa} < [\sigma_{\max}].$$

**Yetaklanuvchi val:** ikki shponkadan - tishli g'ildirak osti va Yulduzcha osti - bulardan ko'proq yuklangani, ya'ni ikkinchisi uchun tekshiruv o'tkazamiz:  $d = 60 \text{ mm}$ ;  $b \times h = 18 \times 11 \text{ mm}$ ;  $t_1 = 7.0 \text{ mm}$ ; shponka uzunligi  $l = 100 \text{ mm}$ ; valdag'i burovchi moment  $T_2 = 876,51 \cdot 10^3 \text{ N} \cdot \text{mm}$ ;

$$\sigma_{\max} = \frac{2 \cdot 876,51 \cdot 10^3}{60(11 - 7)(100 - 18)} = \frac{1753020}{19680} = 89,08 \text{ MPa} < [\sigma_{\max}].$$

Barcha holatlarda mustahkamlik sharti bajarilmoqda.

## II.1.10..Vallarning aniqlashtirilgan hisobi

Normal kuchlanish egilishdan simmetrik sikl, urinma kuchlanish esa buralishdan pulsatsiyalanuvchi sikl bo'yicha o'zgarayapti deb qabul qilamiz.

Aniqlashtirilgan hisob havfli kesimdag'i mustahkamlikning zahir a'zamligi  $s$  ni aniqlash va ularni ruxsat etilgan qiymat [ $s$ ] bilan solishtirishdan iborat.  $s \geq [s]$  bo'yicha mustahkamlik ta'minlangan hisoblanadi.

Har qaysi valning havfli kesimi uchun hisob-kitob o'tkazamiz.

### Yetaklovchi val (2.5-rasm).

Valning materiali shesternyaning materiali kabi (shesternya val bilan birgalikda tayyorlangan) po'lat 45, termik ishlovi-yaxshilash.

3.3-jadval[4] bo'yicha zagotovkaning diametri 90 mm.gacha  $d_{al} = 74$  mm) bo'lganda mustahkamlikning o'rtacha qiymati  $\sigma_B = 780$  MPa.

Egilishning simmetrik siklida mustahkamlik chegarasi,

$$\sigma_{-1} \approx 0,43 \cdot \sigma_B = 0,43 \cdot 780 = 335 \text{ MPa.}$$

Urinma kuchlanishlarning simmetrik siklida mustahkamlik chegarasi,

$$\tau_{-1} \approx 0,58 \cdot \sigma_{-1} = 0,58 \cdot 335 = 193 \text{ MPa.}$$

**A-A kesim.** Elektr dvigateldan mufta orqali burovchi momentni uzatishda bu kesimni buralishga hisoblaymiz. Shponka o'yiqchasi tufayli kuchlanishlar konsentratsiyasi vujudga keladi.

Kesimdag'i qarshilik momentlari:

- buralishga qarshilik momenti,

$$W_{hemmo} = \frac{\pi d^3}{16} - \frac{bt_1(d-t_1)^2}{2d} = \frac{3,14 \cdot 48^3}{16} - \frac{14 \cdot 5,5 \cdot (48-5,5)^2}{2 \cdot 48} = 20,255 \cdot 10^3 \text{ mm}^3;$$

bu yerda:  $d = 48$  mm;  $b = 14$  mm;  $t_1 = 5,5$  mm.

- egilishga qarshilik momenti,

$$W_{hemmo} = \frac{\pi d^3}{32} - \frac{bt_1(d-t_1)^2}{2d} = \frac{3,14 \cdot 48^3}{32} - \frac{14 \cdot 5,5 \cdot (48-5,5)^2}{2 \cdot 48} = 9,4 \cdot 10^3 \text{ mm}^3.$$

Kesimdagı eguvchi moment

$$M_{A-A} = 2.5\sqrt{T_1} \cdot \frac{l}{2} = 2.5 \cdot \sqrt{180.53 \cdot 10^3} \cdot \frac{60}{2} = 31.87 \cdot 10^3 \text{ Nmm}$$

Urinma kuchlanish sikli amplitudasi va o'rtacha kuchlanishi,

$$\tau_v = \tau_m = \frac{\tau_{\max}}{2} = \frac{T_1}{2W_{knetto}}.$$

$$\tau_v = \tau_m = \frac{180,53 \cdot 10^3}{2 \cdot 20,255 \cdot 10^3} = 4.46 \text{ MPa.}$$

Eguvchi kuchlanishining nominal amplitudasi:

$$\sigma_v = \sigma_{\max} = \frac{M_{A-A}}{W_{hemmo}} = \frac{31,87 \cdot 10^3}{9,4 \cdot 10^3} = 3.4 \text{ MPa; } \sigma_o = 0.$$

Normal kuchlanish bo'yicha mustahkamlikning xavfsizlik koefitsiyenti,

$$s_{\sigma} = \frac{\sigma_{-1}}{\frac{k_{\sigma}}{\varepsilon_{\sigma}} \sigma_v + \psi_{\sigma} \sigma_m} = \frac{335}{\frac{1,79}{0,89} \cdot 3,4} = \frac{335}{6,84} = 48,98.$$

bu yerda:  $k_{\sigma} = 1,79$ ;  $\varepsilon_{\sigma} = 0,89$ ; (8.5 va 8.8-jadvallar [4]);  $\psi_{\sigma} = 0,2$ ; (163-bet [4]).

Urinma kuchlanish bo'yicha mustahkamlikning xavfsizlik koefitsiyenti,

$$s = s_{\tau} = \frac{\tau_{-1}}{\frac{k_{\tau}}{\varepsilon_{\tau}} \tau_v + \psi_{\tau} \tau_m},$$

$$s = s_{\tau} = \frac{193}{\frac{1,68}{0,78} \cdot 4,46 + 0,1 \cdot 4,46} = 19,2.$$

bu yerda:  $k_{\tau} = 1,68$ ;  $\varepsilon_{\tau} = 0,78$  ( 8.5 va 8.8-jadvallar [4] );  $\psi_{\tau} \approx 0,1$  (166 bet [4]).

A-A kesim uchun mustahkamlikning natijaviy xavfsizlik koefitsiyenti,

$$s = \frac{s_\sigma s_\tau}{\sqrt{s_\sigma^2 + s_\tau^2}} = \frac{48,98 \cdot 19,2}{\sqrt{48,98^2 + 19,2^2}} = \frac{940.416}{52.6} = 17,88.$$

Mustahkamlik zahira koeffitsiyentining katta qiymatga ega bo‘lishiga sabab, loyihalash jarayonida valni elektr dvigatel vali bilan mufta orqali ularshda valning diametri kattalashtirilgan.

Shu sababga ko‘ra, B-B va V-V kesimlardagi mustahkamlikni tekshirishga hojat yo‘q.

**Yetaklanuvchi val** (2.6-rasm). Val materiali-po‘lat 45, termik ishlovi-normallashtirilgan,  $\sigma_A = 570 \text{ MPa}$  ( 3.3-jadval [4] ).

$$\begin{aligned} \text{Mustahkamlik} & \quad \text{chegaralari:} & \sigma_{-1} &= 0,43 \cdot \sigma_B \\ = 0,43 \cdot 570 &= 246 \text{ MPa} \quad \text{va} \quad \tau_{-1} = 0,58 \cdot \sigma_{-1} & = 0,58 \cdot 246 &= 142 \text{ MPa}. \end{aligned}$$

**A-A kesim** uchun mustahkamlikning zahira koeffitsiyentini aniqlaymiz. Bu kesimda valning diametri 45 mm. Kuchlanishlar konsentratsiyasi shponka o‘yiqchasi hisobiga hosil bo‘ladi.

Eguvchi momentlar:

$$OY \text{ o‘qiga nisbatan } M_y = -43,362 \cdot 10^3 \text{ N} \cdot \text{mm};$$

$$OX \text{ o‘qiga nisbatan } M_x = -97,812 \cdot 10^3 \text{ N} \cdot \text{mm}.$$

Natijaviy eguvchi moment:

$$M_{A-A} = \sqrt{M_x^2 + M_y^2} = \sqrt{(-97,812 \cdot 10^3)^2 + (-43,362 \cdot 10^3)^2} = 103,348 \cdot 10^3 \text{ H} \cdot \text{mm}.$$

Kesimlarning qarshilik momentlari:

- buralishga qarshilik momenti,

$$W_{\kappa_{hemmo}} = \frac{\pi d^3}{16} - \frac{bt_1(d-t_1)^2}{2d} = \frac{3,14 \cdot 70^3}{16} - \frac{20 \cdot 7,5 \cdot (70-7,5)^2}{2 \cdot 70} = 63.13 \cdot 10^3 \text{ mm}^3;$$

bu yerda:  $d = 70 \text{ mm}$ ;  $b = 20 \text{ mm}$ ;  $t_1 = 7,5 \text{ mm}$ .

- egilishga qarshilik momenti,

$$W_{hemmo} = \frac{\pi d^3}{32} - \frac{bt_1(d-t_1)^2}{2d} = \frac{3,14 \cdot 70^3}{32} - \frac{20 \cdot 7,5 \cdot (70-7,5)^2}{2 \cdot 70} = 29.47 \cdot 10^3 \text{ mm}^3.$$

Urinma kuchlanish sikli amplitudasi va o‘rtacha kuchlanishi,

$$\tau_v = \tau_m = \frac{\tau_{\max}}{2} = \frac{T_2}{2W_{\kappa_{hemmo}}} = \frac{876,51 \cdot 10^3}{2 \cdot 63,13 \cdot 10^3} = 6,94 \text{ MPa}.$$

Egilish kuchlanishing nominal amplitudasi,

$$\sigma_v = \sigma_{\max} = \frac{M_{A-A}}{W_{netto}} = \frac{67,48 \cdot 10^3}{7,61 \cdot 10^3} = 8,87 \text{ MPa}; \sigma_{\dot{\alpha}} = 0.$$

Normal kuchlanish bo'yicha mustahkamlik zahirasining koefitsiyenti,

$$s_\sigma = \frac{\sigma_{-1}}{\frac{k_\sigma}{\varepsilon_\sigma} \sigma_v + \psi_\sigma \sigma_m} = \frac{246}{\frac{1,59}{0,84} \cdot 8,87} = \frac{246}{16,79} = 14,65.$$

bu yerda:  $k_\sigma = 1,59$ ;  $\varepsilon_\sigma = 0,84$ ; (8.5 va 8.8-jadvallar [4]);  $\psi_\sigma \approx 0,15$ ; (163 bet [4]).

Urinma kuchlanish bo'yicha mustahkamlik zahirasining koefitsiyenti,

$$s_\tau = \frac{\tau_{-1}}{\frac{k_\tau}{\varepsilon_\tau} \tau_v + \psi_\tau \tau_m} = \frac{142}{\frac{1,49}{0,72} \cdot 3,13 + 0,1 \cdot 3,13} = \frac{142}{6,79} = 20,91.$$

bu yerda:  $k_\tau = 1,49$ ;  $\varepsilon_\tau = 0,72$  (8.5 va 8.8-jadvallar [4]);  $\psi_\tau \approx 0,1$  (166 bet [4]).

A-A kesim uchun mustahkamlik zahirasining natijaviy koefitsiyenti,

$$s = \frac{s_\sigma s_\tau}{\sqrt{s_\sigma^2 + s_\tau^2}} = \frac{14,65 \cdot 20,91}{\sqrt{14,65^2 + 20,91^2}} = \frac{306,33}{25,53} = 12.$$

**K-K kesim.** Kuchlanishlar konsentratsiyasi podshipnikni valga tigiz o'rnatilishi hisobiga hosil bo'ladi;  $\frac{k_\sigma}{\varepsilon_\sigma} = 3,12$  va  $\frac{k_\tau}{\varepsilon_\tau} = 2,27$  ([4] 8.7-jadval);  $\psi_\sigma = 0,15$  va  $\psi_\tau = 0,1$ .

Eguvchi moment,

$$\dot{I} = F_{\dot{a}} \cdot l_5 = 1462 \cdot 58 = 84,8 \cdot 10^3 \text{ Nmm.}$$

O'q bo'yicha qarshilik momenti,

$$W = \frac{\pi d^3}{32} = \frac{3,14 \cdot 40^3}{32} = 6,28 \cdot 10^3 \text{ mm}^3.$$

Normal kuchlanish amplitudasi,

$$\sigma_v = \sigma_{\max} = \frac{M}{W} = \frac{84,8 \cdot 10^3}{6,28 \cdot 10^3} \approx 13,5 \text{ MPa.}$$

Qarshilik qutbiy momenti,

$$W_p = 2W = 2 \cdot 6,28 \cdot 10^3 = 12,56 \cdot 10^3 \text{ mm}^3.$$

Urinma kuchlanish sikli amplitudasi va o'rtacha kuchlanishi,

$$\tau_v = \tau_m = \frac{\tau_{\max}}{2} = \frac{\dot{O}_2}{2W_d} = \frac{103,51 \cdot 10^3}{2 \cdot 12,56 \cdot 10^3} \approx 4,12 \text{ MPa.}$$

Normal kuchlanish bo'yicha mustahkamlik zahirasining koefitsiyenti,

$$s_\sigma = \frac{\sigma_{-1}}{\frac{k_\sigma}{\varepsilon_\sigma} \sigma_v} = \frac{246}{3,12 \cdot 13,5} = \frac{246}{42,12} = 5,8.$$

Urinma kuchlanish bo'yicha mustahkamlik zahirasining koefitsiyenti,

$$s_\tau = \frac{\tau_{-1}}{\frac{k_\tau}{\varepsilon_\tau} \tau_v + \psi_\tau \tau_m} = \frac{142}{2,27 \cdot 4,12 + 0,1 \cdot 4,12} = \frac{142}{9,76} = 14,55.$$

K-K kesim uchun mustahkamlik zahirasining natijaviy koefitsiyenti,

$$s = \frac{s_\sigma s_\tau}{\sqrt{s_\sigma^2 + s_\tau^2}} = \frac{5,8 \cdot 14,55}{\sqrt{5,8^2 + 14,55^2}} = \frac{84,39}{15,66} = 5,4.$$

**L-L kesim.** Kuchlanishlar konsentratsiyasi katta diametr dan kichigiga o'tish hisobiga hosil bo'ladi ( $d=40$  dan  $d=35$  ga):  
 $\frac{D}{d} = \frac{40}{35} \approx 1,1$  va  $\frac{r}{d} = \frac{2,25}{35} \approx 0,06$ ,  $k_\sigma = 1,51$  va  $k_\tau = 1,16$  (8.2-jadval [4] ). Masshtab faktorlari  $\varepsilon_\sigma = 0,86$ ;  $\varepsilon_\tau = 0,75$  (8.8-jadval [4]).

Kesimning o'q bo'yicha qarshilik momenti,

$$W = \frac{\pi d^3}{32} = \frac{3,14 \cdot 35^3}{32} = 4,2 \cdot 10^3 \text{ mm}^3.$$

Normal kuchlanish amplitudasi,

$$\sigma_v = \sigma_{\max} = \frac{M}{W} = \frac{84,8 \cdot 10^3}{4,2 \cdot 10^3} = 20,19 \text{ MPa.}$$

Qutbga nisbatan qarshilik momenti,

$$W_p = 2W = 2 \cdot 4,2 \cdot 10^3 = 8,4 \cdot 10^3 \text{ mm}^3.$$

Urinma kuchlanish sikli amplitudasi va o'rtacha kuchlanishi,

$$\tau_v = \tau_m = \frac{\tau_{\max}}{2} = \frac{\dot{I}}{2W_d} = \frac{84,8 \cdot 10^3}{2 \cdot 4,2 \cdot 10^3} = 10,09 \text{ MPa.}$$

Normal kuchlanish bo'yicha mustahkamlik zahirasining koefitsiyenti,

$$s_\sigma = \frac{\sigma_{-1}}{\frac{k_\sigma}{\varepsilon_\sigma} \sigma_v} = \frac{246}{\frac{1,51}{0,86} \cdot 20,19} = \frac{246}{35,45} = 6,94.$$

Urinma kuchlanish bo'yicha mustahkamlik zahirasining koefitsiyenti,

$$s_\tau = \frac{\tau_{-1}}{\frac{k_\tau}{\varepsilon_\tau} \tau_v + \psi_\tau \tau_m} = \frac{142}{\frac{1,16}{0,75} \cdot 10,09 + 0,1 \cdot 10,09} = \frac{142}{16,61} = 8,55.$$

L-L kesim uchun mustahkamlik zahirasining natijaviy koeffitsiyenti,

$$s = \frac{s_\sigma s_\tau}{\sqrt{s_\sigma^2 + s_\tau^2}} = \frac{6,94 \cdot 8,55}{\sqrt{6,94^2 + 8,55^2}} = \frac{59,34}{11,01} = 5,4.$$

**B-B kesim.** Kuchlanishlar konsentratsiyasi shponka o'yiqchasi hisobiga hosil bo'ladi:  $k_\sigma = 1,59$  ñà  $k_\tau = 1,49$  (8.5-jadval [4]). Masshtab faktorlari  $\varepsilon_\sigma = 0,86$ ;  $\varepsilon_\tau = 0,75$  (8.8-jadval [4]).

Eguvchi moment,

$$\dot{I}_{A-A} = F_a \cdot l_{\hat{o},\phi} = 1462 \cdot 35 = 51,17 \cdot 10^3 \text{ Nmm.}$$

Egilishga qarshilik momenti,

$$W_{netto} = \frac{\pi d^3}{32} - \frac{bt_1(d-t_1)^2}{2d} = \frac{3,14 \cdot 35^3}{32} - \frac{10 \cdot 5,0 \cdot (35-5,0)^2}{2 \cdot 35} = 3,56 \cdot 10^3 \text{ mm}^3.$$

bu yerda:  $d = 35$  mm;  $b = 10$  mm;  $t_1 = 5,0$  mm.

Egilish normal kuchlanish amplitudasi,

$$\sigma_v = \frac{M_{E-E}}{W_{netto}} = \frac{51,17 \cdot 10^3}{3,56 \cdot 10^3} = 14,37 \text{ MPa.}$$

Kesimning buralishga qarshilik momenti,

$$W_{k_{netto}} = \frac{\pi d^3}{16} - \frac{bt_1(d-t_1)^2}{2d} = \frac{3,14 \cdot 35^3}{16} - \frac{10 \cdot 5 \cdot (35-5)^2}{2 \cdot 35} = 7,77 \cdot 10^3 \text{ m}^3.$$

Urinma kuchlanish sikli amplitudasi va o'rtacha kuchlanishi,

$$\tau_v = \tau_m = \frac{T_2}{2W_{k_{netto}}} = \frac{103,51 \cdot 10^3}{2 \cdot 7,77 \cdot 10^3} = 6,66 \text{ MPa.}$$

Normal kuchlanish bo'yicha mustahkamlik zahirasining koefitsiyenti,

$$s_\sigma = \frac{\sigma_{-1}}{\frac{k_\sigma}{\varepsilon_\sigma} \sigma_v} = \frac{246}{\frac{1,59}{0,86} \cdot 14,37} = \frac{246}{26,57} = 9,26.$$

Urinma kuchlanish bo'yicha mustahkamlik zahirasining koefitsiyenti,

$$s_\tau = \frac{\tau_{-1}}{\frac{k_\tau}{\varepsilon_\tau} \tau_v + \psi_\tau \tau_m} = \frac{142}{\frac{1,49}{0,75} \cdot 6,66 + 0,1 \cdot 6,66} = \frac{142}{13,9} = 10,21.$$

B-B kesim uchun mustahkamlik zahirasining natijaviy koefitsiyenti,

$$s = \frac{s_\sigma s_\tau}{\sqrt{s_\sigma^2 + s_\tau^2}} = \frac{9,26 \cdot 10,21}{\sqrt{9,26^2 + 10,21^2}} = \frac{94,54}{13,78} = 6,86.$$

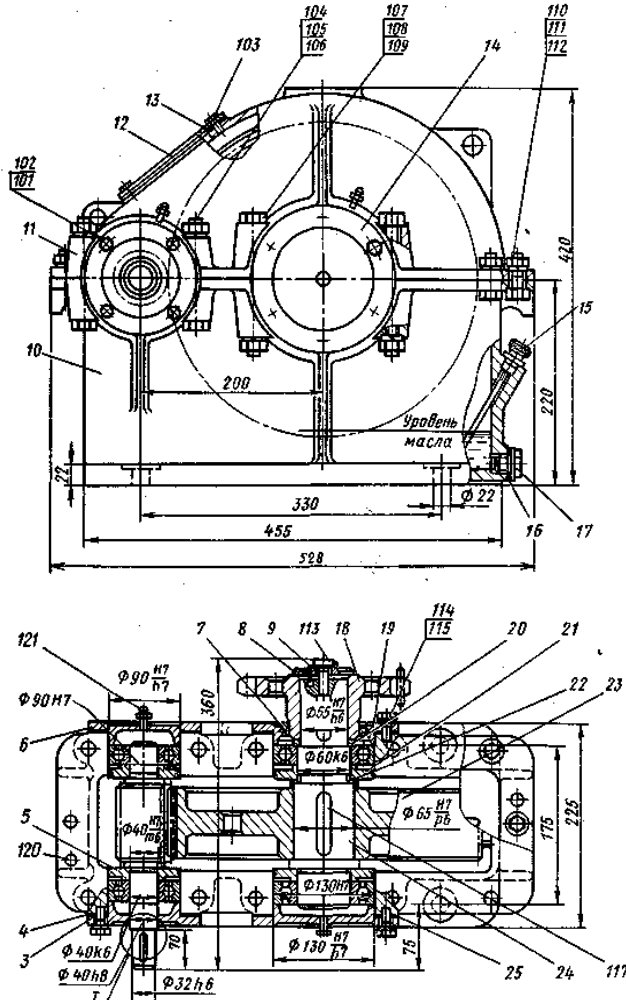
Natijalarni tekshirish uchun jadvalga kiritamiz:

Kesimlar	A-A	K-K	L-L	B-B
Ehtiyyot koeffitsiyenti s	12	5,4	5,4	6,86

Barcha kesimlarda  $s > [s]$ .

### **II.1.11. Reduktor chizmasi**

Reduktor va uning detallariniq ishchi chizmalarini, ro'yxatini, hisoblash-tushuntirish xatini, titul varag'ini ham tayyorlab himoyalash ishlarini [5] dagi tavsiyalarga mos ravishda bajariladi.



## II.6. Bir pog'onalı silindrik reduktor chizması.

Reduktor detallari tartib raqamlari va asosiy yozuvlari bilan birgalikda 1:1 masshtabda A1 (594x841 mm)ga ikki proeksiyada chiziladi.

Reduktor detallarining ro‘yxati A4 formatda standartda belgilangan asosiy (birinchi bet) va davom etuvchi (keyingi betlar) shtampli jadvallar ko‘rinishida to‘ldiriladi.

## **II.12. Tishli g‘ildiraklar va podshipniklar uchun qo‘yimlar**

Qo‘yimlar 10.13[4] -jadvaldagi ma‘lumotlar va ko‘rsatma- larga mos ravishda belgilanadi.

Tishli g‘ildirakning valga qo‘yimi standart bo‘yicha  $\frac{H7}{p6}$ .

Valning podshipnik osti bo‘yni qo‘yimi  $k6$  og‘ishi bilan bajariлади. Korpusdagi tashqi halqa osti teshigining og‘ishi  $H7$  bo‘yicha olinadi.

10.13-jadval [4] bo‘yicha qolgan qo‘yimlar belgilanadi.

### **II.1.13. Reduktor uchun moy turini tanlash**

Tishli ilashmaning moylanishi tishli g‘ildirakning sachratishi orqali amalga oshiriladi, bunda tishli g‘ildirak taxminan 10 mm.gacha reduktorga quyilgan moyga botib turadi. Moy vannasining hajmi quyidagicha aniqlanadi,

$$V = 0,25 \cdot P_m = 0,25 \cdot 3,2 = 0,8 \text{ dm}^3.$$

10.8 [4] -jadvaldan moyning qovushoqligini aniqlaymiz. Bunda kontakt kuchlanish va aylanma tezlik orqali moy qovushoqligi tanlanadi.  $\sigma_f = 409 \text{ MPa}$  va  $V=2,77 \text{ m/s}$  da moyning qovushoqligi  $28 \cdot 10^{-6} \text{ m}^2/\text{s}$ .

10.10 [4] jadvaldan shu qovushoqlik bo‘yicha moy turini tanlaymiz. Bunda I-30A sanoat moyini qabul qilamiz.

Podshipniklar kamerasini plastik moylovchi material bilan to‘ldiriladi,yoki davriy ravishda press-maslenka yordamida moylab turiladi.

## II.1.14 Reduktorni yig‘ish

Reduktorni yig‘ishdan oldin reduktor korpusi ichki qismi obdon tozalanadi va moyga bardoshli bo‘yoq bilan qoplanadi.

Yig‘ishni reduktorning yig‘ma chizmasiga mos ravishda olib boriladi.

Reducitorning va uning detallarining ishchi chizmalarini, detailar ro‘yhatini, hisoblash-tushuntirish hatini hamda titul varaqlarini tayyorlab, himoyalash ishlari [5] dagi tavsiyalarga mos tarzda bajariladi.

Reducitor detailar tartib raqamlari va asosiy yozuvlari bilan birgalikda 1:1 masshtabda A1 (594x841 mm)ga ikki proeksiyada chiziladi.

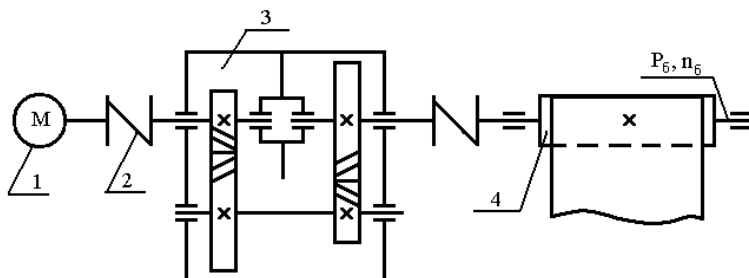
Reducitor detailarining ro‘yxati A4 formatda standartda belgilangan asosiy(birinchi bet) va davom etuvchi (keyingi betlar) shtampli jadvallar ko‘rinishida to‘ldiriladi.

## II Misol

### II.2. Ikki pog‘onali o‘qdosh silindrik reduktordan tashkil topgan lentali konveyerni loyihalash

Quyidagi shaklda ko‘rsatilgan lentali konveyer yuritmasi loyihalansin. Konveyer barabani validagi quvvat  $P_b=5,5 \text{ kVt}$ , baraban valining aylanish takroriyligi  $n_b=100 \text{ min}^{-1}$ .

Reducitorning ishlash muddati  $L_h = 40000$  soat.



Rasm II.7 Lentali konveyer yuritmasi

1-elektrodvigatel; 2- mufta; 3-ikki pog‘onali, silindrik g‘ildirakli o‘qdosh reduktor; 4-konveyer barabani.

Ko‘rinib turganidek,mazkur qo‘llanmaning boshlanish qismida (4-bet), aynan shu shemadagi yuritmaning kinematik hisobini bajarish yo‘llari keltirilgan.

Bu misolda,aytilganlardan farqli ravishda,o‘sha sxemadagi kabi yritmaning to‘liq tarzda bajarilgan hisoblash ishlari ham keltirilgan.

Misolni bunday tarzda tanlashdan maqsad,shemalari birhil bo‘lib,boshlang‘ich ma‘lumotlari harhil bo‘lganda ham mazkur turdagи yuritmalarining echimlari va bajarilishi unchalik murakkab bo‘lmasligini e‘tiborga olishdir.

### **II.2.1. Elektr dvigatel tanlash va yuritmaning kinematik hisobi**

1. Elektr dvigatelning talab qilingan quvvati

$$P_{\dot{O}} = \frac{D_a}{\eta_{\dot{o}}} = \frac{5,5}{0,92} = 5,98 \text{ kVt},$$

bu yerda:  $P_{\dot{o}}$  -baraban validagi quvvat,  $P_{\dot{o}} = 5,5 \text{ kVt}$ ;  $\eta_{ym}$  - yuritmaning umumiyl foydali ish koeffitsiyenti bo‘lib, quyidagi formula bo‘yicha aniqlanadi,

$$\eta_{ym} = \eta_1 \cdot \eta_2 \cdot \eta_3 \dots \eta_n .$$

Yuqoridagi sxema uchun

$$\eta_{ym} = \eta_1^2 \cdot \eta_n^4 ,$$

bu yerda:  $\eta_1$  -yopiq uzatma (reduktor)dagi silindrik tishli uzatmalarining foydali ish koeffitsiyenti bo‘lib,  $\eta_1 = 0,98$  (1.1-jadval [4]), ushbu reduktorda 2 juft tishli uzatma mavjud;  $\eta_n$  -yuritmadagi dumalash podshipniklari foydali ish koeffitsiyenti, bir juft dumalash podshipnigining foydali ish koeffitsiyenti,  $\eta_n = 0,99$  (1.1-jadval [4]).

Shunda,

$$\eta_{\dot{o}} = \eta_1^2 \cdot \eta_n^4 = 0,98^2 \cdot 0,99^4 = 0,92 .$$

2. Yuritmaning umumiyl uzatishlari soni alohida pog‘onalar uzatishlari soni ko‘paytmasi tarzida aniqlanadi,

$$u_{ym} = u_1 \cdot u_2 = 4 \cdot 3 = 12 ,$$

bu yerda:  $u_1$  -birinchi pog'onganing uzatish soni,  $u_1 = 4$ ;  $u_2 = 3$  - ikkinchi pog'onganing uzatish soni, (§ 1.3. [4]).

Aniqlangan talab qilingan quvvat bo'yicha P1[4] dan  $P_{\partial e} = 7,5$  kVt quvvatli elektr dvigatel tanlaymiz. P1 da mavjud shunday quvvatli 4 xil markali elektr dvigateli ko'rib chiqib, mosini tanlaymiz:

1. 4A112M2,  $P_{\partial e} = 7,5$  kVt,  $n_c = 3000 \text{ min}^{-1}$ ,  $s = 2,5 \%$ ;
2. 4A132S4,  $P_{\partial e} = 7,5$  kVt,  $n_c = 1500 \text{ min}^{-1}$ ,  $s = 3,0 \%$ ;
3. 4A132M6,  $P_{\partial e} = 7,5$  kVt,  $n_c = 1000 \text{ min}^{-1}$ ,  $s = 3,2 \%$ ;
4. 4A160S8,  $P_{\partial e} = 7,5$  kVt,  $n_c = 750 \text{ min}^{-1}$ ,  $s = 2,5 \%$ .

Keltirilgan elektr dvigatellardan aylanish takroriyligi  $n_c = 3000 \text{ min}^{-1}$  bo'lgan elektr dvigatel tanlansa katta uzatishlar sonini amalga oshirishda qiyinchiliklar vujudga keladi; aylanish takroriyligi  $n_c = 750 \text{ min}^{-1}$  bo'lgan elektr dvigateling gabarit o'lchamlari va massasi katta bo'ladi.

Demak, aylanish takroriyligi  $n_c = 1500 \text{ min}^{-1}$  va  $1000 \text{ min}^{-1}$  bo'lgan elektr dvigateldan mosini tanlaymiz.

Bu elektr dvigatellar vallarining nominal aylanish takroriyligi quyidagicha:

$$a) n_{\ddot{a}\dot{a}} = n_{\ddot{n}} \cdot \frac{100-s}{100} = 1500 \cdot \frac{100-3,0}{100} = 1455 \text{ min}^{-1};$$

$$b) n_{\ddot{a}\dot{a}} = n_{\ddot{n}} \cdot \frac{100-s}{100} = 1000 \cdot \frac{100-3,2}{100} = 968 \text{ min}^{-1}.$$

Tanlangan elektr dvigatellar aylanish takroriyligi bo'yicha yuritmaning umumiy uzatish soni:

**a** variantda,

$$u_{\dot{o}\dot{i}}^I = \frac{n_{\ddot{a}\dot{a}}}{n_{\dot{a}}} = \frac{1455}{100} = 14,55;$$

**b** variantda esa

$$u_{\dot{o}\dot{i}}^I = \frac{n_{\ddot{a}\dot{a}}}{n_{\dot{a}}} = \frac{968}{100} = 9,68.$$

**a** variantda aniqlangan  $u_{ym}^I$  bo‘yicha ikkinchi pog‘onaning uzatish sonini aniqlab olamiz:

$$u_2 = \frac{u_{\dot{o}i}^I}{u_1} = \frac{14,55}{4} = 3,64$$

$u_2$  ning qiymatini ГОСТ bo‘yicha qabul qilamiz,  $u_2 = 3,55$  (49-bet [4]).

Shunda,

$$u_{\dot{o}i} = 4 \cdot 3,55 = 14,2$$

Demak,

$$\Delta u = \frac{u_{ym} - u_{ym}^I}{u_{ym}} \cdot 100\% = \leq \pm 3\%$$

$$\Delta u = \frac{14,2 - 14,55}{14,2} \cdot 100\% = 2,5 < \pm 3\%$$

shart bajarilayapti, keyingi hisoblarni  $u_1 = 4$  va  $u_2 = 3,55$  bo‘yicha amalga oshiramiz.

Yuqoridagilarni e‘tiborga olib, quvvati  $P_{\dot{o}e} = 7,5$  kVt, aylanishlar takroriyligi  $n_{\dot{o}e} = 1455 \text{ min}^{-1}$  bo‘lgan 4A132S4 markali elektr dvigatel tanlaymiz.

3. Yuritma vallaridagi quvvat va burovchi moment, vallarning aylanishlar takroriyligi va burchak tezliklarini hisoblaymiz:

a) birinchi -yetaklovchi val,

$$P_1 = P_{\dot{o}} = 5,98 \text{ kVt},$$

$$n_1 = n_{\dot{a}\dot{a}} = 1455 \text{ min}^{-1},$$

$$\omega_1 = \frac{\pi \cdot n_{\dot{a}\dot{a}}}{30} = \frac{3,14 \cdot 1455}{30} = 152,29 \text{ rad}^{-1},$$

$$T_1 = 9550 \cdot \frac{P_1}{n_1} = 9550 \cdot \frac{5,98}{1455} = 39,25 \text{ Nm} = 39,25 \cdot 10^3 \text{ Nmm.}$$

b) ikkinchi -oraliq val,

$$P_2 = P_1 \cdot \eta_1 \cdot \eta_i = 5,98 \cdot 0,98 \cdot 0,99 = 5,8 \text{ kVt},$$

$$n_2 = \frac{n_1}{u_1} = \frac{1455}{4} = 363,75 \text{ min}^{-1},$$

$$\omega_2 = \frac{\omega_1}{u_1} = \frac{152,29}{4} = 38,07 \text{ rad}^{-1},$$

$$T_2 = 9550 \cdot \frac{P_2}{n_2} = 9550 \cdot \frac{5,8}{363,75} = 152,27 \text{ Nm} = 152,27 \cdot 10^3 \text{ Nmm.}$$

d) uchinchi -yetaklanuvchi val,

$$P_3 = P_2 \cdot \eta_1 \cdot \eta_r = 5,8 \cdot 0,98 \cdot 0,99 = 5,63 \text{ kWt},$$

$$n_3 = \frac{n_2}{u_2} = \frac{363,75}{3,55} = 102,46 \text{ min}^{-1},$$

$$\omega_3 = \frac{\omega_2}{u_2} = \frac{38,07}{3,55} = 10,72 \text{ rad}^{-1},$$

$$T_3 = 9550 \cdot \frac{P_3}{n_3} = 9550 \cdot \frac{5,63}{102,46} = 524,76 \text{ Nm} = 524,76 \cdot 10^3 \text{ Nmm.}$$

## II.2.2. Reduktor tishli g'ildiraklarining hisobi

1. Ikki pog'onadagi shesternyalar va tishli g'ildiraklar uchun material tanlab, ular uchun ruxsat etilgan kuchlanishlarni aniqlaymiz.

Shesternyalar va tishli g'ildiraklar uchun [4] 3.3-jadvaldan o'rtacha mexanik xarakteristikali material tanlaymiz. Bunda birinchi va ikkinchi pog'onadagi shesternyalar uchun termik ishlovi-yaxshilash, qattiqligi HB<sub>1,3</sub> = 230, tishli g'ildiraklar uchun termik ishlovi-yaxshilash, qattiqligi HB<sub>2,4</sub> = 200 bo'lgan 45 markali po'lat tanlaymiz.

Ruxsat etilgan kontakt kuchlanish:

$$[\sigma_H] = \frac{\sigma_{H\limb} \cdot K_{HL}}{[S_H]},$$

bu yerda:  $\sigma_{H\limb}$  - sikllarning asosiy sonidagi kontakt mustahkamlik chegarasi,  $\sigma_{H\limb} = 2HB + 70$ ;  $K_{HL}$  - umrboqiylik koefitsiyenti, agar g'ildirak har qaysi tishining yuklanish sikllari soni

asosiysidan yuqori bo'lsa,  $K_{HL} = 1$  deb qabul qilinadi;  $[S_H]$  - xavfsizlik koeffitsiyenti,  $[S_H] = 1,1$ .

Qiya tishli g'ildiraklar uchun ruxsat etilgan hisobiy kontakt kuchlanish quyidagi formula bo'yicha aniqlanadi:

$$[\sigma_H] = 0,45([\sigma_{H1,3}] + [\sigma_{H2,4}]),$$

shesternyalar uchun,

$$[\sigma_{H1,3}] = \frac{(2HB_{1,3} + 70) \cdot K_{HL}}{[S_H]} = \frac{(2 \cdot 230 + 70) \cdot 1}{1,1} \approx 482 \text{ MPa};$$

tishli g'ildiraklar uchun,

$$[\sigma_{H2,4}] = \frac{(2HB_{2,4} + 70) \cdot K_{HL}}{[S_H]} = \frac{(2 \cdot 200 + 70) \cdot 1}{1,1} \approx 428 \text{ MPa}.$$

Shunda ruxsat etilgan hisobiy kontakt kuchlanish,

$$[\sigma_H] = 0,45([\sigma_{H1,3}] + [\sigma_{H2,4}]) = 0,45 \cdot (482 + 428) = 410 \text{ MPa}.$$

Bajarilgan hisoblar quyidagi shartni qanoatlantirishi kerak,

$$[\sigma_H] \leq 1,23[\sigma_{H2,4}].$$

Demak,  $410 \text{ MPa} \leq 526 \text{ MPa}$ , yuqorida keltirilgan shart bajarilmoqda.

2. Sekinyurar pog'onani hisoblash.

Tishlarning faol sirtlari kontakt mustahkamligi shartidan o'qlararo masofani quyidagi formula bo'yicha aniqlaymiz:

$$a_{wcek} = K_a(u+1)^{\beta} \sqrt{\frac{T_3 K_{H\beta}}{[\sigma_H]^2 u^2 \psi_{ba}}},$$

bu yerda:  $K_a$  - yordamchi koeffitsiyent, qiya tishli g'ildiraklar uchun  $K_a = 43$ ;  $u = u_2 = 3,55$  - sekinyurar pog'onaning uzatish soni;  $K_{H\beta}$  - tishli g'ildiraklarning tayanchlarga nisbatan joylashishi koefitsiyenti, tishli g'ildiraklar tayanchlarga nisbatan nosimmetrik joylashgani uchun  $K_{H\beta} = 1,25$  (3.1-jadval [4]);  $\psi_{ba}$  - tishli g'ildirak gardishining kengligi koeffitsiyenti, qiya tishli g'ildiraklar uchun  $\psi_{ba} = 0,25 \dots 0,63$  oralig'ida olish tavsiya etiladi,  $\psi_{ba} = 0,4$  deb qabul qilamiz (36- bet [4]).

Shunda,

$$a_{wññâ} = 43 \cdot (3,55 + 1) \sqrt{\frac{524,76 \cdot 10^3 \cdot 1,25}{410^2 \cdot 3,55^2 \cdot 0,4}} = 195,65 \cdot 0,92 \approx 180 \text{ mm.}$$

Standart bo'yicha  $a_{wcek} = 224 \text{ mm}$  deb qabul qilamiz (36 bet [4]).

Tishli ilashmaning normal modulini quyidagi tavsiya bo'yicha qabul qilamiz:

$$m_n = (0,01 \div 0,02) \cdot a_{wcek} = (0,01 \div 0,02) \cdot 224 = 2,24 \div 4,48 \text{ mm}$$

Standart bo'yicha  $m_n = 3 \text{ mm}$  deb qabul qilamiz (36- bet [3]).

Dastlab tishlar qiyalik burchagi  $\beta = 10^\circ$  deb qabul qilamiz va shesternya va tishli g'ildiraklar tishlar sonini aniqlaymiz:

$$z_3 = \frac{2a_{wcek} \cos \beta}{(u+1)m_n} = \frac{2 \cdot 224 \cdot \cos 10^\circ}{(3,55+1) \cdot 3} = \frac{448 \cdot 0,9848}{13,65} = 32,3$$

$z_3 = 32$  deb qabul qilamiz.

Shunda  $z_4 = z_3 u = 32 \cdot 3,55 = 113,6$ ,  $z_4 = 114$  deb qabul qilamiz.

Tishlarning aniqlashtirilgan qiymati,

$$\cos \beta = \frac{(z_3 + z_4)m_n}{2a_{wcek}} = \frac{(32+114) \cdot 3}{2 \cdot 224} = \frac{438}{448} = 0,9777;$$

$$\beta = 12^\circ 12'.$$

Shesternya va tishli g'ildirakning asosiy o'lchamlari:  
bo'luvchi diametrleri,

$$d_3 = \frac{m_n z_3}{\cos \beta} = \frac{3 \cdot 32}{0,9777} = 98 \text{ mm},$$

$$d_4 = \frac{m_n z_4}{\cos \beta} = \frac{3 \cdot 114}{0,9777} = 350 \text{ mm.}$$

$$\text{Tekshiruv: } a_\omega = \frac{d_3 + d_4}{2} = \frac{98 + 350}{2} = 224 \text{ mm;}$$

Tashqi aylanalar diametri,

$$d_{a3} = d_3 + 2m_n = 98 + 2 \cdot 3 = 104 \text{ mm},$$

$$d_{a4} = d_4 + 2m_n = 350 + 2 \cdot 3 = 356 \text{ mm.}$$

Tishli g'ildirak eni,

$$b_4 = \psi_{ba} a_{wcek} = 0,4 \cdot 224 = 90 \text{ mm.}$$

Shesternyaning eni,

$$b_3 = b_4 + 5 = 90 + 5 = 95 \text{ mm.}$$

Shesternya emining diametr koeffitsiyentini aniqlaymiz,

$$\psi_{bd} = \frac{b_3}{d_3} = \frac{95}{98} = 0,97.$$

Sekinyurar pog'ona tishli g'ildiraklarining aylanma tezligi,

$$v = \frac{\omega_3 d_3}{2} = \frac{10,72 \cdot 98}{2 \cdot 10^3} = 0,53 \text{ m/s.}$$

$V = 0,53 \text{ m/s}$  da qiya tishli g'ildiraklar aniqlik darajasini 8 deb qabul qilamiz (32-bet [4]).

Yuklanish koeffitsiyenti,

$$K_H = K_{H\beta} K_{H\alpha} K_{H\nu},$$

bu yerda:  $K_{H\alpha}$ -yuklanishning tishlararo taqsimlanishini hisobga oluvchi koeffitsiyent, aylanma tezligi  $v=10 \text{ m/s}$  gacha va aniqlik darjasasi 8 bo'lgan qiya tishli g'ildiraklar uchun  $K_{H\alpha} = 1,05 \div 1,15$  chegarasida olish tavsiya etiladi,  $K_{H\alpha} = 1,08$ ;  $K_{H\beta}$  -tishli g'ildirak gardishi bo'yicha yuklamaning notekis taqsimlanishini hisobga oluvchi koeffitsiyent,  $K_{H\beta} = 1,15$ ;  $K_{H\nu}$  -tishli g'ildiraklar aylanma tezligi  $v$  va ularning tayyorlanishdagi aniqlik darajasiga bog'liqlikda aniqlanuvchi dinamik koeffitsiyent, aylanma tezligi  $v= 10 \text{ m/s}$  gacha va aniqlik darjasasi 8 bo'lgan qiya tishli g'ildiraklar uchun  $K_{H\nu} = 1,0 \div 1,05$  chegarasida olish tavsiya etiladi,  $K_{H\nu} = 1,0$  deb qabul qilamiz (32-bet [4]).

Shunda,

$$K_H = K_{H\beta} K_{H\alpha} K_{H\nu} = 1,15 \cdot 1,08 \cdot 1,0 = 1,242.$$

Kontakt kuchlanishni quyidagi formula bo'yicha tekshiramiz:

$$\sigma_H = \frac{270}{a_{wcek}} \sqrt{\frac{T_3 K_H (u+1)^3}{b_4 u^2}} = \frac{270}{224} \sqrt{\frac{524,76 \cdot 10^3 \cdot 1,242 \cdot (3,55+1)^3}{90 \cdot 3,55^2}} = 1,2 \cdot 232,65 = 279,2 \text{ MPa}$$

$$\sigma_H < [\sigma_H].$$

$$279,2 \text{ MPa} < 410 \text{ MPa.}$$

Sekinyurar pog‘onadagi tishli ilashmaga ta‘sir etuvchi kuchlar: aylanma kuch,

$$F_{t2} = \frac{2T_3}{d_3} = \frac{2 \cdot 524,76 \cdot 10^3}{98} = 10709 \text{ N};$$

radial kuch,

$$F_{r2} = F_{t2} \frac{\tg \alpha}{\cos \beta} = 10709 \cdot \frac{\tg 20^\circ}{\cos 12^\circ 12'} = 10709 \cdot \frac{0,3640}{0,9777} = 3987 \text{ N};$$

bo‘ylama kuch,

$$F_{a2} = F_{t2} \tg \beta = 10709 \cdot \tg 12^\circ 12' = 10709 \cdot 0,2147 = 2299 \text{ N}.$$

Sekinyurar pog‘ona tishlarini egilishdagi kuchlanish bo‘yicha mustahkamlikka tekshiramiz:

$$\sigma_F = \frac{F_t K_F Y_F K_{F\alpha}}{bm_n} \leq [\sigma_F].$$

bu yerda:  $K_F = K_{F\beta} K_{F\nu}$  -yuklanish koefitsiyenti,  $K_{F\beta} = 1,17$  - tish uzunligi bo‘yicha yuklamaning notekis taqsimlanishini hisobga oluvchi koefitsiyent,  $K_{F\nu} = 1,25$  -yuklamaning dinamik ta‘sirini hisobga oluvchi koefitsiyent (3.7-, 3.8-jadvallar [4]). Shunda,  $K_F = 1,17 \cdot 1,25 = 1,46$ ;  $Y_\beta$  -xatoliklarni kompensatsiyalash uchun kiritilgan koefitsiyent;  $Y_{F\alpha}$  - yuklamaning tishlararo notekis taqsimlanishini hisobga oluvchi koefitsiyent;  $Y_F$  -tish shaklini hisobga oluvchi va tishlar ekvivalent soni  $z_v$  ga bog‘liq bo‘lgan koefitsiyent (42-bet [4] )yoki 16 betdagagi 2-jadval:

shesternyaniki,

$$z_{v3} = \frac{z_3}{\cos^3 \beta} = \frac{32}{0,9777^3} = \frac{32}{0,9346} = 34; Y_{F3} = 3,76,$$

tishli g‘ildirakniki,

$$z_{v4} = \frac{z_4}{\cos^3 \beta} = \frac{114}{0,9777^3} = \frac{114}{0,9346} = 122; Y_{F4} = 3,60.$$

Ruxsat etilgan kuchlanish,

$$[\sigma_F] = \frac{\sigma_{F\limb}^0}{[S_F]},$$

bu yerda:  $[S_F]$  -xavfsizlik koeffitsiyenti,  $[S_F] = [S_F]' \cdot [S_F]'' = 1,75 \cdot 1 = 1,75$ ,  $[S_F]' = 1,75$ -tishli g'ildiraklar materiali sifatining nobarqarorligini hisobga oluvchi koeffitsiyent (3.9-jadval [4]),  $[S_F]'' = 1$  tishli g'ildirak zagotovkasining olinish usullarini hisobga oluvchi koeffitsiyent (44 bet [4]);  $\sigma_{F\limb}^0$ -sikllarning asosiy soniga mos keluvchi mustahkamlik chegarasi (3.9-jadval [4]),

shesternya uchun,

$$\sigma_{F\limb}^0 = 1,8HB_3 = 1,8 \cdot 230 = 415 \text{ MPa},$$

tishli g'ildirak uchun,

$$\sigma_{F\limb}^0 = 1,8HB_4 = 1,8 \cdot 200 = 360 \text{ MPa}.$$

Shunda, ruxsat etilgan kuchlanish quyidagicha:

shesternya uchun,

$$[\sigma_{F3}] = \frac{415}{1,75} = 237 \text{ MPa},$$

tishli g'ildirak uchun,

$$[\sigma_{F4}] = \frac{360}{1,75} = 206 \text{ MPa}.$$

Quyidagi munosabatni  $\frac{[\sigma_F]}{Y_F}$ , ya'ni shesternya va tishli g'ildirak

uchun ruxsat etilgan kuchlanishni ularning tishlarining shakliga nisbatini hisoblaymiz:

shesternya uchun,

$$\frac{[\sigma_{F3}]}{Y_{F3}} = \frac{237}{3,76} = 63,03 \text{ MPa},$$

tishli g'ildirak uchun,

$$\frac{[\sigma_{F4}]}{Y_{F4}} = \frac{206}{3,60} = 57,22 \text{ MPa}.$$

Keyingi hisob-kitoblarni yuqoridagi munosabatning kichik qiymatdagisi, ya‘ni tishli g‘ildirak uchun davom ettiramiz.

$Y_\beta$  va  $K_{F\alpha}$  koeffitsiyentlarni aniqlaymiz (46 va 47-betlar [4]):

$$Y_\beta = 1 - \frac{\beta^\circ}{140} = 1 - \frac{12^\circ 12' }{140} = 1 - 0,09 = 0,91;$$

$$K_{F\alpha} = \frac{4 + (\varepsilon_\alpha - 1)(n - 5)}{4\varepsilon_\alpha} = \frac{4 + (1,5 - 1) \cdot (8 - 5)}{4 \cdot 1,5} = \frac{5,5}{6} = 0,92$$

bu yerda:  $\varepsilon_\alpha$  - yonlama qoplanish koeffitsiyenti,  $\varepsilon_\alpha = 1,5$ ; n-tishli g‘ildirak aniqlik darajasi,  $n=8$ .

Tishli g‘ildirak tishining mustahkamligini tekshiramiz:

$$\sigma_{F4} = \frac{F_{t2} K_F Y_{F4} Y_\beta K_{F\alpha}}{b_4 m_n} \leq [\sigma_{F4}];$$

$$\sigma_{F4} = \frac{10709 \cdot 1,46 \cdot 3,60 \cdot 0,91 \cdot 0,92}{90 \cdot 3} = 174,53 \text{ MPa} < [\sigma_{F4}] = 206 \text{ MPa.}$$

Mustahkamlik sharti bajarilmoqda.

3. Tezyurar pog‘onani hisoblaymiz.

O‘qdoshlik shartidan  $a_{w\ddot{o}\ddot{a}\ddot{c}} = \dot{a}_{w\ddot{n}\ddot{a}\ddot{e}} = 224 \text{ mm}$ .

Tezyurar pog‘ona uchun normal modul uzatmaning shovqinsiz va ravon ishlashini ta‘minlash maqsadida sekinyurar pog‘ona-nikidan kichikroq olinadi, ya‘ni  $m_n = 2,5 \text{ mm}$  deb qabul qilamiz.

Standart bo‘yicha  $m_n = 2 \text{ mm}$  deb qabul qilamiz (36-bet [4]).

Dastlab tishlar qiyalik burchagini  $\beta = 10^\circ$  deb qabul qilamiz va shesternya va tishli g‘ildiraklar tishlar sonini aniqlaymiz:

$$z_1 = \frac{2a_{w\ddot{o}\ddot{a}\ddot{c}} \cos \beta}{(u+1)m_n} = \frac{2 \cdot 125 \cdot \cos 10^\circ}{(4+1) \cdot 2} = \frac{250 \cdot 0,9848}{10} = 24,4$$

$z_1 = 24$  deb qabul qilamiz.

Shunda  $z_2 = z_1 u = 24 \cdot 4 = 96$ .

Tishlarning aniqlashtirilgan qiymati,

$$\cos \beta = \frac{(z_1 + z_2)m_n}{2a_{w\ddot{o}\ddot{a}\ddot{c}}} = \frac{(24 + 96) \cdot 2}{2 \cdot 125} = \frac{240}{250} = 0,96$$

$$\beta = 16^\circ 26'$$

Shesternya va tishli g'ildirakning asosiy o'lchamlari:  
bo'luvchi diametrlari,

$$d_1 = \frac{m_n z_1}{\cos \beta} = \frac{2 \cdot 24}{0,96} = 50 \text{ mm},$$

$$d_2 = \frac{m_n z_2}{\cos \beta} = \frac{2 \cdot 96}{0,96} = 200 \text{ mm}.$$

Tekshiruv:  $a_{w\ddot{o}\ddot{a}\dot{c}} = \frac{d_1 + d_2}{2} = \frac{50 + 200}{2} = 125 \text{ mm};$

Tashqi aylanalar diametri,

$$d_{a1} = d_1 + 2m_n = 50 + 2 \cdot 2 = 54 \text{ mm},$$

$$d_{a2} = d_2 + 2m_n = 200 + 2 \cdot 2 = 204 \text{ mm}.$$

Tishli g'ildirak eni,

$$b_2 = \psi_{ba} a_{w\ddot{o}\ddot{a}\dot{c}} = 0,4 \cdot 125 = 50 \text{ mm}.$$

Shesternyaning eni,

$$b_1 = b_2 + 5 = 50 + 5 = 55 \text{ mm}.$$

Shesternya enining diametr koeffitsiyentini aniqlaymiz,

$$\psi_{bd} = \frac{b_1}{d_1} = \frac{55}{50} = 1,1.$$

Sekinyurar pog'ona tishli g'ildiraklarining aylanma tezligi,

$$v = \frac{\omega d_1}{2} = \frac{152,29 \cdot 50}{2 \cdot 10^3} = 3,8 \text{ m/s}.$$

$V = 3,8 \text{ m/s}$  da qiya tishli g'ildiraklar aniqlik darajasini 8 deb qabul qilamiz (32-bet [4]).

Yuklanish koeffitsiyenti,

$$K_H = K_{H\beta} K_{H\alpha} K_{H\nu},$$

bu yerda:  $K_{H\alpha}$  -yuklamaning tishlararo taqsimlanishini hisobga oluvchi koeffitsiyent, aylanma tezligi  $v=10 \text{ m/s}$  gacha va aniqlik darjasasi 8 bo'lgan qiya tishli g'ildiraklar uchun  $K_{H\alpha} = 1,05 \div 1,15$  chegarasida olish tavsiya etiladi,  $K_{H\alpha} = 1,08$ ;  $K_{H\beta}$  -tishli g'ildirak gardishi bo'yicha yuklamaning notekis taqsimlanishini hisobga

oluvchi koeffitsiyent,  $K_{H\beta} = 1,15$ ;  $K_{H\nu}$ -tishli g'ildiraklar aylana tezligi  $v$  va ularning tayyorlanishdagi aniqlik darajasiga bog'liqlikda aniqlanuvchi dinamik koeffitsiyent, aylanma tezligi  $v=10$  m/s gacha va aniqlik darajasi 8 bo'lgan qiya tishli g'ildiraklar uchun  $K_{H\nu} = 1,0 \div 1,05$  chegarasida olish tavsiya etiladi,  $K_{H\nu} = 1,0$  deb qabul qilamiz (32-bet [4]).

Shunda,

$$K_H = K_{H\beta} K_{H\alpha} K_{H\nu} = 1,15 \cdot 1,08 \cdot 1,0 = 1,242.$$

Kontakt kuchlanishni quyidagi formula bo'yicha tekshiramiz:

$$\sigma_H = \frac{270}{a_{w\partial\partial\zeta}} \sqrt{\frac{T_2 K_H (u+1)^3}{b_2 u^2}} = \frac{270}{125} \sqrt{\frac{152,27 \cdot 10^3 \cdot 1,242 \cdot (4+1)^3}{50 \cdot 4^2}} = 2,16 \cdot 171,9 = 371 \text{ MPa}$$

$$\sigma_H < [\sigma_H].$$

$$371 \text{ MPa} < 410 \text{ MPa}.$$

Tezyurar pog'onadagi tishli ilashmaga ta'sir etuvchi kuchlar: aylanma kuch,

$$F_{t1} = \frac{2T_1}{d_1} = \frac{2 \cdot 39,25 \cdot 10^3}{50} = 1570 \text{ N};$$

radial kuch,

$$F_{r1} = F_{t1} \frac{\tg \alpha}{\cos \beta} = 1570 \cdot \frac{\tg 20^\circ}{\cos 16^\circ 26'} = 1570 \cdot \frac{0,3640}{0,96} = 595 \text{ N};$$

bo'ylama kuch,

$$F_{a1} = F_{t1} \tg \beta = 1570 \cdot \tg 16^\circ 26' = 1570 \cdot 0,2917 = 458 \text{ N}.$$

Sekinyurar pog'ona tishlarini egilishdagi kuchlanish bo'yicha mustahkamlikka tekshiramiz:

$$\sigma_F = \frac{F_t K_F Y_F Y_\beta K_{F\alpha}}{bm_n} \leq [\sigma_F].$$

bu yerda:  $K_F = K_{F\beta} K_{F\nu}$  -yuklanish koeffitsiyenti,  $K_{F\beta} = 1,17$  - tish uzunligi bo'yicha yuklamaning notekis taqsimlanishini hisobga oluvchi koeffitsiyent,  $K_{F\nu} = 1,25$  -yuklamaning dinamik ta'sirini hisobga oluvchi koeffitsiyent (3.7-, 3.8-jadvallar [4]). Shunda,

$K_F = 1,17 \cdot 1,25 = 1,46$ ;  $Y_\beta$  -xatoliklarni kompensatsiyalash uchun kiritilgan koeffitsiyent;  $K_{F\alpha}$  - yuklamaning tishlararo notekis taqsimlanishini hisobga oluvchi koeffitsiyent;  $Y_F$  -tish shaklini hisobga oluvchi va tishlar ekvivalent soni  $z_v$  ga bog'liq bo'lgan koefitsiyent (42-bet [4]):

shesternyaniki,

$$z_{v1} = \frac{z_1}{\cos^3 \beta} = \frac{24}{0,96^3} = \frac{24}{0,8847} = 27; Y_{F1} = 3,88,$$

tishli g'ildirakniki,

$$z_{v2} = \frac{z_2}{\cos^3 \beta} = \frac{100}{0,96^3} = \frac{100}{0,8847} = 113; Y_{F2} = 3,60.$$

Ruxsat etilgan kuchlanish,

$$[\sigma_F] = \frac{\sigma_{F\limb}^0}{[S_F]},$$

bu yerda:  $[S_F]$  -xavfsizlik koeffitsiyenti,  $[S_F] = [S_F]' \cdot [S_F]'' = 1,75 \cdot 1 = 1,75$ ,  $[S_F]' = 1,75$ -tishli g'ildiraklar materiali sifatining nobarqarorligini hisobga oluvchi koeffitsiyent (3.9-jadval [4]),  $[S_F]'' = 1$ -tishli g'ildirak zagotovkasining olinish usullarini hisobga oluvchi koeffitsiyent (44 bet [4]);  $\sigma_{F\limb}^0$  -sikllarning asosiy soniga mos keluvchi mustahkamlik chegarasi (3.9-jadval [4]),

shesternya uchun,

$$\sigma_{F\limb}^0 = 1,8HB_1 = 1,8 \cdot 230 = 415 \text{ MPa},$$

tishli g'ildirak uchun,

$$\sigma_{F\limb}^0 = 1,8HB_2 = 1,8 \cdot 200 = 360 \text{ MPa}.$$

Shunda, ruxsat etilgan kuchlanish quyidagicha:

shesternya uchun,

$$[\sigma_{F1}] = \frac{415}{1,75} = 237 \text{ MPa},$$

tishli g'ildirak uchun,

$$[\sigma_{F2}] = \frac{360}{1,75} = 206 \text{ MPa.}$$

Quyidagi munosabatni  $\frac{[\sigma_F]}{Y_F}$ , ya'ni shesternya va tishli g'ildirak uchun ruxsat etilgan kuchlanishni ularning tishlarining shakliga nisbatini hisoblaymiz:

shesternya uchun,

$$\frac{[\sigma_{F1}]}{Y_{F1}} = \frac{237}{3,88} = 61,1 \text{ MPa,}$$

tishli g'ildirak uchun,

$$\frac{[\sigma_{F2}]}{Y_{F2}} = \frac{206}{3,60} = 57,2 \text{ MPa.}$$

Keyingi hisob-kitoblarni yuqoridagi munosabatning kichik qiyamatdagisi, ya'ni tishli g'ildirak uchun davom ettiramiz.

$Y_\beta$  va  $K_{F\alpha}$  koeffitsiyentlarni aniqlaymiz (46 va 47 betlar [4]):

$$Y_\beta = 1 - \frac{\beta^\circ}{140} = 1 - \frac{16^\circ 26'}{140} = 1 - 0,12 = 0,88;$$

$$K_{F\alpha} = \frac{4 + (\varepsilon_\alpha - 1)(n - 5)}{4\varepsilon_\alpha} = \frac{4 + (1,5 - 1) \cdot (8 - 5)}{4 \cdot 1,5} = \frac{5,5}{6} = 0,92$$

bu yerda:  $\varepsilon_\alpha$  - yonlama qoplanish koeffitsiyenti,  $\varepsilon_\alpha = 1,5$ ; n-tishli g'ildirak aniqlik darajasi, n=8.

Tishli g'ildirak tishining mustahkamligini tekshiramiz:

$$\sigma_{F2} = \frac{F_{t1} K_F Y_{F2} Y_\beta K_{F\alpha}}{b_2 m_n} \leq [\sigma_{F2}];$$

$$\sigma_{F2} = \frac{1570 \cdot 1,46 \cdot 3,60 \cdot 0,88 \cdot 0,92}{50 \cdot 2} = 66,8 \text{ MPa} < [\sigma_{F2}] = 206 \text{ MPa.}$$

Mustahkamlik sharti bajarilmoqda.

### II.2.3. Reduktor vallarining dastlabki hisobi

Kamaytirilgan ruxsat etilgan kuchlanish bo'yicha buralishga dastlabki hisobni o'tkazamiz. Bunda vallarning, shesternya, tishli g'ildirak va podshipnik osti diametrlarini aniqlab eskizini chizamiz.

1. Buralishga ruxsat etilgan kuchlanish qiymati  $[\tau_\delta] = 25 \text{ MPa}$  bo'lganda yetaklovchi valning eng kichik diametri quyidagi formula bo'yicha aniqlanadi:

$$d_{v1} = \sqrt[3]{\frac{16T_1}{\pi[\tau_\delta]}} = \sqrt[3]{\frac{16 \cdot 39,25 \cdot 10^3}{3,14 \cdot 25}} = \sqrt[3]{\frac{628 \cdot 10^3}{78,5}} = 20 \text{ mm.}$$

Val diametrini quyidagicha qabul qilamiz:  $d_{v1} = d_{dv} = 38 \text{ mm}$ ; tanlangan dvigatel valining diametri  $d_{dv} = 38 \text{ mm}$  (P2 [4]).

Podshipnik osti bo'ynining diametri  $d_{n1} = 45 \text{ mm}$ . Shesternya val bilan birgalikda tayyorlangan (II.8-rasm).

2. Buralishga ruxsat etilgan kuchlanish qiymati  $[\tau_\delta] = 15 \text{ MPa}$  bo'yicha oraliq valning xavfli kesimi diametrini (shesternya osti diametri) aniqlaymiz:

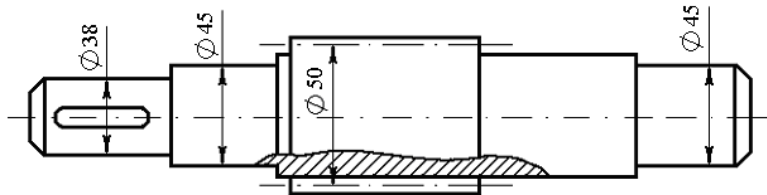
$$d_{\kappa3} = \sqrt[3]{\frac{16T_2}{\pi[\tau_\delta]}} = \sqrt[3]{\frac{16 \cdot 152,27 \cdot 10^3}{3,14 \cdot 15}} = \sqrt[3]{\frac{2436,32 \cdot 10^3}{47,1}} = 37,3 \text{ mm.}$$

Shesternya osti diametrini  $d_{\kappa3} = 40 \text{ mm}$ , tishli g'ildirak osti diametrini ham  $d_{\kappa2} = 40 \text{ mm}$  deb; podshipnik osti bo'ynining diametrini  $d_{n2} = 35 \text{ mm}$ ; bo'rtiq diametri  $d_{\delta2} = 45 \text{ mm}$  deb qabul qilamiz (II.9 -rasm).

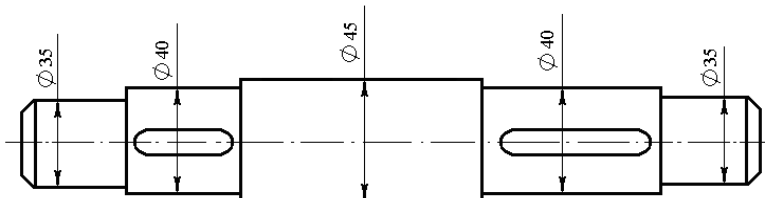
3. Buralishga ruxsat etilgan kuchlanish qiymati  $[\tau_\delta] = 25 \text{ MPa}$  bo'lganda yetaklanuvchi valning chiqish diametrini aniqlaymiz:

$$d_{v3} = \sqrt[3]{\frac{16T_3}{\pi[\tau_\delta]}} = \sqrt[3]{\frac{16 \cdot 524,76 \cdot 10^3}{3,14 \cdot 25}} = \sqrt[3]{\frac{8396,16 \cdot 10^3}{78,5}} = 47,5 \text{ mm.}$$

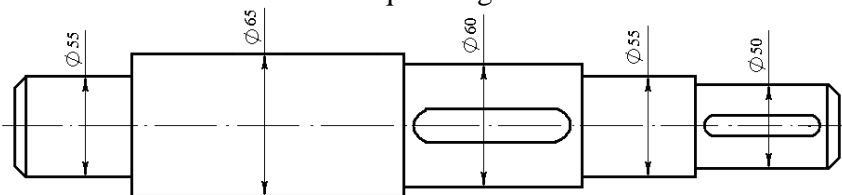
Val diametrini  $d_{v3} = 50 \text{ mm}$ , podshipnik osti bo'ynining diametrini  $d_{n3} = 55 \text{ mm}$  va tishli g'ildirak osti diametrini  $d_{\kappa4} = 60 \text{ mm}$ ; bo'rtiq diametri  $d_{\delta3} = 65 \text{ mm}$  deb qabul qilamiz (II.10 -rasm).



II.8-rasm. Yetaklovchi valning eskiz chizmasi.



II.9 - rasm. Oralij valning eskiz chizmasi



II.10 - rasm. Yetaklanuvchi valning eskiz chizmasi

#### I1.2.4. Shesternyalar va tishli g‘ildiraklarning konstruktiv o‘lchamlari

Tezyurar pog‘ona:

shesternya -  $d_1 = 50$  mm,  $d_{a1} = 54$  mm,  $b_1 = 55$  mm.

tishli g‘ildirak -  $d_2 = 200$  mm,  $d_{a2} = 204$  mm,  $b_2 = 50$  mm.

Shesternyani gupchaksiz tayyorlaymiz.

Tishli g‘ildirak gupchaginiq diametri va uzunligi:

$$d_{\hat{a}o\ddot{i}} = 1,6d_{\hat{e}2} = 1,6 \cdot 40 = 64 \text{ mm};$$

$$l_{cyn} = (1,2 \div 1,5)d_{\kappa 2} = (1,2 \div 1,5) \cdot 40 = 48 \div 60 \text{ mm},$$

gupchak uzunligini  $l_{\text{a} \delta_i} = 60$  mm deb qabul qilamiz.

Tishli g'ildirak gardishining qalinligi  $\delta_0 = (2,5 \div 4)m_n = (2,5 \div 4) \cdot 2 = 5 \div 8$  mm,  $\delta_0 = 8$  mm deb qabul qilamiz.

Disk qalinligi  $C = 0,3b_2 = 0,3 \cdot 50 = 15$  mm.

Sekinyurar pog'ona:

shesternya -  $d_3 = 98$  mm,  $d_{a3} = 104$  mm,  $b_3 = 95$  mm.

tishli g'ildirak -  $d_4 = 350$  mm,  $d_{a4} = 356$  mm,  $b_4 = 90$  mm.

Shesterneyani gupchaksiz tayyorlaymiz.

Tishli g'ildirak gupchagining diametri va uzunligi:

$$d_{cyn} = 1,6d_{\kappa 4} = 1,6 \cdot 60 = 96 \text{ mm};$$

$$l_{cyn} = (1,2 \div 1,5)d_{\kappa 4} = (1,2 \div 1,5) \cdot 60 = 72 \div 90 \text{ mm},$$

gupchak uzunligini  $l_{cyn} = 80$  mm deb qabul qilamiz.

Tishli g'ildirak gardishining qalinligi qalinligi  $\delta_0 = (2,5 \div 4)m_n = (2,5 \div 4) \cdot 3 = 7,5 \div 12$  mm,  $\delta_0 = 12$  mm deb qabul qilamiz.

Disk qalinligi  $C = 0,3b_4 = 0,3 \cdot 90 = 27$  mm.

## II.2.5. Reduktor korpusining konstruktiv o'lchamlari

Korpus va qopqoqning qalinligi:  $\delta = 0,025a_{wcek} + 1 = 0,025 \cdot 224 + 1 = 6,6$  mm,  $\delta = 8$  mm deb qabul qilamiz;  $\delta_1 = 0,02a_{wcek} + 1 = 0,02 \cdot 224 + 1 = 5,48$  mm,  $\delta_1 = 8$  mm deb qabul qilamiz.

Korpus va qopqoq belbog'lari flaneslarining qalinligi: korpusning yuqori belbog'i va qopqoq belbog'i,

$$b = 1,5\delta = 1,5 \cdot 8 = 12 \text{ mm}; b_1 = 1,5\delta_1 = 1,5 \cdot 8 = 12 \text{ mm};$$

korpusning quyisi belbog'i,

$$p = 2,35\delta = 2,35 \cdot 8 = 19 \text{ mm}; p = 20 \text{ mm deb qabul qilamiz.}$$

Boltlar diametri:

poydevor boltlari,

$$d_1 = (0,03 \div 0,036)a_{w\bar{n}\bar{a}\bar{e}} + 12 = (0,03 \div 0,036) \cdot 224 + 12 = 18,72 \div 20,06 \text{ mm};$$

M 20 rezbali boltni qabul qilamiz;  
 podshipnik qopqog‘ini korpusga mahkamlovchi boltlar,  
 $d_2 = (0,7 \div 0,75)d_1 = (0,7 \div 0,75) \cdot 20 = 14 \div 15$  mm; M16 rezbali boltni qabul qilamiz;  
 qopqoqni korpusga biriktiruvchi boltlar,  
 $d_3 = (0,5 \div 0,6)d_1 = (0,5 \div 0,6) \cdot 20 = 10 \div 12$  mm; M12 rezbali boltni qabul qilamiz (8-jadval [4]).

## **II.2.6. Reduktorning bиринчи komponovkasi**

Komponovka ikki bosqichda olib boriladi. Birinchi bosqich podshipnik tanlash va tayanch reaksiyalarini aniqlashda shesternya va tishli g‘ildirakning tayanchlarga nisbatan taxminiy joylashishini aniqlash uchun xizmat qiladi.

Komponovka chizmasini bitta proeksiyada 1:1 masshtabda milimetrovka qog‘oziga chizamiz.

Qog‘oz markazida gorizontal o‘q chiziq chizamiz; keyin uchchalal val o‘q chiziqlarini markazlararo masofa bo‘yicha vertikal holatda chizib olamiz.

Shesternya va tishli g‘ildiraklarni sodda qilib, to‘rtburchak ko‘rinishida chizib olamiz; shesternya val bilan bir butun qilib bajariladi; tishli g‘ildirak gupchagi uzunligi gardish eniga teng va to‘rtburchak chegarasidan chiqib ketmasligi kerak.

Korpusning ichki devorini chizib olamiz:

a) shesternya yoni va korpusning ichki devori orasidagi oraliqni  $A_1 = 1,2\delta$  deb qabul qilamiz; agar gupchak bo‘lsa, oraliq gupchak yonidan olinadi;

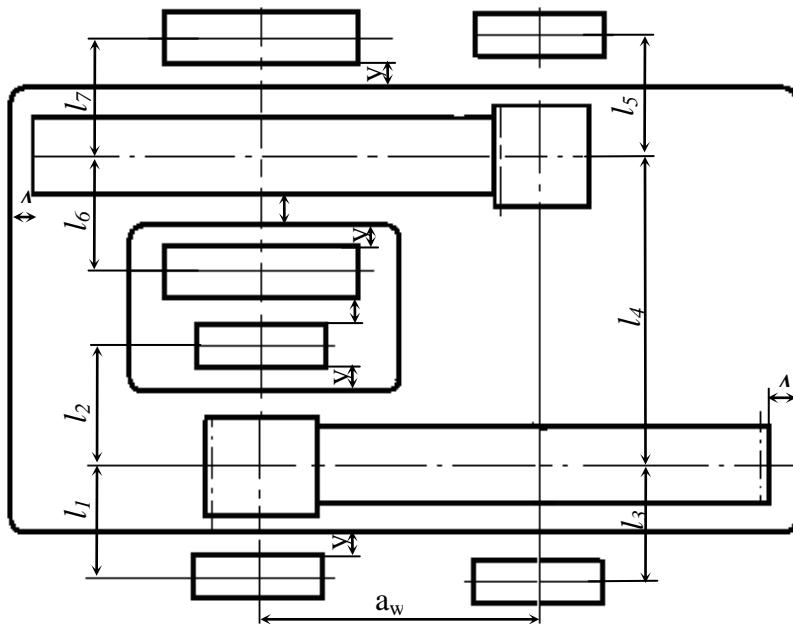
b) tishli g‘ildirak tashqi aylanasidan diametridan korpus ichki devorigacha bo‘lgan oraliqni  $A = \delta$  deb qabul qilamiz;

d) yetakchi val podshipnigi tashqi halqasi va korpusning ichki devori orasidagi oraliqni  $A = \delta$  deb qabul qilamiz; agar shesternya tashqi aylanasi diametri podshipnik tashqi diametridan katta bo‘lsa, A oraliq shesternyadan boshlab olinadi.

Yetaklovchi va yetaklanuvchi vallar uchun o'rta seriyali radial zo'ldirli podshikniklar va oraliq val uchun o'rta seriyali qisqa silindirik rolikli podshipniklarni tanlab olamiz.

t/r	Val	Podshipnikning shartli belgilanishi	d	D	B	Yuk ko'taruvchanligi	
			O'lchamlari, mm	C, kN	C <sub>0</sub> , kN		
1	Yetakchi val	309	45	100	25	52,7	30,0
2	Oraliq val	32304A	35	80	21	64,4	35,0
3	Yetaklanuvchi val	315	55	120	29	71,5	41,5

Ushbu komponovka (II.11-rasm)dan kerakli o'lchamlarni o'lchab olamiz.



II.11 - rasm. Reduktoring birinchi komponovkasi

## II.2.7. Podshipniklarning umrboqiyligini tekshirish

**Yetaklovchi val** (II.12-rasm). Yuqoridagi hisob-kitoblardan quyidagilar ma'lum:  $F_{r1} = 324,7 \text{ N}$ ;  $F_{a1} = 167,7 \text{ N}$ ;  $F_{t1} = 876,1 \text{ N}$ ;  $d_1 = 45 \text{ mm}$ ;  $l_1 = 64 \text{ mm}$ ;  $l_2 = 64 \text{ mm}$ .

$$M = F_{t1} \cdot \frac{d_1}{2} = 167,7 \cdot \frac{45}{2} = 3773,25$$

Tayanchlardagi reaksiya kuchlarini aniqlaymiz:  
vertikal ,“V” tekisligida,

$$\sum M_a = 0; \quad F_r \cdot l_1 + M - B_V(l_1 + l_2) = 0$$

$$B_V = \frac{1}{l_1 + l_2} (F_r l_1 + M) = \frac{1}{64 + 64} (324,7 \cdot 64 + 3773,25) = 191,83 \text{ N};$$

$$\sum M_b = 0; \quad A_V(l_1 + l_2) + M - F_r \cdot l_2 = 0$$

$$A_V = \frac{1}{l_1 + l_2} (M - F_r \cdot l_2) = \frac{1}{64 + 64} (3773,25 - 324,7 \cdot 64) = 132,87 \text{ H};$$

$$\begin{aligned} \text{Tekshiruv: } \sum Y &= 0; \quad A_V + B_V - F_r = 0 \\ &\rightarrow 132,87 + 191,83 - 324,7 = 0 \end{aligned}$$

“H”- gorizontal tekislikda,

$$\sum M_a = 0; \quad F_t \cdot l_1 - B_H(l_1 + l_2) = 0$$

$$B_H = \frac{F_t l_1}{l_1 + l_2} = \frac{876,1 \cdot 64}{64 + 64} = 438,05 \text{ H};$$

$$\sum M_b = 0; \quad A_H(l_1 + l_2) - F_t \cdot l_2 = 0$$

$$A_H = \frac{F_t l_2}{l_1 + l_2} = \frac{876,1 \cdot 64}{64 + 64} = 438,05 \text{ H};$$

$$\begin{aligned} \text{Tekshiruv: } \sum Y &= 0; \quad A_H + B_H - F_t = 0 \\ &\rightarrow 438,05 + 438,05 - 876,1 = 0 \end{aligned}$$

Natijaviy reaksiya kuchlari:

$$B = \sqrt{B_V^2 + B_H^2} = \sqrt{191,83^2 + 438,05^2} = \sqrt{36798,75 + 191887,8} = 478,2$$

$$A = \sqrt{A_V^2 + A_H^2} = \sqrt{132,87^2 + 438,05^2} = \sqrt{17654,43 + 191887,8} = 5049,37 \text{ N};$$

Demak, birinchi tayanchdagi podshipnik ko‘proq yuklangani uchun ushbu podshipnikni umrboqiylikka hisoblaymiz.

Podshipnik:

-Shartli belgisi №309,

garabit o‘lchamlari:  $d = 45 \text{ mm}$ ;  $D = 100 \text{ mm}$ ;  $B = 25 \text{ mm}$ ;

Yuk ko‘taruvchanligi:

- statikaviy  $C = 52,7 \text{ kN}$ ;

- dinamikaviy  $C_0 = 30,0 \text{ kN}$ .

Ekvivalent yuklama:

$$R_{ekv} = (XVF_{r1} + YF_{a1})K_X K_T,$$

bu yerda:  $F_{r1} = 324,7 \text{ N}$ -radial yuklama;  $F_{a1} = 167,7 \text{ N}$  – bo‘ylama yuklama;  $V$ -podshipnik ichki va tashqi halqasining aylanishini hisobga oluvchi koefitsiyent, ichki halqa aylanganda  $V=1$ , tashqi halqa aylanganda  $V = 1,2$  olinadi, ushbu holatda  $V = 1$ , ya‘ni podshipnik ichki halqasi aylanadi;  $K_X = 1$  - lentali konveyer yuritmasi uchun havfsizlik koefitsiyenti;  $K_T = 1$  -harorat koefitsiyenti.

$$\text{Munosabat } \frac{F_{a1}}{C_0} = \frac{167,7}{30000} = 0,0056; \text{ bu qiymat 9.18-jadval[4]}$$

bo‘yicha  $e = 0,19$  ga mos keladi.

$$\text{Munosabat } \frac{F_{a1}}{F_{r1}} = \frac{167,7}{324,7} = 0,576 > e = 0,19; X=0,56 \text{ ba } Y=2,30$$

Ekvivalent yuklama:

$$R_{ekv} = (XVF_{r1} + YF_{a1})K_X K_T = (0,56 \cdot 1 \cdot 324,7 + 2,3 \cdot 167,7) \cdot 1 \cdot 1 = 567,54 \text{ N};$$

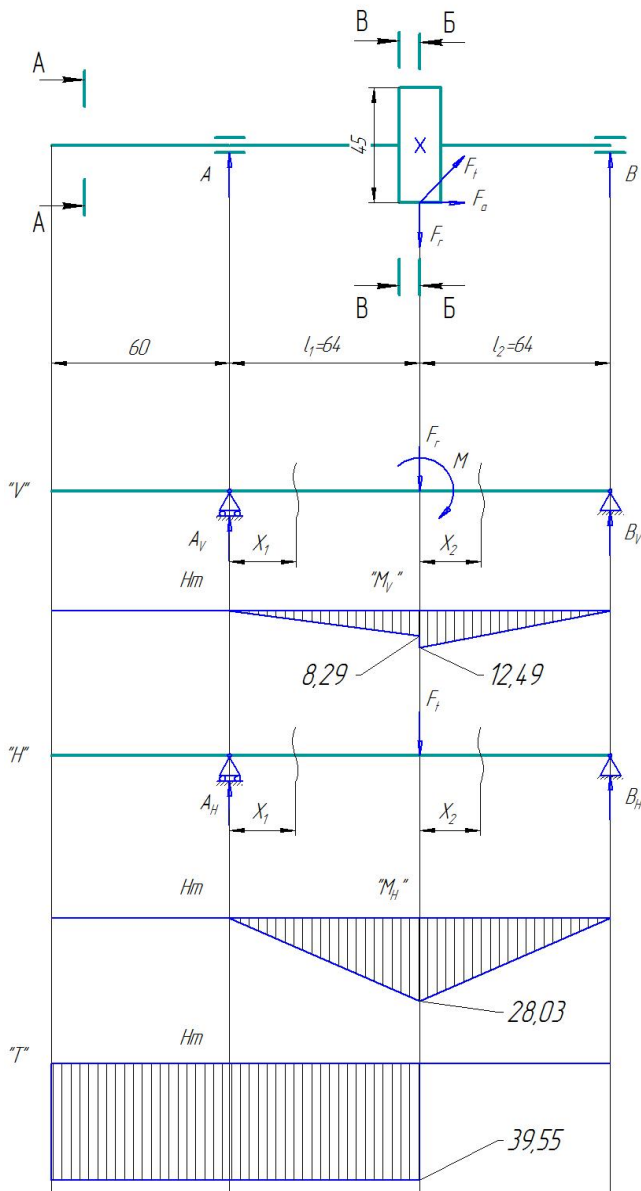
Hisobiy umrboqiylik, million ayl.

$$L = \left( \frac{C}{R_{ekv}} \right)^3 = \left( \frac{52,7 \cdot 10^3}{567,54} \right)^3 \approx 92,85 \text{ mln.ayl}$$

Hisobiy umrboqiylik, soat.

$$L_h = \frac{L \cdot 10^6}{60 \cdot n_1} = \frac{92,85 \cdot 10^6}{60 \cdot 1444} = 1071,7$$

Bu miqdor yetakchi val podshipniklarini har 1000 soatda almashtirib turish lozimligini ko'rsatadi



II.12-rasm. Etaklovchi val hisobiy sxemasi.

Eguvchi momentlarni aniqlaymiz va epyularini quramiz:  
Vertikal “V”- tekislikda:

$$I \text{uchastka } 0 \leq X_1 \leq l_1 = 64$$

$$M_{x1} = A_V \cdot X_1 ;$$

$$M_{x1=0} = 0;$$

$$M_{x1=l_1} = A_V \cdot l_1 = 129,6 \cdot 64 = 8294,4 .$$

$$II \text{uchastka } 0 \leq X_2 \leq l_2 = 64$$

$$M_{x2} = A_V \cdot (l_1 + X_2) - F_r \cdot X_2 + M ;$$

$$M_{x2=0} = A_V \cdot l_1 + M = 129,6 \cdot 64 + 4192,5 = 12486,9 ;$$

$$M_{x2=l_2} = A_V \cdot (l_1 + l_2) - F_r \cdot l_2 + M = 129,6(64 + 64)$$

$$- 324,7 \cdot 64 + 4192,5 = 0$$

Gorizontal “H” – tekislikda:

$$I \text{uchastka } 0 \leq X_1 \leq l_1 = 64$$

$$M_{x1} = A_H \cdot X_1 ;$$

$$M_{x1=0} = 0 ;$$

$$M_{x1=l_1} = A_H \cdot l_1 = 438,05 \cdot 64 = 28035,2 .$$

$$II \text{uchastka } 0 \leq X_2 \leq l_2 = 64$$

$$M_{x2} = A_H \cdot (l_1 + X_2) - F_t \cdot X_2 ;$$

$$M_{x2=0} = A_H \cdot (l_1 + X_2) = 438,05 \cdot 64 = 28035,2 ;$$

$$M_{x2=l_2} = A_H \cdot (l_1 + l_2) - F_t \cdot l_2 = 438,05(64 + 64) - 876,1 \cdot 64 = 0$$

“T” –burovchi moment epyurasni:

$$T_1 = 9550 \frac{P_1}{n_1} = 9550 \cdot \frac{5,98}{1444} = 39,55 \text{HM.}$$

**Oraliq val** (II.13-rasm). yuqoridagi hisob-kitoblardan quyidagilar ma‘lum:  $F_{r1} = 324,7 \text{ H}$ ;  $F_{a1} = 876,1 \text{ H}$ ;  $F_{t1} = 167,7 \text{ H}$ ;  $F_{r2} = 1157 \text{ H}$ ;  $F_{a2} = 667,2 \text{ H}$ ;  $F_{t2} = 3107,55 \text{ H}$ ;  $d_2 = 358,4 \text{ MM}$ ;  $d_3 = 98 \text{ MM}$ ;  $l_3 = 64 \text{ MM}$ ;  $l_4 = 128 \text{ MM}$ ;  $l_5 = 64 \text{ MM}$ ;

$$M_1 = F_{a1} \cdot \frac{d_2}{2} = 167,7 \cdot \frac{358,4}{2} = 30051,84$$

$$M_2 = F_{a2} \cdot \frac{d_3}{2} = 607,2 \cdot \frac{98}{2} = 32692,8$$

Tayanchlardagi reaksiya kuchlarini aniqlaymiz:

Vertical "V"- tekislikda:

$$\sum M_b = 0; \quad A_V(l_3 + l_4 + l_5) - F_{r1}(l_4 + l_5) + M_1 - M_2 - F_{r2} \cdot l_5 = 0$$

$$A_V = \frac{1}{(l_3 + l_4 + l_5)} (F_{r1}(l_4 + l_5) - M_1 + M_2 + F_{r2} \cdot l_5) = \\ = \frac{1}{(l_3 + l_4 + l_5)} (324,7(128 + 64) - 30051,84 + 32692,8 + 1157 \cdot 64) = \\ = 543,1 H;$$

$$\sum M_a = 0;$$

$$F_{r1} \cdot l_1 + M_1 - M_2 + F_{r1}(l_3 + l_4) - B_V(l_3 + l_4 + l_5) = 0$$

$$B_V = \frac{1}{(l_3 + l_4 + l_5)} (F_{r1} \cdot l_3 + M_1 - M_2 + F_{r2}(l_3 + l_4)) = \\ = \frac{1}{(64 + 128 + 64)} (324,7 \cdot 64 + 30051,84 - 32692,8 + 1157(64 + 128)) = \\ = 938,61 N;$$

$$\text{Tekshiruv: } \sum Y = 0; \quad A_V - F_{r1} - F_{r2} + B_V = 0 \\ \rightarrow 543,1 - 324,7 - 1157 + 938,61 = 0$$

Gorizontal "H"- tekislikda:

$$\sum M_b = 0; \quad A_H(l_3 + l_4 + l_5) + F_{t1}(l_4 + l_5) - F_{t2} \cdot l_5 = 0$$

$$A_H = \frac{1}{(l_3 + l_4 + l_5)} (F_{t1}(l_4 + l_5) - F_{t2} \cdot l_5) = \\ = \frac{1}{(64 + 128 + 64)} (876,1(128 + 64) - 3107,55 \cdot 64) = 119,81 H;$$

$$\sum M_a = 0; \quad -F_{t1} \cdot l_3 + F_{t2}(l_3 + l_4) - B_H(l_3 + l_4 + l_5) = 0$$

$$B_H = \frac{1}{(l_3 + l_4 + l_5)} (-F_{t1} \cdot l_3 + F_{t2} (l_3 + l_4)) =$$

$$= \frac{1}{(64+128+64)} (-876,1 \cdot 64 + 3107,55 (64+128)) = 2111,64 H;$$

Tekshiruv:  $\sum Y = 0; A_H + F_{t1} - F_{t2} + B_H = 0$   
 $\rightarrow 119,81 + 876,1 - 3107,55 + 2111,64 = 0$

Natijaviy reaksiya kuchlari:

$$A = \sqrt{A_V^2 + A_H^2} = \sqrt{119,81^2 + 543,1^2} = 556,16 N;$$

$$B = \sqrt{B_V^2 + B_H^2} = \sqrt{2111,64^2 + 938,61^2} = 2310,85 N.$$

Demak, ikkinchi tayanchdagи podshipnik ko‘proq yuklangan. Shuning uchun uning umrboqiyligini teksiramiz:

Podshipnikng ko‘rsatkichlari:

- Shartli belgisi №32307A- qisqa silindrik rolikli radial, d=35 мм; D=80 мм; B=21 мм; C=64,4 кN; C<sub>0</sub>=35,0 кN.

Ekvivalent yuklama:

$$R_{ekv} = F_{r1} \cdot V \cdot K_X \cdot K_T = B \cdot 1 \cdot 1 \cdot 1 = 2310,85 N;$$

Hisobiy umrboqiylik, million aylanishlarda:

$$L = \left( \frac{C}{R_{ekv}} \right)^3 = \left( \frac{64,4 \cdot 10^3}{2310,85} \right)^3 = 1,366 \text{ mln.ayl.}$$

Hisobiy umrboqiylik , soatlarda:

$$L_h = \frac{L \cdot 10^6}{60 \cdot n_1} = \frac{1,366 \cdot 10^6}{60 \cdot 363,75} = 62,59 \text{ soat}$$

221-bet [4] dagi tavsiyaga asosan:

R<sub>ekv</sub> aniqlangach,yuklanishi kattaroq bo‘lgan tayanchdagи podshipnikning dinamikaviy yuk ko‘taruvchanligini jadval 9,25 [4] dan L<sub>h</sub> ning qiymatini podshipnik aylanislari chastotasi n ga bog‘liq tarzda tanlanadi..

Tishli reduktorlarga ГОСТ 16162-85 bo‘yicha L<sub>h min</sub> =10000 soat belgilangani uchun n = 363,75 da jadval 9,25 [4] bo‘yicha

$$\frac{C}{R_{ekv}} = 5,0 \text{ bo'ldi. Bundan } C_{his} = R_{ekv} \cdot 5 = 2310,85 \cdot 5 = 11554,25 N.$$

32307A belgili podshipnik uchun  $[C]=64400N$  ekanini e'tiborga olsak,  $C_{his} < [C]$  shart bajarilishini va podshipnikni har 10000 soatda almashtirib turilishi kerakligini aniqlaymiz.

Oraliq val epyuralarini qurish.

“V”- vertical tekislikda:

$$I uchastka \quad 0 \leq X_1 \leq l_3 = 64$$

$$M_{x1} = A_V \cdot X_1 ;$$

$$M_{x1=0} = 0;$$

$$M_{x1=l_3} = A_V \cdot l_3 = 531,1 \cdot 64 = 33990,4 .$$

$$II uchastka \quad 0 \leq X_2 \leq l_4 = 128$$

$$M_{x2} = A_V \cdot (l_3 + X_2) + M - F_{r1} \cdot X_2 ;$$

$$M_{x2=0} = A_V \cdot l_3 + M = 531,1 \cdot 64 + 30051,8 = 64042,2 ;$$

$$M_{x2=l_4} = A_V \cdot (l_3 + l_4) + M - F_{r1} \cdot l_4 =$$

$$= 531,1(64 + 128) + 30051,8 - 324,7 \cdot 128 = 900461,4 .$$

$$III uchastka \quad 0 \leq X_3 \leq l_5 = 64$$

$$M_{x3} = A_V \cdot (l_3 + l_4 + X_3) + M_1 - F_{r1}(l_4 + X_3) - M_2 - F_{r2} \cdot X_3 ;$$

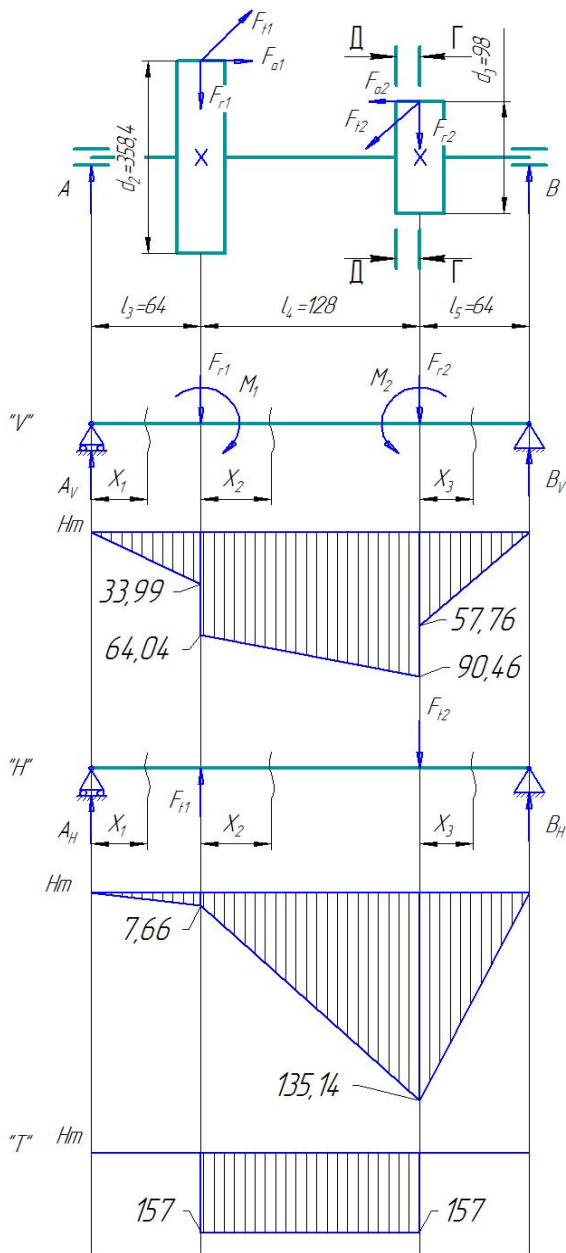
$$M_{x3=0} = A_V \cdot (l_3 + l_4) + M_1 - F_{r1} \cdot l_4 - M_2 =$$

$$= 531,1(64 + 128) + 30051,8 - 324,7 \cdot 128 - 32692,8 = 57768,6 ;$$

$$M_{x3=l_5} = A_V \cdot (l_3 + l_4 + l_5) + M_1 - F_{r1}(l_4 + l_5) - M_2 - F_{r2} \cdot l_5 =$$

$$= 531,1(64 + 128 + 64) + 30051,8 - 324,7(128 + 64) -$$

$$- 32692,8 - 1157 \cdot 64 = 0 .$$



II.13- rasm. Oraliq valning hisoblash sxemasi.

“H”- gorizontal tekislikda:

$$I \text{uchastka } 0 \leq X_1 \leq l_3 = 64$$

$$M_{x1} = A_H \cdot X_1 ;$$

$$M_{x1=0} = 0;$$

$$M_{x1=l_3} = A_H \cdot l_3 = 119,81 \cdot 64 = 7667,84.$$

$$II \text{uchastka } 0 \leq X_2 \leq l_4 = 128$$

$$M_{x2} = A_H \cdot (l_3 + X_2) + F_{r1} \cdot X_2 ;$$

$$M_{x2=0} = A_H \cdot l_4 = 119,81 \cdot 64 = 7667,84 ;$$

$$\begin{aligned} M_{x2=l_4} &= A_H \cdot (l_3 + l_4) + F_{r1} \cdot l_4 = 119,81(64 + 128) - \\ &- 876,1 \cdot 128 = 135144,32 \end{aligned}$$

$$III \text{uchastka } 0 \leq X_3 \leq l_5 = 64$$

$$M_{x3} = A_H \cdot (l_3 + l_4 + X_3) + F_{r1}(l_4 + X_3) - F_{r2} \cdot X_3 ;$$

$$M_{x3=0} = A_H \cdot (l_3 + l_4) + F_{r1} \cdot l_4 = 119,81(64 + 128) + 876,1 \cdot 128 = 135144,32 ;$$

$$M_{x3=l_5} = A_H \cdot (l_3 + l_4 + l_5) + F_{r1}(l_4 + l_5) - F_{r2} \cdot l_4 =$$

$$= 119,81(64 + 128 + 64) - 876,1(128 + 64) - 3107,55 \cdot 64 = 0.$$

“T”- burovchi moment epyurasi :

$$T_2 = F_{r1} \frac{d_2}{2} = 876,1 \cdot \frac{358,4}{2} = 156997 \approx 157 \text{ Hm.}$$

**Etaklanuvchi val (II.14-rasm).** Yuqoridagi hisoblashlardan quyidagilar ma'lum:  $F_{r2} = 3987 \text{ H}$ ;  $F_{a2} = 2299 \text{ H}$ ;  $F_{r2} = 10709 \text{ H}$ ;

$$d_4 = 350 \quad \text{MM}; \quad l_6 = 64 \quad \text{MM}; \quad l_7 = 64 \quad \text{MM};$$

$$M = F_{a2} \cdot \frac{d_4}{2} = 2299 \cdot \frac{350}{2} = 402325 \text{ Nmm.}$$

Tayanchlardagi reaksiya kuchlarini aniqlaymiz.

“V”- Vertikal tekislikda:

$$\sum M_b = 0; \quad A_V(l_6 + l_7) - M - F_{r2} \cdot l_7 = 0$$

$$A_V = \frac{1}{l_6 + l_7} (M + F_{r2} l_7) = \frac{1}{64 + 64} (402325 + 3987 \cdot 64) = 5136,66 \text{ N};$$

$$\sum M_a = 0; \quad -M + F_{r2} \cdot l_6 - B_V(l_6 + l_7) = 0$$

$$B_V = \frac{1}{l_6 + l_7} (F_{r2} \cdot l_6 - M) = \frac{1}{64 + 64} (3987 \cdot 64 - 402325) = -1149,66$$

$$\text{N};$$

$$\text{Tekshiruv: } \sum Y = 0; \quad A_V + B_V - F_{r2} = 0$$

$$\rightarrow 5136,66 - 1149,66 - 3987 = 0$$

“H”- gorizontal tekislikda:

$$\sum M_b = 0; \quad A_H(l_6 + l_7) - F_{t2} \cdot l_7 = 0$$

$$A_H = \frac{F_{t2} \cdot l_7}{(l_6 + l_7)} = \frac{10709 \cdot 64}{64 + 64} = 5354,5 \text{ N};$$

$$\sum M_a = 0; \quad F_{t2} \cdot l_6 - B_H(l_6 + l_7) = 0$$

$$B_H = \frac{F_{t2} \cdot l_6}{(l_6 + l_7)} = \frac{10709 \cdot 64}{64 + 64} = 5354,5 \text{ N};$$

$$\text{Tekshiruv: } \sum Y = 0; \quad A_H + B_H - F_{t2} = 0$$

$$\rightarrow 5354,5 + 5354,5 - 10709 = 0$$

Natijaviy reaksiya kuchlari:

$$A = \sqrt{A_V^2 + A_H^2} = \sqrt{5354,5^2 + 5136,66^2} =$$

$$\sqrt{28670670 + 26385317} = \sqrt{55055987} \approx 7420 \text{ N};$$

$$B = \sqrt{B_V^2 + B_H^2} = \sqrt{5354,5^2 + (-1149,66)^2} =$$

$$= \sqrt{28670670 + 1321727,3} = \sqrt{29992397} = 5476,53 \text{ N};$$

“A” tayanchdagı podshipnik ko‘proq yuklangani uchun ushbu podshipnik umrboqiyligini tekshiramiz:

Podshipnikning ko‘rsatkichlari:

- Shartli belgisi №315,

- Gabarit o‘lchamlari:

$d=75 \text{ MM}$ ;  $D=120 \text{ MM}$ ;  $B=29 \text{ MM}$ ;

Yuk ko‘taruvchanligi:

- statikaviy  $C= 71,5 \text{ kN}$ ;

- dinamikaviy  $C_0= 41,5 \text{ kN}$ .

Ekvivalent yuklama:

$$R_{ekv} = (XVF_r + YF_a)K_X K_T,$$

bunda:  $F_{r2}=3987$  N-радиал,  $F_{a2}=2299$  N- bo'ylama yuklama;  $V=1$  – podshipnikning ichki halqasi aylanadi.  $K_X=1$ - lentali konveyer yuritmasi uchun havfsizlik koeffisiyenti;  $K_T=1$  -harorat koeffisiyenti.

$$\text{Munosabat } \frac{F_{a2}}{C_0} = \frac{2299}{41,5 \cdot 10^3} = 0,0554; \text{ bu qiymatga } e \approx 0,26$$

mos keladi.

$$\text{Munosabat } \frac{F_{a2}}{A} = \frac{2299}{7420} = 0,31 > e = 0,26; \text{ demak } X=0,56 \text{ va } Y=1,71.$$

$$R_{ekv} = (0,56 \cdot 1 \cdot 7420 + 1,71 \cdot 2299) \cdot 1 \cdot 1 = 8086,5 \text{ N.}$$

Million aylanishlarda o'lchangan umrboqiylik:

$$L = \left( \frac{C}{R_{yel}} \right)^3 = \left( \frac{71,5 \cdot 10^3}{8086,5} \right)^3 = (8,842)^3 = 691,25 \text{ mln.ayl.}$$

Soatlarda o'lchangan umrboqiylik:

$$L_h = \frac{L \cdot 10^6}{60 \cdot n_1} = \frac{691,25 \cdot 10^6}{60 \cdot 102,46} = 112,44 \cdot 10^3 \text{ soat.}$$

Egувчи momentlarni aniqlaymiz va epyurlalarini quramiz:  
“V”- vertical tekislikda:

$$I \text{ uchastka } 0 \leq X_1 \leq l_6 = 64$$

$$M_{x1} = A_V \cdot X_1;$$

$$M_{x1=0} = 0;$$

$$M_{x1=l_6} = A_V \cdot l_6 = 5136,66 \cdot 64 = 328746,5.$$

$$II \text{ uchastka } 0 \leq X_2 \leq l_2 = 64$$

$$M_{x2} = A_V \cdot (l_6 + X_2) - F_{r2} \cdot X_2 - M;$$

$$M_{x2=0} = A_V \cdot l_6 - M = 5136,66 \cdot 64 - 402325 = 731071,5;$$

$$M_{x2=l_7} = A_V \cdot (l_6 + l_7) - F_{r2} \cdot l_7 - M =$$

$$= 5136,66(64 + 64) - 3987 \cdot 64 - 402325 = 0$$

“H” – gorizontal tekislikda:

$$I \text{uchastka } 0 \leq X_1 \leq l_7 = 64$$

$$M_{x1} = A_H \cdot X_1 ;$$

$$M_{x1=0} = 0;$$

$$M_{x1=l_7} = A_H \cdot l_7 = 5354,5 \cdot 64 = 342688.$$

$$II \text{uchastka } 0 \leq X_2 \leq l_7 = 64$$

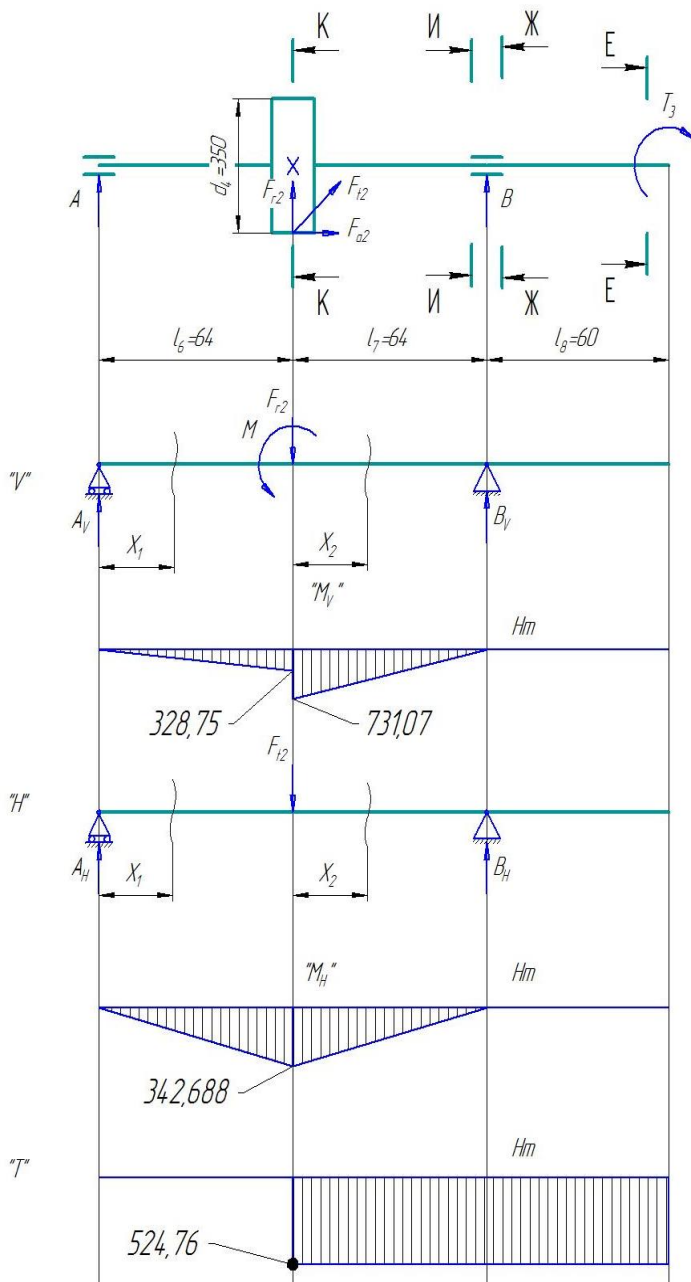
$$M_{x2} = A_H \cdot (l_6 + X_2) - F_{t2} \cdot X_2 ;$$

$$M_{x2=0} = A_H \cdot l_6 = 5354,5 \cdot 64 = 342688;$$

$$M_{x2=l_7} = A_H \cdot (l_6 + l_7) - F_{t2} \cdot l_7 = 5354,5(64+64) - 10709 \cdot 64 = 0$$

“T”- burovchi moment epyurasi:

$$T_3 = 9550 \frac{P_3}{n_3} = 9550 \cdot \frac{5,63}{102,46} = 524,76 \text{HM}$$



II.14-rasm. Etaklanuvchi valning hisoblash sxemasi.

## II.2.8. Shponkali birikmalar mustahkamligini tekshirish

Prizmatik shponkalar. Shponka kesimi o‘lchamlari o‘yiqchalari va uzunliklari FOCT 23360-78 bo‘yicha [4] (8.9-jadval).

Shponkalar materiali-normallashtirilgan po‘lat 45.

Ezilish kuchlanishi va mustahkamlik sharti quyidagi formula bo‘yicha aniqlanadi,

$$\sigma_{ez}^{\max} \approx \frac{2T}{d(h-t_1)(l-b)} \leq [\sigma_{ez}]$$

Ezilishga ruxsat etilgan kuchlanish po‘lat gupchakda  $[\sigma_{ez}] = 100 \div 120$  MPa, cho‘yan gupchakda esa  $[\sigma_{ez}] = 50 \div 70$  MPa.

**Yetaklovchi val:**  $d = 32$  mm;  $b \times h = 10 \times 8$  mm;  $t_1 = 5$  mm; shponka uzunligi  $l = 70$  mm; yetaklovchi valdag'i burovchi moment  $T_1 = 29,36 \cdot 10^3$  N·mm;

$$\sigma_{ez} = \frac{2 \cdot 29,36 \cdot 10^3}{32(8-5)(70-10)} = \frac{58720}{2880} = 20,39 \text{ MPa} < [\sigma_{ez}].$$

**Oraliq val:** shesternya va tishli g‘ildirak valga shponka yordamida biriktirilgan. Bunda esa tishli g‘ildirak osti shponkasini tekshiramiz:  $d = 45$  mm;  $b \times h = 14 \times 9$  mm;  $t_1 = 5,5$  mm; shponka uzunligi  $l = 56$  mm; oraliq valdag'i burovchi moment  $T_2 = 114,02 \cdot 10^3$  N·mm;

$$\sigma_{ez} = \frac{2 \cdot 114,02 \cdot 10^3}{45(9-5,5)(56-14)} = \frac{228040}{7560} = 34,47 \text{ MPa} < [\sigma_{ez}].$$

**Yetaklanuvchi val:** ikki shponkadan-tishli g‘ildirak osti va mufتا osti-bulardan ko‘proq yuklangani, ya‘ni ikkinchisi uchun tekshiruv o‘tkazamiz:  $d = 45$  mm;  $b \times h = 14 \times 9$  mm;  $t_1 = 5,5$  mm; shponka uzunligi  $l = 100$  mm; oraliq valdag'i burovchi moment  $T_2 = 342,8 \cdot 10^3$  N·mm;

$$\sigma_{ez} = \frac{2 \cdot 342,8 \cdot 10^3}{45(9-5,5)(100-14)} = \frac{685600}{13545} = 50,62 \text{ MPa} < [\sigma_{ez}].$$

Barcha holatlarda mustahkamlik sharti bajarilmoqda.

## II.2.9. Vallarning aniqlashtirilgan hisobi

Normal kuchlanish egilishdan simmetrik sikl, urinma kuchlanish esa buralishdan pulsatsiyalanuvchi sikl bo'yicha o'zgarayapti deb qabul qilamiz.

Aniqlashtirilgan hisob havftli kesimdag'i mustahkamlikning zahira koefitsiyenti  $s$  ni aniqlash va ularni ruxsat etilgan qiymat  $[s]$  bilan solishtirishdan iborat.  $s \geq [s]$  bo'lsa mustahkamlik ta'minlangan hisoblanadi.

Har qaysi valning havftli kesimi uchun hisob-kitob o'tkazamiz.

**Yetaklovchi val** (II.12-rasm).

Valning materiali shesternyaning materiali kabi (shesternya val bilan birgalikda tayyorlangan) po'lat 45, termik ishlovi-yaxshilangan.

3.3-jadval [4] (yoki 10-betdag'i 1-jadval) bo'yicha zagotovkaning diametri 90 mm gacha ( $d_{al} = 49$  mm) bo'lganda mustahkamlikning o'rtacha qiymati  $\sigma_B = 780$  MPa.

Egilishning simmetrik siklida mustahkamlik chegarasi,

$$\sigma_{-1} \approx 0,43 \cdot \sigma_B = 0,43 \cdot 780 = 335 \text{ MPa.}$$

Urinma kuchlanishlarning simmetrik siklida mustahkamlik chegarasi,

$$\tau_{-1} \approx 0,58 \cdot \sigma_{-1} = 0,58 \cdot 335 = 193 \text{ MPa.}$$

**A-A kesim.** Elektr dvigateldan mufta orqali burovchi momentni uzatishda bu kesimni buralishga hisoblaymiz. Shponka o'yiqchasi tufayli kuchlanishlar konsentratsiyasi vujudga keladi.

Mustahkamlikning zahira koefitsiyenti,

$$s = s_\tau = \frac{\tau_{-1}}{\frac{k_\tau}{\varepsilon_\tau} \tau_v + \psi_\tau \tau_m},$$

bu yerda pulsatsiyalanuvchi (noldan boshlanuvchi) siklning o'rtacha kuchlanish va amplitudasi,

$$\tau_v = \tau_m = \frac{\tau_{\max}}{2} = \frac{T_1}{2W_{bnetto}}$$

$d = 32$  mm;  $b = 10$  mm;  $t_1 = 5$  mm bo‘lganda [4] 8.5-jadval bo‘yicha,

$$W_{bneto} = \frac{\pi d^3}{16} - \frac{bt_1(d-t_1)^2}{2d} = \frac{3,14 \cdot 32^3}{16} - \frac{10 \cdot 5 \cdot (32-5)^2}{2 \cdot 32} = 5,88 \cdot 10^3 \text{ mm}^3;$$

$$\tau_v = \tau_m = \frac{29,36 \cdot 10^3}{2 \cdot 5,88 \cdot 10^3} = 2,5 \text{ MPa.}$$

$k_\tau = 1,68$ ,  $\varepsilon_\tau \approx 0,76$  va  $\psi_\tau \approx 0,1$  deb qabul qilamiz ([4] 8.5- va 8.8-jadval).

$$s = s_\tau = \frac{\frac{193}{1,68}}{\frac{0,76}{2,5 + 0,1 \cdot 2,5}} = 33,85.$$

Mustahkamlik zahira koeffitsiyentining bunday katta qiymatga ega bo‘lishiga sabab, loyihalash jarayonida valni elektr dvigatel vali bilan mufta orqali ulashda valning diametri kattalashtirilgan.

Shunga ko‘ra, Б-Б va B-B kesimlardagi mustahkamlikni tekshirishga hojat yo‘q.

**Oraliq val** (II.13-rasm). Val materiali-po‘lat 45, termik ishlovi-normallashtirilgan,  $\sigma_B = 570 \text{ MPa}$  ([4] 3.3-jadval).

Mustahkamlik chegaralari:  $\sigma_{-1} = 0,43 \cdot \sigma_B = 0,43 \cdot 570 = 246 \text{ MPa}$  va  $\tau_{-1} = 0,58 \cdot \sigma_{-1} = 0,58 \cdot 246 = 142 \text{ MPa}$ .

Normal kuchlanish egilishdan simmetrik sikl, urinma kuchlanish esa buralishdan pulsatsiyalanuvchi sikl bo‘yicha o‘zgarayapti deb qabul qilamiz.

Katta eguvchi moment vujudga keladigan **Г-Г** kesim uchun mustahkamlikning zahira koeffitsiyentini aniqlaymiz. Bu kesimda valning diametri 45 mm. Kuchlanishlar konsentratsiyasi shponka o‘yiqchasi hisobiga hosil bo‘ladi.

Eguvchi momentlar:

OY o‘qiga nisbatan  $M_y = 418,1 \cdot 10^3 \text{ N} \cdot \text{mm}$ ;

OX o‘qiga nisbatan  $M_x = -154,6 \cdot 10^3 \text{ N} \cdot \text{mm}$ .

Natijaviy eguvchi moment:

$$M_{\Gamma-\Gamma} = \sqrt{M_x^2 + M_y^2} = \sqrt{(418,1 \cdot 10^3)^2 + (-154,6 \cdot 10^3)^2} = \\ = \sqrt{198708,76 \cdot 10^6} = 445,77 \cdot 10^3 \text{ N} \cdot \text{mm}.$$

Kesimdagি qarshilik momentlari:

- buralishga qarshilik momenti,

$$W_{bnetto} = \frac{\pi d^3}{16} - \frac{bt_1(d-t_1)^2}{2d} = \frac{3,14 \cdot 45^3}{16} - \frac{14 \cdot 5,5 \cdot (45-5,5)^2}{2 \cdot 45} = 16,55 \cdot 10^3 \text{ Nmm};$$

bu yerda:  $d = 45 \text{ mm}$ ;  $b = 14 \text{ mm}$ ;  $t_1 = 5,5 \text{ mm}$ .

- egilishga qarshilik momenti,

$$W_{netto} = \frac{\pi d^3}{32} - \frac{bt_1(d-t_1)^2}{2d} = \frac{3,14 \cdot 45^3}{32} - \frac{14 \cdot 5,5 \cdot (45-5,5)^2}{2 \cdot 45} = 7,61 \cdot 10^3 \text{ N} \cdot \text{mm}.$$

Urinma kuchlanish sikli amplitudasi va o'rtacha kuchlanishi,

$$\tau_v = \tau_m = \frac{\tau_{\max}}{2} = \frac{T_2}{2W_{bnetto}} = \frac{114,02 \cdot 10^3}{2 \cdot 16,55 \cdot 10^3} = 3,44 \text{ MPa}.$$

Egilish kuchlanishining nominal amplitudasi,

$$\sigma_v = \sigma_{\max} = \frac{M_{\Gamma-\Gamma}}{W_{netto}} = \frac{445,77 \cdot 10^3}{7,61 \cdot 10^3} = 58,58 \text{ MPa}; \sigma_m = 0.$$

Normal kuchlanish bo'yicha mustahkamlik zahirasining koefitsiyenti,

$$s_{\sigma} = \frac{\sigma_{-1}}{\frac{k_{\sigma}}{\varepsilon_{\sigma}} \sigma_v + \psi_{\sigma} \sigma_m} = \frac{246}{\frac{1,59}{0,84} \cdot 58,58} = \frac{246}{110,88} = 2,22.$$

bu yerda:  $k_{\sigma} = 1,59$ ;  $k_{\tau} = 1,49$ ;  $\varepsilon_{\sigma} = 0,84$ ;  $\varepsilon_{\tau} = 0,72$  ([4] 8.5 va 8.8-jadvallar);  $\psi_{\sigma} \approx 0,15$ ;  $\psi_{\tau} \approx 0,1$  ([4] 163 va 166 betlar).

Urinma kuchlanish bo'yicha mustahkamlik zahirasi koefitsiyenti,

$$s_{\tau} = \frac{\tau_{-1}}{\frac{k_{\tau}}{\varepsilon_{\tau}} \tau_v + \psi_{\tau} \tau_m} = \frac{142}{\frac{1,49}{0,72} \cdot 3,44 + 0,1 \cdot 3,44} = \frac{142}{7,46} = 19,03.$$

$\Gamma-\Gamma$  kesim uchun mustahkamlikning natijaviy zahira koefitsiyenti,

$$s = \frac{s_\sigma s_\tau}{\sqrt{s_\sigma^2 + s_\tau^2}} = \frac{2,22 \cdot 19,03}{\sqrt{2,22^2 + 19,03^2}} = \frac{42,25}{19,16} = 2,2.$$

**Д-Д kesim.** Bu kesimda valning diametri 45 mm. Kuchlanishlar konsentratsiyasi shesternyani presslash hisobiga hosil bo‘ladi.

Eguvchi momentlar:

$OY$  o‘qiga nisbatan  $M_y = 418,1 \cdot 10^3$  N·mm;

$OX$  o‘qiga nisbatan  $M_x = 230,7 \cdot 10^3$  N·mm.

Natijaviy eguvchi moment:

$$\begin{aligned} M_{Д-Д} &= \sqrt{M_x^2 + M_y^2} = \sqrt{(418,1 \cdot 10^3)^2 + (230,7 \cdot 10^3)^2} = \\ &= \sqrt{228030,1 \cdot 10^6} = 477,52 \cdot 10^3 \text{ N} \cdot \text{mm}. \end{aligned}$$

Kesimdagagi qarshilik momentlari:

- buralishga qarshilik momenti,

$$W_{bnetto} = \frac{\pi d^3}{16} - \frac{bt_1(d-t_1)^2}{2d} = \frac{3,14 \cdot 45^3}{16} - \frac{14 \cdot 5,5 \cdot (45-5,5)^2}{2 \cdot 45} = 16,55 \cdot 10^3 \text{ N} \cdot \text{mm};$$

bu yerda:  $d = 45$  mm;  $b = 14$  mm;  $t_1 = 5,5$  mm.

- egilishga qarshilik momenti,

$$W_{netto} = \frac{\pi d^3}{32} - \frac{bt_1(d-t_1)^2}{2d} = \frac{3,14 \cdot 45^3}{32} - \frac{14 \cdot 5,5 \cdot (45-5,5)^2}{2 \cdot 45} = 7,61 \cdot 10^3 \text{ N} \cdot \text{mm}.$$

Urinma kuchlanish sikli amplitudasi va o‘rtacha kuchlanishi,

$$\tau_v = \tau_m = \frac{\tau_{\max}}{2} = \frac{T_2}{2W_{bnetto}} = \frac{114,02 \cdot 10^3}{2 \cdot 16,55 \cdot 10^3} = 3,44 \text{ MPa}.$$

Egilish kuchlanishining nominal amplitudasi,

$$\sigma_v = \sigma_{\max} = \frac{M_{Д-Д}}{W_{netto}} = \frac{477,52 \cdot 10^3}{7,61 \cdot 10^3} = 62,75 \text{ MPa}; \sigma_m = 0.$$

Normal kuchlanish bo‘yicha mustahkamlik zahirasining koefitsiyenti,

$$s_\sigma = \frac{\sigma_{-1}}{\frac{k_\sigma}{\varepsilon_\sigma} \sigma_v + \psi_\sigma \sigma_m} = \frac{246}{\frac{1,59}{0,84} \cdot 62,75} = \frac{246}{118,78} = 2,1.$$

bu yerda:  $k_\sigma = 1,59$ ;  $k_\tau = 1,49$ ;  $\varepsilon_\sigma = 0,84$ ;  $\varepsilon_\tau = 0,72$  ([4] 8.5 va 8.8-jadvallar);  $\psi_\sigma \approx 0,15$ ;  $\psi_\tau \approx 0,1$  ([4] 163 va 166 betlar).

Urinma kuchlanish bo'yicha mustahkamlik zahirasining koefitsiyenti,

$$s_\tau = \frac{\tau_{-1}}{\frac{k_\tau}{\varepsilon_\tau} \tau_v + \psi_\tau \tau_m} = \frac{142}{\frac{1,49}{0,72} \cdot 3,44 + 0,1 \cdot 3,44} = \frac{142}{7,46} = 19,03.$$

B-B kesim uchun mustahkamlik zahirasining natijaviy koeffitsiyenti,

$$s = \frac{s_\sigma s_\tau}{\sqrt{s_\sigma^2 + s_\tau^2}} = \frac{2,1 \cdot 19,03}{\sqrt{2,1^2 + 19,03^2}} = \frac{39,96}{19,15} = 2,1.$$

**Yetaklanuvchi val** (II.14-rasm). Val materiali-po'lat 45, termik ishlovi-normallashtirilgan,  $\sigma_B = 570 \text{ MPa}$  ([4] 3.3-jadval).

Mustahkamlik chegaralari:  $\sigma_{-1} = 0,43 \cdot \sigma_B = 0,43 \cdot 570 = 246 \text{ MPa}$  va  $\tau_{-1} = 0,58 \cdot \sigma_{-1} = 0,58 \cdot 246 = 142 \text{ MPa}$ .

**K-K kesim** uchun mustahkamlik zahirasining koeffitsiyentini aniqlaymiz. Bu kesimda valning diametri 55 mm. Kuchlanishlar konsentratsiyasi shponka o'yiqchasi hisobiga hosil bo'ladi.

Eguvchi momentlar:

$OY$  o'qiga nisbatan  $M_y = -460,2 \cdot 10^3 \text{ N} \cdot \text{mm}$ ;

$OX$  o'qiga nisbatan  $M_x = 98,5 \cdot 10^3 \text{ N} \cdot \text{mm}$ .

Natijaviy eguvchi moment:

$$\begin{aligned} M_{K-K} &= \sqrt{M_x^2 + M_y^2} = \sqrt{(98,5 \cdot 10^3)^2 + (-460,2 \cdot 10^3)^2} = \\ &= \sqrt{221486,29 \cdot 10^6} = 470,62 \cdot 10^3 \text{ N} \cdot \text{mm}. \end{aligned}$$

Kesimdagagi qarshilik momentlari:

buralishga qarshilik momenti,

$$W_{bnetto} = \frac{\pi d^3}{16} - \frac{bt_1(d-t_1)^2}{2d} = \frac{3,14 \cdot 55^3}{16} - \frac{16 \cdot 6,0 \cdot (55-6,0)^2}{2 \cdot 55} = 30,56 \cdot 10^3 \text{ N} \cdot \text{mm};$$

bu yerda:  $d = 55 \text{ mm}$ ;  $b = 16 \text{ mm}$ ;  $t_1 = 6,0 \text{ mm}$ .

egilishga qarshilik momenti,

$$W_{netto} = \frac{\pi d^3}{32} - \frac{bt_1(d-t_1)^2}{2d} = \frac{3,14 \cdot 55^3}{32} - \frac{16 \cdot 6,0 \cdot (55-6,0)^2}{2 \cdot 55} = 14,23 \cdot 10^3 N \cdot mm.$$

Urinma kuchlanish sikli amplitudasi va o‘rtacha kuchlanishi,

$$\tau_v = \tau_m = \frac{\tau_{max}}{2} = \frac{T_3}{2W_{bnetto}} = \frac{342,8 \cdot 10^3}{2 \cdot 30,56 \cdot 10^3} = 5,61 \text{ MPa.}$$

Egilish kuchlanishining nominal amplitudasi,

$$\sigma_v = \sigma_{max} = \frac{M_{K-K}}{W_{netto}} = \frac{470,62 \cdot 10^3}{14,23 \cdot 10^3} = 33,07 \text{ MPa; } \sigma_o = 0.$$

Normal kuchlanish bo‘yicha mustahkamlik zahirasining koefitsiyenti,

$$s_\sigma = \frac{\sigma_{-1}}{\frac{k_\sigma}{\varepsilon_\sigma} \sigma_v + \psi_\sigma \sigma_m} = \frac{246}{\frac{1,59}{0,84} \cdot 33,07} = \frac{246}{62,6} = 3,93.$$

bu yerda:  $k_\sigma = 1,59$ ;  $k_\tau = 1,49$ ;  $\varepsilon_\sigma = 0,84$ ;  $\varepsilon_\tau = 0,72$  ([4] 8.5 va 8.8-jadvallar);  $\psi_\sigma \approx 0,15$ ;  $\psi_\tau \approx 0,1$  ([4] 163 va 166 betlar).

Urinma kuchlanish bo‘yicha mustahkamlik zahirasining koefitsiyenti,

$$s_\tau = \frac{\tau_{-1}}{\frac{k_\tau}{\varepsilon_\tau} \tau_v + \psi_\tau \tau_m} = \frac{142}{\frac{1,49}{0,72} \cdot 5,61 + 0,1 \cdot 5,61} = \frac{142}{12,17} = 11,67.$$

A-A kesim uchun mustahkamlik zahirasining natijaviy koeffitsiyenti:

$$s = \frac{s_\sigma s_\tau}{\sqrt{s_\sigma^2 + s_\tau^2}} = \frac{3,93 \cdot 11,67}{\sqrt{3,93^2 + 11,67^2}} = \frac{45,86}{12,31} = 3,73.$$

**И-И kesim.** Kuchlanishlar konsentratsiyasi podshipnikni valga tig‘iz o‘tqazilishi hisobiga hosil bo‘ladi;  $\frac{k_\sigma}{\varepsilon_\sigma} = 3,3$  va  $\frac{k_\tau}{\varepsilon_\tau} = 2,38$  ([4] 8.7-jadval);  $\psi_\sigma = 0,15$  va  $\psi_\tau = 0,1$ .

Eguvchi moment,

$$M = T_3 = 342,8 \cdot 10^3 \text{ Nmm.}$$

O‘q bo‘yicha qarshilik momenti,

$$W = \frac{\pi d^3}{32} = \frac{3,14 \cdot 50^3}{32} = 12,27 \cdot 10^3 \text{ Nmm.}$$

Normal kuchlanish amplitudasi,

$$\sigma_v = \sigma_{\max} = \frac{M}{W} = \frac{342,8 \cdot 10^3}{12,27 \cdot 10^3} \approx 28 \text{ MPa.}$$

Qutbga nisbatan qarshilik momenti:

$$W_p = 2W = 2 \cdot 12,27 \cdot 10^3 = 24,54 \cdot 10^3 \text{ mm}^3.$$

Urinma kuchlanish sikli amplitudasi va o‘rtacha kuchlani-shi:  $\tau_v = \tau_m = \frac{\tau_{\max}}{2} = \frac{M}{2W_p} = \frac{342,8 \cdot 10^3}{2 \cdot 24,54 \cdot 10^3} \approx 7 \text{ MPa.}$

Normal kuchlanish bo‘yicha mustahkamlik zahirasining koef-fitsiyenti:

$$s_\sigma = \frac{\sigma_{-1}}{\frac{k_\sigma}{\varepsilon_\sigma} \sigma_v} = \frac{246}{3,3 \cdot 28} = \frac{246}{92,4} = 2,7.$$

Urinma kuchlanish bo‘yicha mustahkamlik zahirasining koef-fitsiyenti:

$$s_\tau = \frac{\tau_{-1}}{\frac{k_\tau}{\varepsilon_\tau} \tau_v + \psi_\tau \tau_m} = \frac{142}{2,38 \cdot 7 + 0,1 \cdot 7} = \frac{142}{17,36} = 8,2.$$

И-И kesim uchun mustahkamlik zahirasining natijaviy koef-fitsiyenti:

$$s = \frac{s_\sigma s_\tau}{\sqrt{s_\sigma^2 + s_\tau^2}} = \frac{2,7 \cdot 8,2}{\sqrt{2,7^2 + 8,2^2}} = \frac{22,14}{8,63} = 2,6.$$

**Ж-Ж kesim.** Kuchlanishlar konsentratsiyasi katta diametr dan kichigiga o‘tish hisobiga hosil bo‘ladi ( $d=50$  dan  $d=45$  ga):  $\frac{D}{d} = \frac{50}{45} \approx 1,1$  va  $\frac{r}{d} = \frac{2,25}{45} \approx 0,05$ ,  $k_\sigma = 1,50$  va  $k_\tau = 1,15$  ([4] 8.2-jadval).

Kesimning o‘q bo‘yicha qarshilik momenti,

$$W = \frac{\pi d^3}{32} = \frac{3,14 \cdot 45^3}{32} = 8,94 \cdot 10^3 \text{ N} \cdot \text{mm.}$$

Normal kuchlanish amplitudasi,

$$\sigma_v = \sigma_{\max} = \frac{M}{W} = \frac{342,8 \cdot 10^3}{8,94 \cdot 10^3} = 38,34 \text{ MPa.}$$

Qutbga nisbatan qarshilik momenti,

$$W_p = 2W = 2 \cdot 8,94 \cdot 10^3 = 17,88 \cdot 10^3 \text{ mm}^3.$$

Urinma kuchlanish sikli amplitudasi va o‘rtacha kuchlanishi,

$$\tau_v = \tau_m = \frac{\tau_{\max}}{2} = \frac{M}{2W_p} = \frac{342,8 \cdot 10^3}{2 \cdot 17,88 \cdot 10^3} = 9,6 \text{ MPa.}$$

Normal kuchlanish bo‘yicha mustahkamlik zahirasining koefitsiyenti,

$$s_\sigma = \frac{\sigma_{-1}}{\frac{k_\sigma}{\varepsilon_\sigma} \sigma_v} = \frac{246}{3,3 \cdot 38,34} = \frac{246}{126,52} = 1,9.$$

Urinma kuchlanish bo‘yicha mustahkamlik zahirasining koefitsiyenti,

$$s_\tau = \frac{\tau_{-1}}{\frac{k_\tau}{\varepsilon_\tau} \tau_v + \psi_\tau \tau_m} = \frac{142}{2,38 \cdot 9,6 + 0,1 \cdot 9,6} = \frac{142}{23,81} = 5,96.$$

**Ж-Ж** kesim uchun mustahkamlik zahirasining natijaviy koefitsiyenti:

$$s = \frac{s_\sigma s_\tau}{\sqrt{s_\sigma^2 + s_\tau^2}} = \frac{1,9 \cdot 5,96}{\sqrt{1,9^2 + 5,96^2}} = \frac{11,32}{6,3} = 1,8.$$

## II.2.10. Reduktor chizmasi

Reduktor va uning detallarinig ishchi chizmalarini, ro‘yxatini hisoblash-tushuntirish xatini titul varag‘ini ham tayyorlab himoyalash ishlarini [5] dagi tavsiyalarga mos ravishda bajariladi.

Reduktor detallari tartib raqamlari va asosiy yozuvlari bilan birgalikda 1:1 masshtabda A1 (594x841 mm)ga ikki proeksiyada chiziлади.

Reduktor detallarining ro‘yxati A4 formatda standartda belgilangan asosiy (birinchi bet) va davom etuvchi (keyingi betlar) shtampli jadvallar ko‘rinishida to‘ldiriladi.

## **II.2.11. Tishli g‘ildiraklar va podshipniklar uchun qo‘yimlar**

Qo‘yimlar 10.13[4] -jadvaldagi ma‘lumotlar va ko‘rsatmalarga mos ravishda belgilanadi.

Tishli g‘ildirakning valga qo‘yimi standart bo‘yicha  $\frac{H7}{p6}$ .

Valning podshipnik osti bo‘yni qo‘yimi valning  $k6$  og‘ishi bilan bajariladi. Korpusdagi tashqi halqa osti teshigining og‘ishi  $H7$  bo‘yicha olinadi.

Qolgan qo‘yimlar 710.13[4]-jadval bo‘yicha belgilanadi.

## **II.2.12. Reduktor uchun moy turini tanlash**

Tishli ilashmaning moylanishi tishli g‘ildirakning sachratishi orqali amalga oshiriladi, bunda tishli g‘ildirak taxminan 10 mm.gacha reduktorga quyilgan moyga botib turadi. Moy vannasining hajmi quyidagicha aniqlanadi,

$$V = 0,25 \cdot P_{dv} = 0,25 \cdot 4,44 = 1,11 \text{ dm}^3.$$

10.8[4] -jadvaldan moyning qovushoqligini aniqlaymiz. Bunda kontakt kuchlanish va aylanma tezlik orqali moy qovushoqligi tanlanadi.  $\sigma_H = 371 \text{ MPa}$  va  $v = 0,47 \text{ m/s}$  da moyning qovushoqligi  $34 \cdot 10^{-6} \text{ m}^2/\text{s}$ .

10.10[4] jadvaldan shu qovushoqlik bo‘yicha moy turini tanlaymiz. Bunda I-40A sanoat moyini qabul qilamiz.

Podshipniklar kamerasini plastik moylovchi material bilan to‘ldiriladi, yoki davriy ravishda press-maslenka yordamida moylab turiladi.

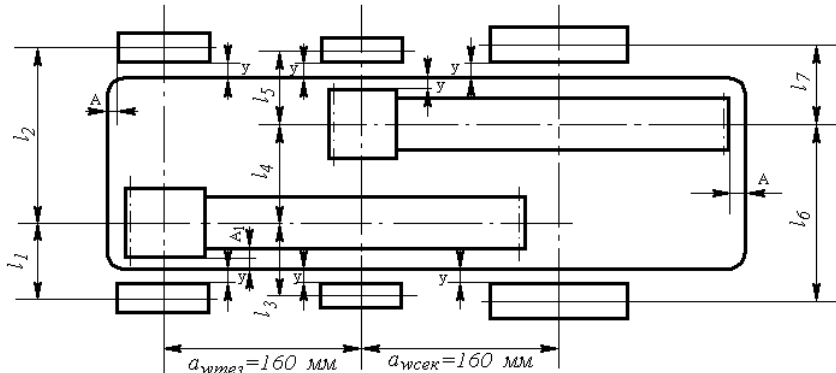
## II.2.13. Reduktorni yig‘ish

Reduktorni yig‘ishdan oldin reduktor korpusi ichki qismi yah-shilab tozalanadi va moyga bardoshli bo‘yoq bilan qoplanadi.

Yig‘ishni reduktorning yig‘ma chizmasiga mos ravishda olib boriladi.

### ILOVA

Yoyiq sxemadagi ikki pog‘onali silindrik reduktorning detallari ni joylashtirish (komponovka) chizmasi ilova tarzida keltirildi.



Bu chizma shu kabi sxemali reduktidlarni loyihalovchi talabarga mo‘ljallanib, qolgan barcha xisob-kitoblari yuqorida keltirilgan misollardagi kabi bajarilishi mumkin.

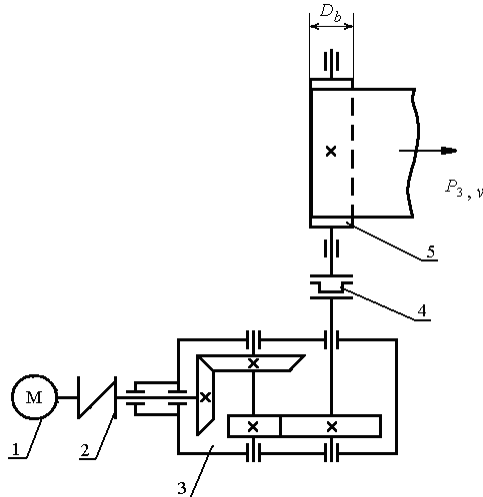
### Kurs loyihasi topshiriqlari

Quyida kurs loyihasining topshiriq variantlari keltirilgan.Ular asosan uch pog‘onadan tashkil topgan yuritmalardan iborat qilib berilgan. O‘qituvchining ko‘rsatmasi bo‘yicha talabarga topshiriqlarning ochiq uzatmadan tashkil topgan pog‘onasini etiborga olmaslikka ruxsat etiladi.

Topshiriqlar 10 ta variantdan iborat qilib tayyorlangan va alo-hida sahifa(bet)ga joylashtirilgan bo‘lib, ularidan talaba uchun kseronusxa ko‘chirib olishga mo‘ljallangan.

## 1-topshiriq

1-shaklda ko'rsatilgan lentali konveyer yuritmasi loyihalansin. Lentali konveyer barabani validagi quvvat  $P_3$ , lentanig tezligi  $v$  qiymatlari 1-jadvalda ko'rsatilgan. Yuritmaning xizmat qilish muddani 7 yil.  $K_{yil}=0,5$ ;  $K_{sut}=0,6$ .



### 1-shakl. Lentali konveyer yuritmasi

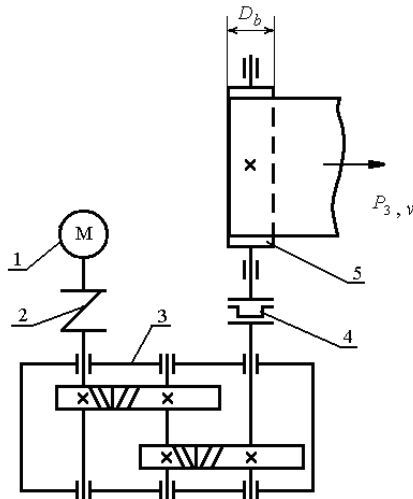
1-elektrodvigatel; 2-elastik mufta; 3-ikki pog'onali, konussimon va silindirik g'ildirakli reduktor; 4-kompensatsiyalovchi mufta; 5-lentali konveyer barabani

1-jadval

Variant	1	2	3	4	5	6	7	8	9	10
$P_3$ , kVt	2	<b>2,5</b>	3	3,5	<b>4</b>	4,5	5	<b>5,5</b>	6	6,5
$v$ , m/s	0,9	<b>1,0</b>	1,05	1,1	<b>1,15</b>	1,2	0,9	<b>1,0</b>	1,05	1,1
$D_b$ , mm	300	<b>325</b>	350	375	<b>400</b>	425	325	<b>375</b>	400	425

## 2-topshiriq

2-shaklda ko'rsatilgan lentali konveyer yuritmasi loyihalansin. Lentali konveyer barabani validagi quvvat  $P_3$ , lentanig tezligi  $v$  qiymatlari 1-jadvalda ko'rsatilgan. Yuritmaning xizmat qilish muddati 8 yil.  $K_{yil}=0,55$ ;  $K_{sut}=0,65$ .



### 2-shakl. Lentali konveyer yuritmasi

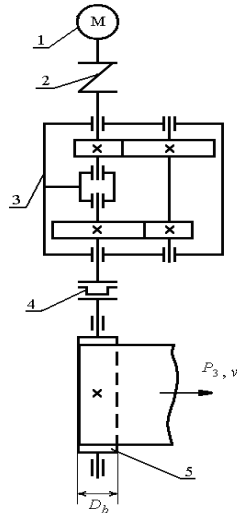
1-elektrodvigatel; 2-elastik mufta; 3-ikki pog'onali, silindrik g'ildirakli re'duktor; 4-kompensatsiyalovchi mufta; 5-lentali konveyer barabani

2-jadval

Variant	1	<b>2</b>	3	4	<b>5</b>	6	7	<b>8</b>	9	10
$P_3$ , kVt	1,5	<b>1,75</b>	2	2,25	<b>2,5</b>	2,75	3	<b>3,25</b>	3,5	4
$v$ , m/s	1	<b>1,2</b>	1,4	1,6	<b>1,75</b>	1,6	1,4	<b>1,2</b>	1	0,9
$D_b$ , mm	325	<b>345</b>	370	385	<b>400</b>	320	340	<b>360</b>	380	400

### 3-topshiriq

3-shaklda ko'rsatilgan lentali konveyer yuritmasi loyihalansin. Lentali konveyer barabani validagi quvvat  $P_3$ , lentanig tezligi  $v$  qiymatlari 1-jadvalda ko'rsatilgan. Yuritmaning xizmat qilish muddani 7 yil.  $K_{yil}=0,6$ ;  $K_{sut}=0,7$



#### 3-shakl. Lentali konveyer yuritmasi

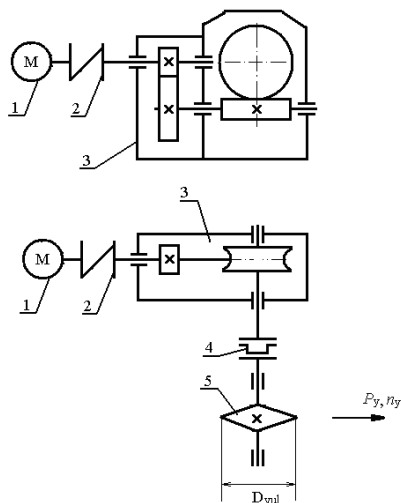
1-elektrodvigate; 2-elastik mufta; 3-ikki pog'onali, silindrik g'ildirakli o'qdosh reduktor; 4-kompensatsiyalovchi mufta; 5-lentali konveyer barabani

3-jadval

Variant	1	2	3	4	5	6	7	8	9	10
$P_3$ , kVt	2,25	2,5	2,75	3,0	3,25	3,5	3,75	4,0	4,25	4,5
$v$ , m/s	0,9	1,0	1,1	1,2	1,3	1,4	1,5	1,6	1,7	1,8
$D_b$ , mm	275	275	300	300	375	325	350	350	375	375

## 4-topshiriq

4-shaklda ko'rsatilgan zanjirli konveyer yuritmasi loyihalansin. Zanjirli konveyer validagi quvvat  $P_y$ , konveyer valining aylanishlar chastotasi  $n_y$  qiymatlari 4-jadvalda ko'rsatilgan. Yuritmaning xizmat qilish muddani 6 yil.  $K_{yil}=0,3$ ;  $K_{sut}=0,4$ .



### 4-shakl. Zanjirli konveyer yuritmasi

1-elektrodvigatel; 2-elastik mufta; 3-ikki pog'onali, silindrik g'ildirakli va chervyakli reduktor; 4-kompensatsiyalovchi mufta; 5-konveyer yulduzchasi

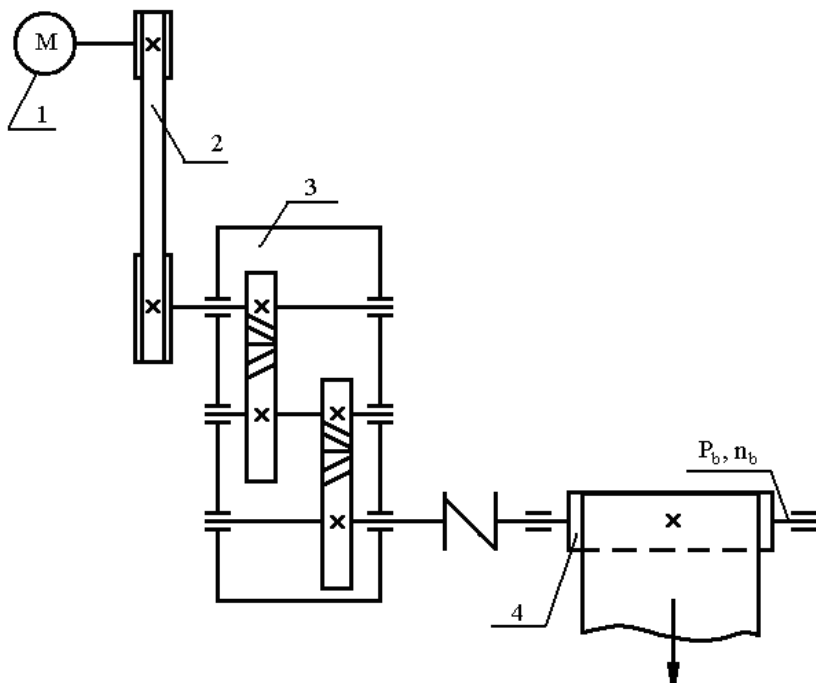
4-jadval

Variant	1	2	3	4	5	6	7	8	9	10
$P_y$ kVt	2	2,25	2,5	2,75	3	3,25	3,5	3,75	4	4,25
$n_y$ , $\text{min}^{-1}$	32	34	36	38	40	32	34	36	38	40
$D_{yul}$ , mm	300	350	400	350	400	350	400	350	300	340

## 5-topshiriq

5-shaklda ko'rsatilgan lentali konveyer yuritmasi loyihalansin. Lentali konveyer barabani validagi quvvat  $P_b$ , konveyer barabani valining aylanishlar chastotasi  $n_b$  qiymatlari 5-jadvalda ko'rsatilgan.

Hamma variantlar uchun  $L_h = 40 \cdot 10^3$ .



### 5-shakl. Lentali konveyer yuritmasi

1-elektrodvigatel; 2-ponasimon tasmali yzatma; 3-ikki pog'onali, silindrik g'ildirakli reduktor; 4-lentali konveyer barabani

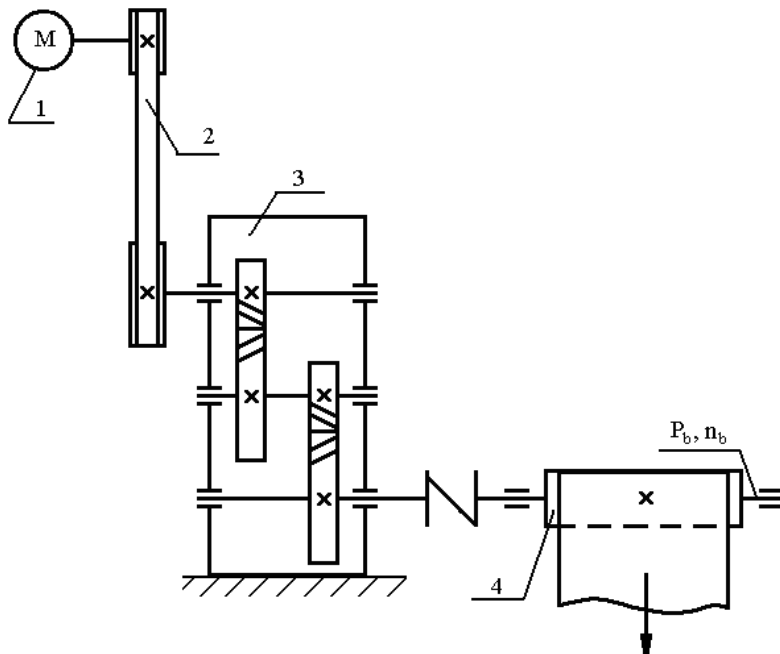
5-jadval

Variant	1	2	3	4	5	6	7	8	9	10
$P_b$ , kVt	3	4	5	6	7	3	4	5	6	7
$n_b$ , min <sup>-1</sup>	50	50	50	40	50	80	100	80	80	100
$D_b$ , mm	300	300	300	350	250	250	250	300	300	300

## 6-topshiriq

6-shaklda ko'rsatilgan lentali konveyer yuritmasi loyihalansin. Lentali konveyer barabani validagi quvvat  $P_b$ , konveyer barabani valining aylanishlar chastotasi  $n_b$  qiymatlari 6-jadvalda ko'rsatilgan.

Hamma variantlar uchun  $L_h = 40 \cdot 10^3$ .



### 6-shakl. Lentali konveyer yuritmasi

1-elektrovdvigatel; 2-ponasimon tasmali yzatma; 3-ikki pog'onali, silindrik g'ildirakli reduktor; 4-lentali konveyer barabani

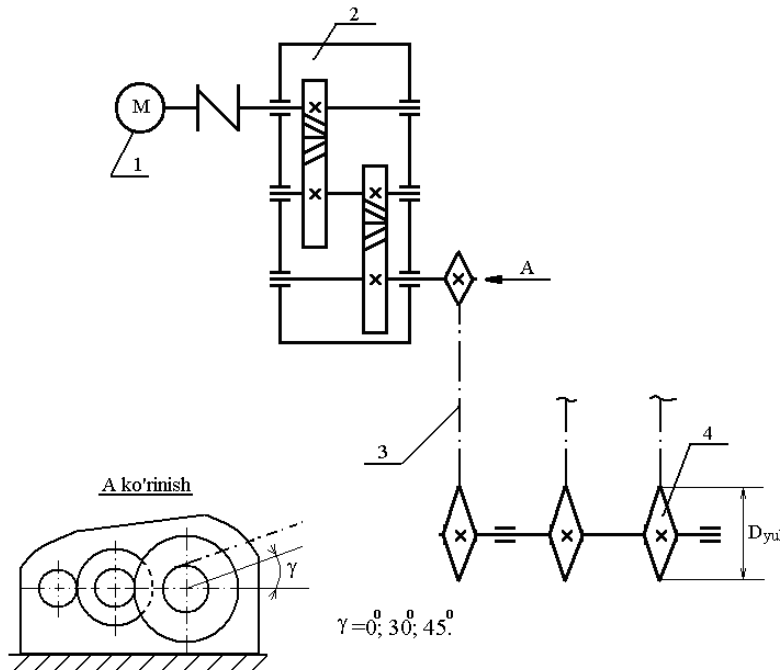
6-jadval

Variant	1	2	3	4	5	6	7	8	9	10
$P_b$ , kVt	2	2,5	3	3,5	4	4,5	5	5,5	6	6,5
$n_b$ , min <sup>-1</sup>	50	40	60	65	40	50	60	65	40	50
$D_b$ , mm	300	320	320	320	350	350	340	350	375	375

## 7-topshiriq

7-shaklda ko'rsatilgan zanjirli konveyer yuritmasi loyihalansin. Zanjirli konveyer validagi quvvat  $P_y$ , konveyer valining aylanishlar chastotasi  $n_y$  qiymatlari 7-jadvalda ko'rsatilgan.

Hamma variantlar uchun  $L_h = 40 \cdot 10^3$ .



### 7-shakl. Zanjirli konveyer yuritmasi

1-elektrodvigatel; 2-ikki pog'onali, silindrik g'ildirakli reduktor; 3-zanjirli uzatma; 4-konveyer yulduzchasi

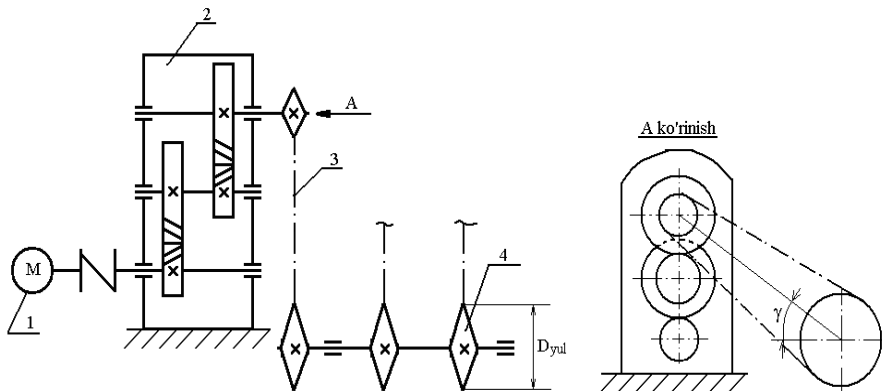
7-jadval

Variant	1	2	3	4	5	6	7	8	9	10
$P_y$ , kVt	2	2,5	3	3,5	4	4,5	5	5,5	6	6,5
$n_y$ , $\text{min}^{-1}$	30	50	40	30	50	40	30	50	40	30
$D_{yul}$ , mm	275	275	285	300	285	300	320	300	320	325

## 8-topshiriq

8-shaklda ko'rsatilgan zanjirli konveyer yuritmasi loyihalansin. Zanjirli konveyer validagi quvvat  $P_y$ , konveyer valining aylanishlar chastotasi  $n_y$  qiymatlari 4-jadvalda ko'rsatilgan.

Hamma variantlar uchun  $L_h = 40 \cdot 10^3$ .



### 8-shakl. Zanjirli konveyer yuritmasi

1-elektrovdvigatel; 2-ikki pog'onali, silindirik g'ildirakli reduktor; 3-zanjirli uzatma; 4-konveyer yulduzchasi

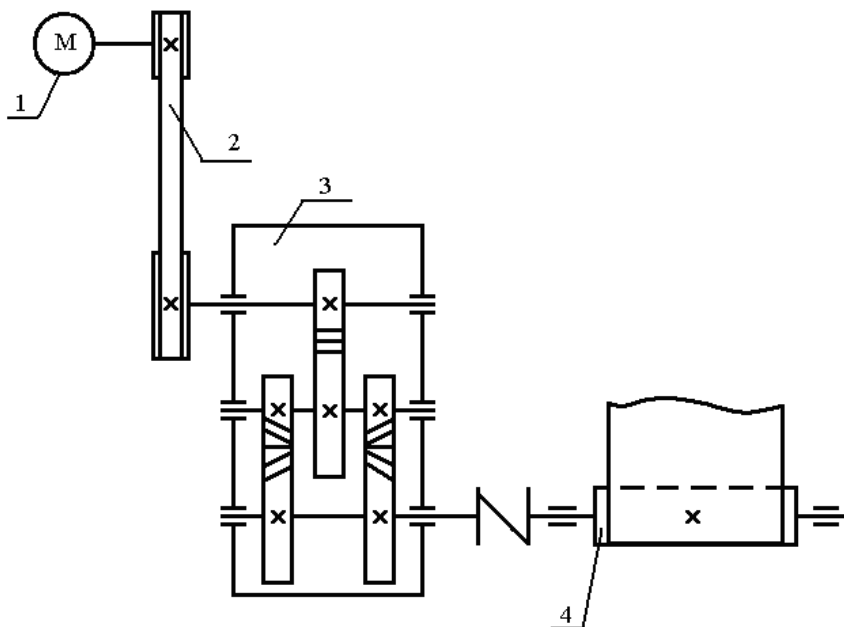
8-jadval

Variant	1	2	3	4	5	6	7	8	9	10
$P_y$ kVt	3	3,25	3,5	3,75	4	4,25	4,5	4,75	5	5,25
$n_y$ , min <sup>-1</sup>	40	80	120	40	80	120	40	80	120	40
$D_{yul}$ , mm	280	280	275	300	275	275	320	275	260	300
$\gamma$ , °	15°	30°	45°	60°	90°	0°	15°	30°	45°	60°

## 9-topshiriq

9-shaklda ko'rsatilgan lentali konveyer yuritmasi loyihalansin. Lentali konveyer barabani validagi quvvat  $P_b$ , konveyer barabani valining aylanishlar chastotasi  $n_b$  qiymatlari 9-jadvalda ko'rsatilgan.

Hamma variantlar uchun  $L_h = 40 \cdot 10^3$ .



### 9-shakl. Lentali konveyer yuritmasi

1-elektrodvigatel; 2-ponasimon tasmali yzatma; 3-ikki pog'onali, silindrik g'ildirakli reduktor; 4-lentali konveyer barabani

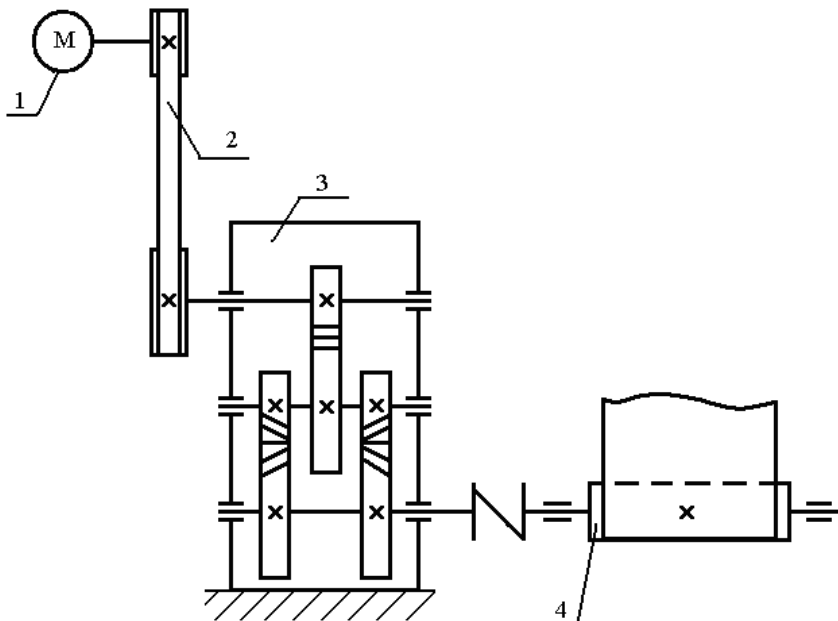
9-jadval

Variant	1	2	3	4	5	6	7	8	9	10
$P_b$ , kVt	2	2,5	3	3,5	4	4,5	5	5,5	6	6,5
$n_b$ , min <sup>-1</sup>	30	40	50	60	30	40	50	60	40	50
$D_b$ , mm	320	320	320	320	350	350	350	350	350	350

## 10-topshiriq

10-shaklda ko'rsatilgan lentali konveyer yuritmasi loyihalansin. Lentali konveyer barabani validagi quvvat  $P_b$ , konveyer barabani valining aylanishlar chastotasi  $n_b$  qiymatlari 10-jadvalda ko'rsatilgan.

Hamma variantlar uchun  $L_h = 40 \cdot 10^3$ .



### 10-shakl. Lentali konveyer yuritmasi

1-elektrodvigatel; 2-ponasimon tasmali yzatma; 3-ikki pog'onali, silindrik g'ildirakli reduktor; 4-lentali konveyer barabani

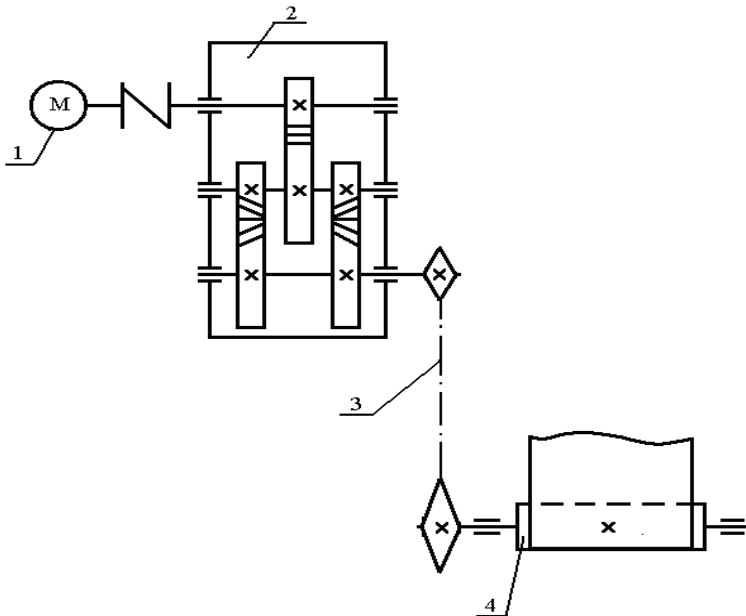
10-jadval

Variant	1	2	3	4	5	6	7	8	9	10
$P_b$ , kVt	2	3	4	5	6	7	6	5	4	3
$n_b$ , min <sup>-1</sup>	40	40	60	80	80	40	40	40	100	100
$D_b$ , mm	325	340	340	340	340	375	375	375	300	300

## 11-topshiriq

11-shaklda ko'rsatilgan lentali konveyer yuritmasi loyihalansin. Lenta-  
li konveyer barabani validagi quvvat  $P_b$ , konveyer barabani valining aylan-  
ishlar chastotasi  $n_b$  qiymatlari 11-jadvalda ko'rsatilgan.

Hamma variantlar uchun  $L_h = 40 \cdot 10^3$ .



### 11-shakl. Lentali konveyer yuritmasi

1-elektrovdvigatel; 2-ikki pog'onali, silindirik g'ildirakli reduktor; 3-zanjirli  
uzatma; 4-lentali konveyer barabani

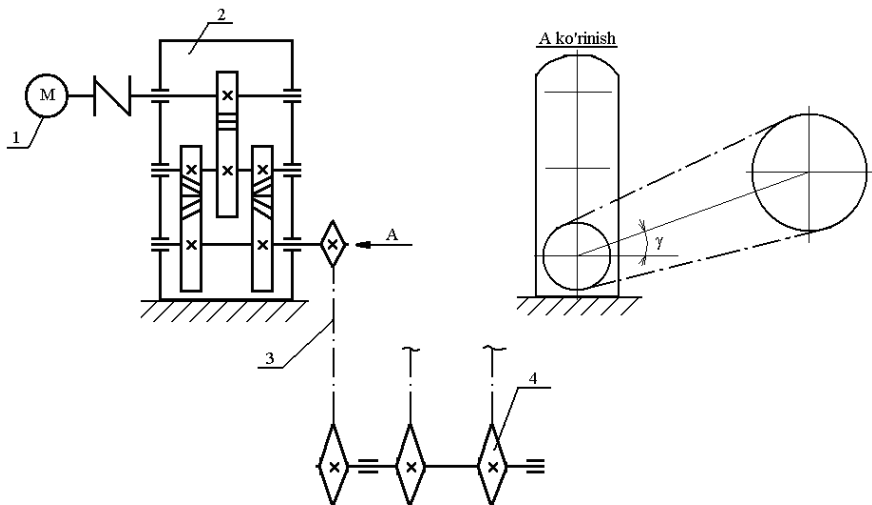
11-jadval

Variant	1	2	3	4	5	6	7	8	9	10
$P_b$ , kVt	2	2,5	3	3,5	4	4,5	5	5,5	6	6,5
$n_b$ , min <sup>-1</sup>	60	80	100	120	60	80	100	120	80	100
$D_b$ , mm	300	300	300	300	350	350	320	320	350	350

## 12-topshiriq

12-shaklda ko'rsatilgan zanjirli konveyer yuritmasi loyihalansin. Zanjirli konveyer validagi quvvat  $P_y$ , konveyer valining aylanishlar chastotasi  $n_y$  qiymatlari 8-jadvalda ko'rsatilgan.

Hamma variantlar uchun  $L_h = 40 \cdot 10^3$ .



### 12-shakl. Zanjirli konveyer yuritmasi

1-elektrodvigatel; 2-ikki pog'onali, silindrik g'ildirakli reduktor; 3-zanjirli uzatma; 4-konveyer yulduzchasi

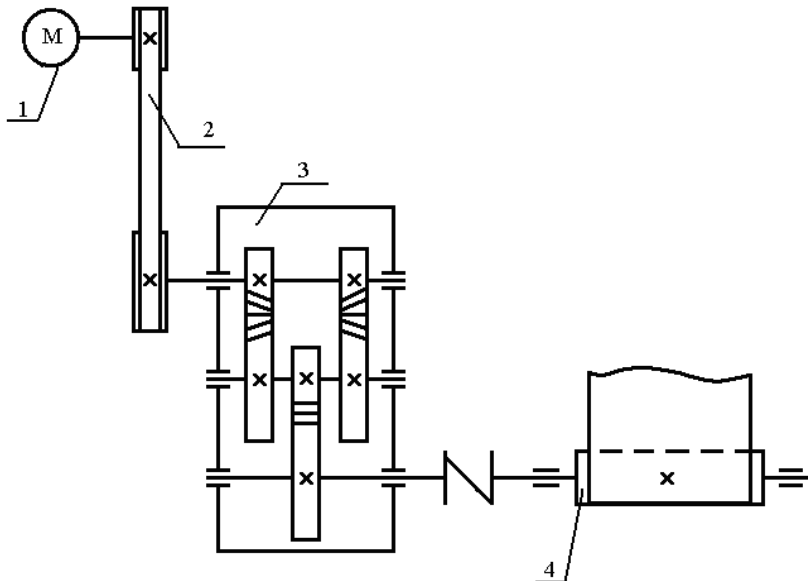
12-jadval

Variant	1	2	3	4	5	6	7	8	9	10
$P_y$ , kVt	2	3	4	5	6	7	6	5	4	3
$n_y$ , min <sup>-1</sup>	80	100	120	40	40	60	80	80	80	60
$D_{yul}$ , mm	250	250	275	275	300	300	300	275	275	250
$\gamma$ , °	0°	15°	30°	45°	60°	0°	15°	30°	45°	60°

## 13-topshiriq

13-shaklda ko'rsatilgan lentali konveyer yuritmasi loyihalansin. Lentali konveyer barabani validagi quvvat  $P_b$ , konveyer barabani valining aylanishlar chastotasi  $n_b$ , qiymatlari 9-jadvalda ko'rsatilgan.

Hamma variantlar uchun  $L_h = 40 \cdot 10^3$ .



### 13-shakl. Lentali konveyer yuritmasi

1-elektrovdvigatel; 2-ponasimon tasmali yzatma; 3-ikki pog'onali, silindrik g'ildirakli reduktor; 4-lentali konveyer barabani

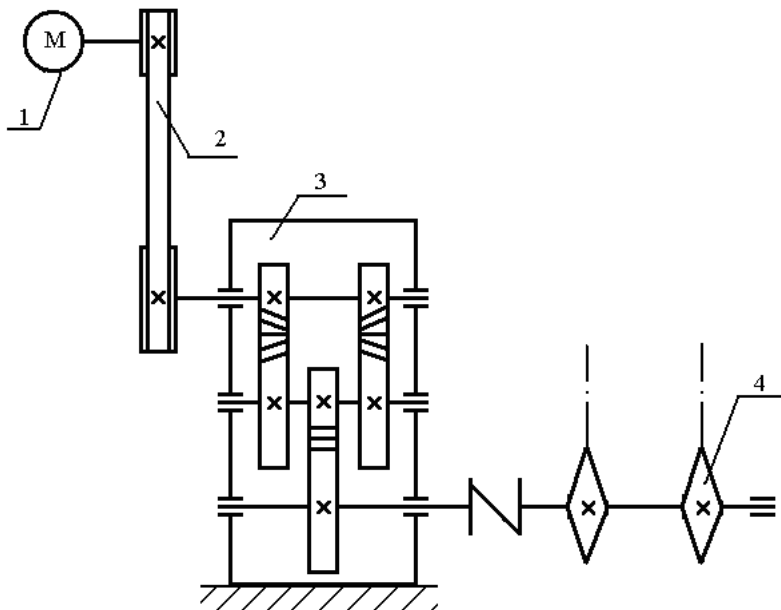
13-jadval

Variant	1	2	3	4	5	6	7	8	9	10
$P_b$ , kVt	2	3	4	5	6	7	8	2	3	4
$n_b$ , $\text{min}^{-1}$	40	70	100	40	75	100	40	75	40	75
$D_b$ , mm	275	275	300	300	350	350	400	275	275	300

## 14-topshiriq

14-shaklda ko'rsatilgan zanjirli konveyer yuritmasi loyihalansin. Zanjirli konveyer validagi quvvat  $P_v$ , konveyer valining aylanishlar chastotasi  $n_v$  qiymatlari 14-jadvalda ko'rsatilgan.

Hamma variantlar uchun  $L_h = 40 \cdot 10^3$ .



### 14-shakl. Zanjirli konveyer yuritmasi

1-elektrodrvigatel; 2-ponasimon tasmali uzatma; 3-ikki pog'onali, silindrik g'ildirakli reduktor;; 4-konveyer yulduzchasi

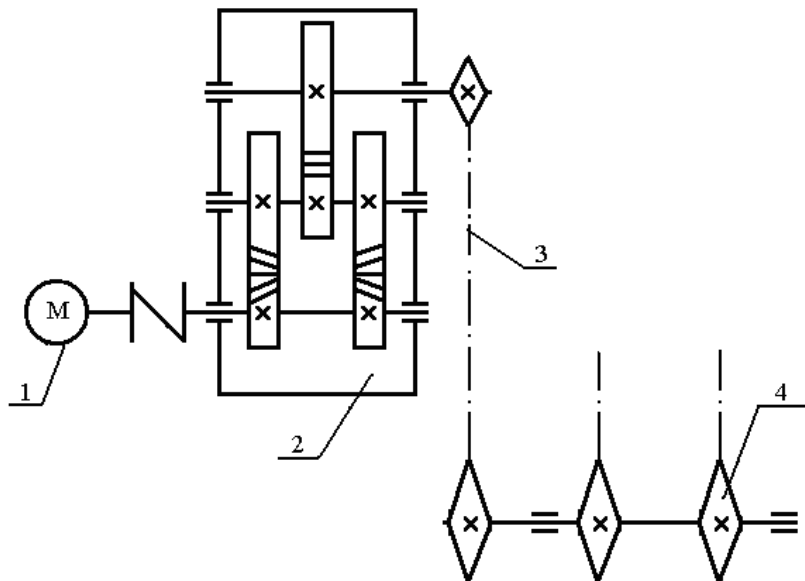
14-jadval

Variant	1	2	3	4	5	6	7	8	9	10
$P_y$ kVt	3	4	5	6	7	8	9	3	4	5
$n_y, \text{min}^{-1}$	40	60	80	40	60	80	40	60	80	40
$D_{yul}, \text{mm}$	200	200	220	240	260	260	300	200	200	220

## 15-topshiriq

15-shaklda ko'rsatilgan zanjirli konveyer yuritmasi loyihalansin. Zanjirli konveyer validagi quvvat  $P_y$ , konveyer valining aylanishlar chastotasi  $n_y$  qiymatlari 15-jadvalda ko'rsatilgan.

Hamma variantlar uchun  $L_h = 40 \cdot 10^3$ .



### 15-shakl. Zanjirli konveyer yuritmasi

1-elektrovdvigatel; 2-ikki pog'onali, silindriq g'ildirakli reduktor; 3-zanjirli uzatma; 4-konveyer yulduzchasi

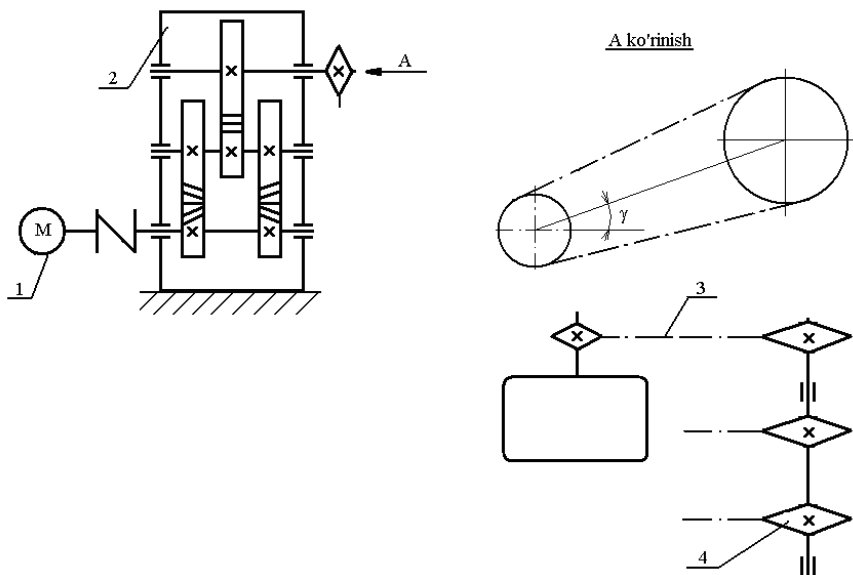
15-jadval

Variant	1	2	3	4	5	6	7	8	9	10
$P_y$ , kVt	2,5	3,5	4,5	5,5	6,5	7,5	9	2,5	3,5	4,5
$n_y$ , min <sup>-1</sup>	30	50	75	30	50	75	30	50	75	30
$D_{yul}$ , mm	200	220	250	250	270	300	325	200	220	250

## 16-topshiriq

16-shaklda ko'rsatilgan zanjirli konveyer yuritmasi loyihalansin. Zanjirli konveyer validagi quvvat  $P_y$ , konveyer valining aylanishlar chastotasi  $n_y$  qiymatlari 16-jadvalda ko'rsatilgan.

Hamma variantlar uchun  $L_h = 40 \cdot 10^3$ .



### 16-shakl. Zanjirli konveyer yuritmasi

1-elektrovdvigatel; 2-ikki pog'onali, silindriq g'ildirakli reduktor; 3-zanjirli uzatma; 4-konveyer yulduzchasi

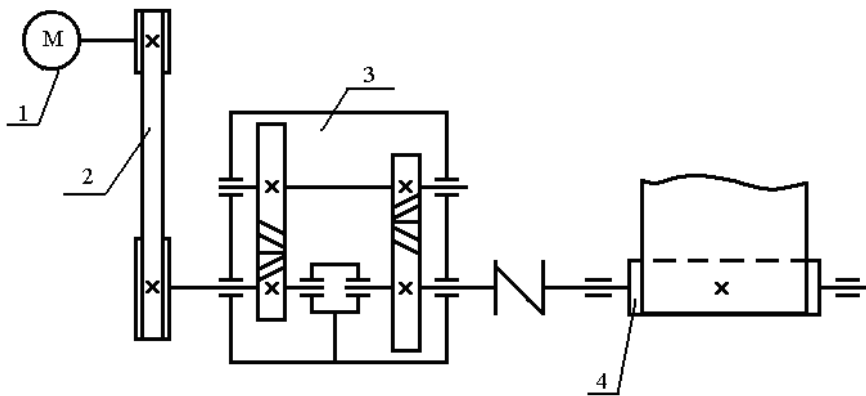
16-jadval

Variant	1	2	3	4	5	6	7	8	9	10
$P_y$ , kVt	3	4	5	6	7	8	9	3	4	5
$n_y$ , min <sup>-1</sup>	25	50	75	25	50	75	60	50	75	25
$D_{yul}$ , mm	250	250	275	275	300	325	325	250	250	275

## 17-topshiriq

17-shaklda ko'rsatilgan lentali konveyer yuritmasi loyihalansin. Lentali konveyer barabani validagi quvvat  $P_b$ , konveyer barabani valining aylanishlar chastotasi  $n_b$  qiymatlari 17-jadvalda ko'rsatilgan.

Hamma variantlar uchun  $L_h = 40 \cdot 10^3$ .



### 17-shakl. Lentali konveyer yuritmasi

1-elektrodvigatel; 2-ponasimon tasmali yzatma; 3-ikki pog'onali, silindrik g'ildirakli o'qdosh reduktor; 4-lentali konveyer barabani

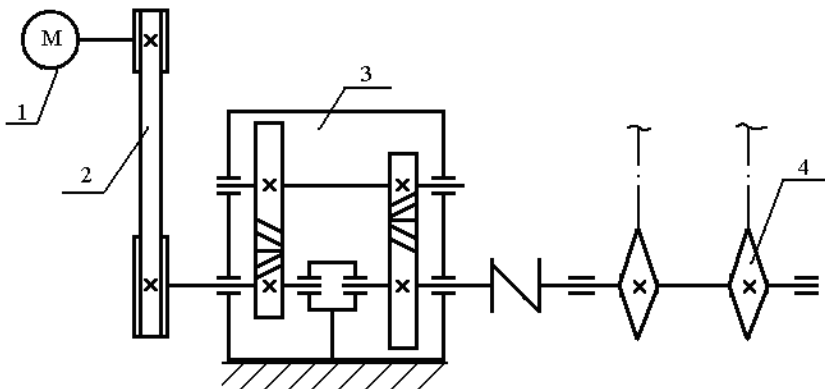
17-jadval

Variant	1	2	3	4	5	6	7	8	9	10
$P_b$ , kVt	2	3	4	5	6	7	8	10	2	3
$n_b$ , min <sup>-1</sup>	30	80	50	30	60	30	30	50	50	30
$D_b$ , mm	275	275	300	300	350	350	400	400	275	275

## 18-topshiriq

18-shaklda ko'rsatilgan zanjirli konveyer yuritmasi loyihalansin. Zanjirli konveyer validagi quvvat  $P_v$ , konveyer valining aylanishlar chastotasi  $n_y$  qiymatlari 18-jadvalda ko'rsatilgan.

Hamma variantlar uchun  $L_h = 40 \cdot 10^3$ .



### 18-shakl. Zanjirli konveyer yuritmasi

1-elektrodvigatel; 2-ponasimon tasmali yzatma; 3-ikki pog'onali, silindrik g'ildirakli o'qdosh reduktor; 4-konveyer yulduzchasi

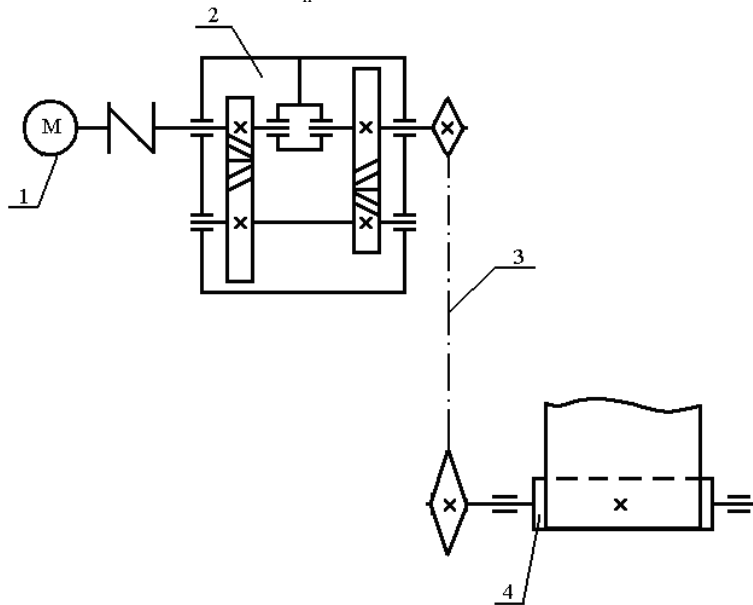
18-jadval

Variant	1	2	3	4	5	6	7	8	9	10
$P_y, \text{kVt}$	3	3,5	4	4,5	5,5	6,5	7,5	3	3,5	4
$n_y, \text{min}^{-1}$	25	75	50	25	50	60	40	50	25	75
$D_{yul}, \text{mm}$	250	200	250	270	250	250	275	225	250	225

## 19-topshiriq

19-shaklda ko'rsatilgan lentali konveyer yuritmasi loyihalansin. Lentali konveyer barabani validagi quvvat  $P_b$ , konveyer barabani valining aylanishlar chastotasi  $n_b$  qiymatlari 19-jadvalda ko'rsatilgan.

Hamma variantlar uchun  $L_h = 40 \cdot 10^3$ .



### 19-shakl. Lentali konveyer yuritmasi

1-elektrodvigatel; 2-ikki pog'onali, silindirik g'ildirakli o'qdosh reduktor;  
3-zanjirli uzatma; 4-lentali konveyer barabani

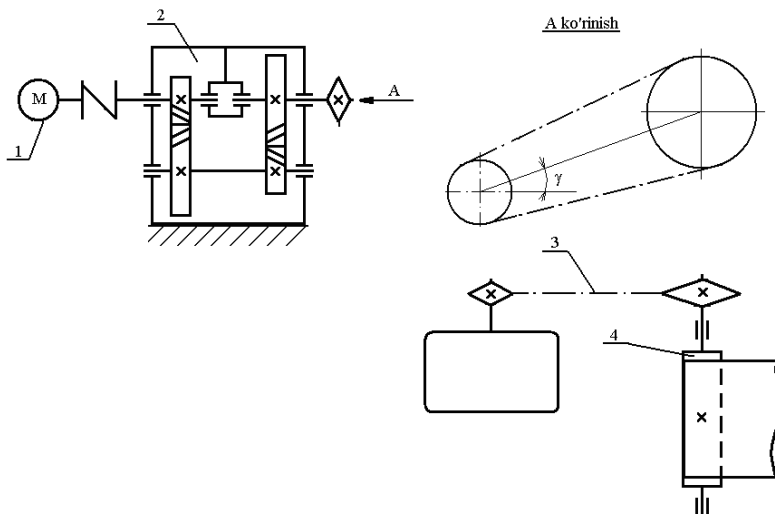
19-jadval

Variant	1	2	3	4	5	6	7	8	9	10
$P_b$ , kVt	2,5	3,5	4,5	5,5	6,5	7,5	9	2,5	3,5	4,5
$n_b$ , min <sup>-1</sup>	25	75	50	25	50	75	40	50	25	75
$D_b$ , mm	300	250	300	350	300	325	375	275	300	300

## 20-topshiriq

20-shaklda ko'rsatilgan lentali konveyer yuritmasi loyihalansin. Lentali konveyer barabani validagi quvvat  $P_b$ , konveyer barabani valining aylanishlar chastotasi  $n_b$  qiymatlari 20-jadvalda ko'rsatilgan.

Hamma variantlar uchun  $L_h = 40 \cdot 10^3$ .



### 20-shakl. Lentali konveyer yuritmasi

1-elektrodvigatel; 2-ikki pog'onali, silindrik g'ildirakli o'qdosh reduktor; 3-zanjirli uzatma; 4-lentali konveyer barabani

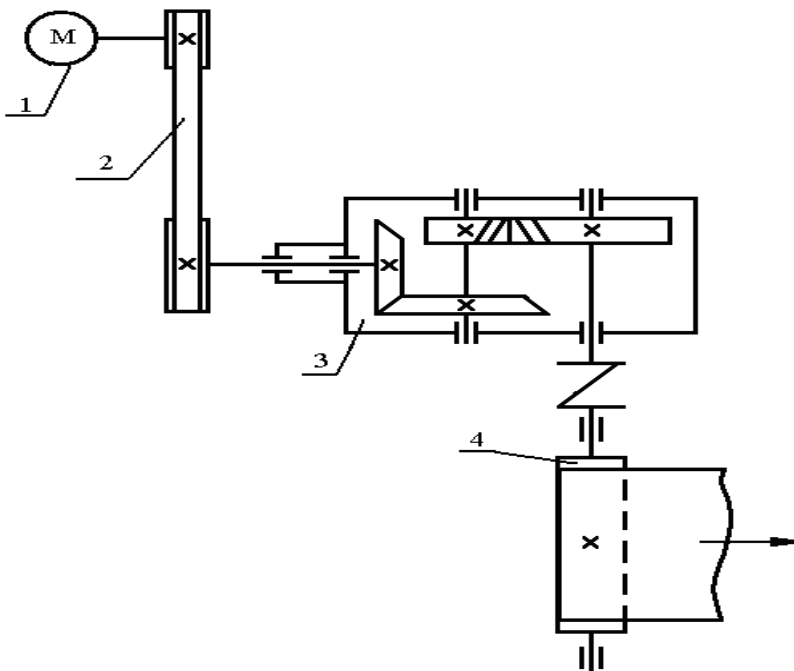
20-jadval

Variant	1	2	3	4	5	6	7	8	9	10
$P_b$ , kVt	2	2,75	3,5	4,25	5	5,75	6,5	7,5	2	2,75
$n_b$ , min <sup>-1</sup>	30	60	30	60	35	70	40	80	60	30
$D_b$ , mm	300	250	325	300	325	325	375	350	250	300

## 21-topshiriq

21-shaklda ko'rsatilgan lentali konveyer yuritmasi loyihalansin. Lentali konveyer barabani validagi quvvat  $P_b$ , konveyer barabani valining aylanishlar chastotasi  $n_b$  qiymatlari 21-jadvalda ko'rsatilgan.

Hamma variantlar uchun  $L_h = 40 \cdot 10^3$ .



### 21-shakl. Lentali konveyer yuritmasi

1-elektrodvigatel; 2-ponasimon tasmalı yzatma; 3-ikki pog'onali, konussimon va silindrik g'ildirakli reduktor; 4-lentali konveyer barabani

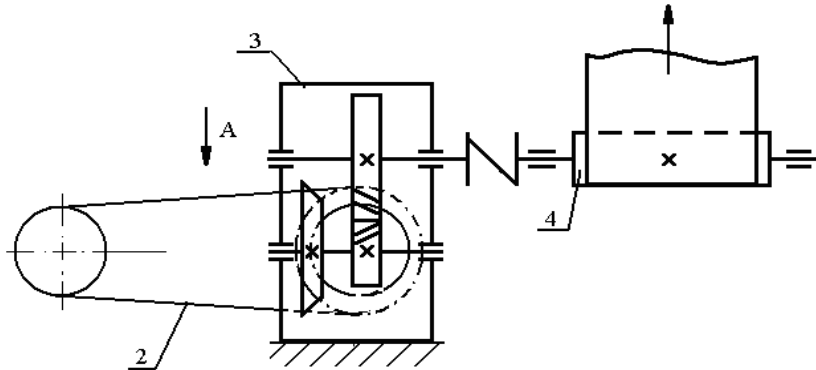
21-jadval

Variant	1	2	3	4	5	6	7	8	9	10
$P_b$ , kVt	2	2,75	3,5	4,25	5	5,75	6,5	2,5	3,25	3,75
$n_b$ , min <sup>-1</sup>	40	60	80	40	60	80	40	60	80	40
$D_b$ , mm	300	300	300	325	325	325	350	300	300	325

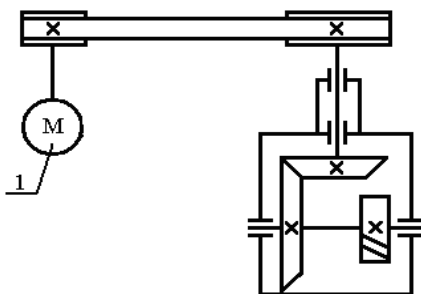
## 22-topshiriq

22-shaklda ko'rsatilgan lentali konveyer yuritmasi loyihalansin. Lenta-  
li konveyer barabani validagi quvvat  $P_b$ , konveyer barabani valining aylan-  
ishlar chastotasi  $n_b$ , qiymatlari 22-jadvalda ko'rsatilgan.

Hamma variantlar uchun  $L_h = 40 \cdot 10^3$ .



A ko'rinish



### 22-shakl. Lentali konveyer yuritmasi

1-elektrodvigatel; 2-ponasimon tasmalni yzatma; 3-ikki pog'onali, ko-nussimon va silindriq g'ildirakli reduktor; 4-lentali konveyer barabani

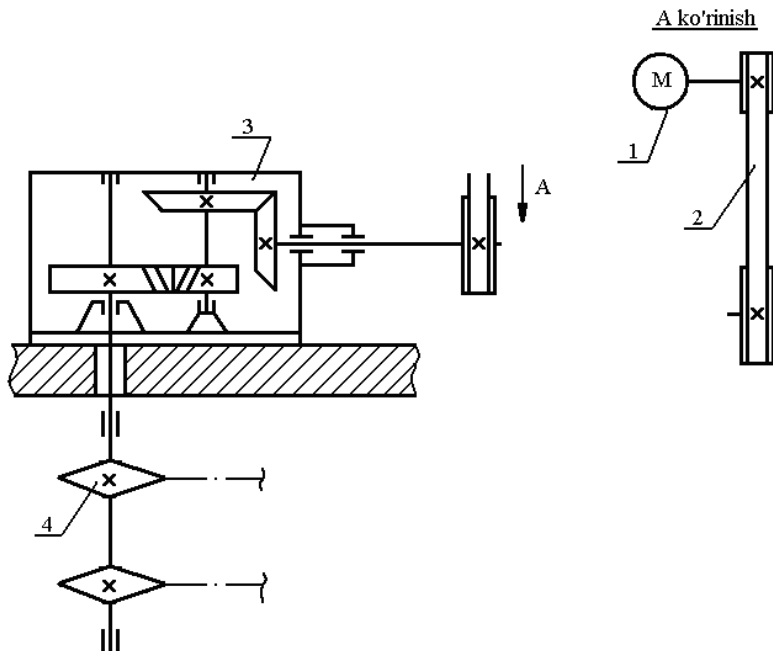
22-jadval

Variant	1	2	3	4	5	6	7	8	9	10
$P_b$ , kVt	2	2,5	3	3,5	4	5	6	2	2,5	3
$n_b$ , min <sup>-1</sup>	25	50	75	25	50	30	60	50	75	25
$D_b$ , mm	325	300	300	325	325	350	350	300	300	325

## 23-topshiriq

23-shaklda ko'rsatilgan zanjirli konveyer yuritmasi loyihalansin. Zanjirli konveyer validagi quvvat  $P_y$ , konveyer valining aylanishlar chastotasi  $n_y$  qiymatlari 23-jadvalda ko'rsatilgan.

Hamma variantlar uchun  $L_h = 40 \cdot 10^3$ .



### 23-shakl. Zanjirli konveyer yuritmasi

1-elektrodvigatel; 2-ponasimon tasmali yzatma; 3-ikki pog'onali, konussimon va silindrik g'ildirakli reduktor; 4-konveyer yulduzchasi

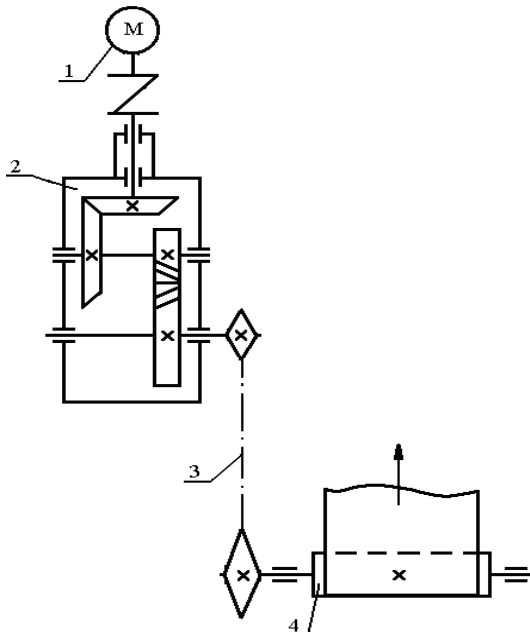
23-jadval

Variant	1	2	3	4	5	6	7	8	9	10
$P_y, \text{kVt}$	2	2,25	2,5	2,75	3	3,25	3,5	2	2,25	2,5
$n_y, \text{min}^{-1}$	30	50	70	30	50	70	30	50	70	30
$D_{yul}, \text{mm}$	275	275	250	300	275	300	325	275	250	275

## 24-topshiriq

24-shaklda ko'rsatilgan lentali konveyer yuritmasi loyihalansin. Lentali konveyer barabani validagi quvvat  $P_b$ , konveyer barabani valining aylanishlar chastotasi  $n_b$  qiymatlari 20-jadvalda ko'rsatilgan.

Hamma variantlar uchun  $L_h = 40 \cdot 10^3$ .



### 24-shakl. Lentali konveyer yuritmasi

1-elektrosvigatel; 2-ikki pog'onali, konussimon va silindriq g'ildirakli reduktor; 3-zanjirli yzatma; 4-lentali konveyer barabani

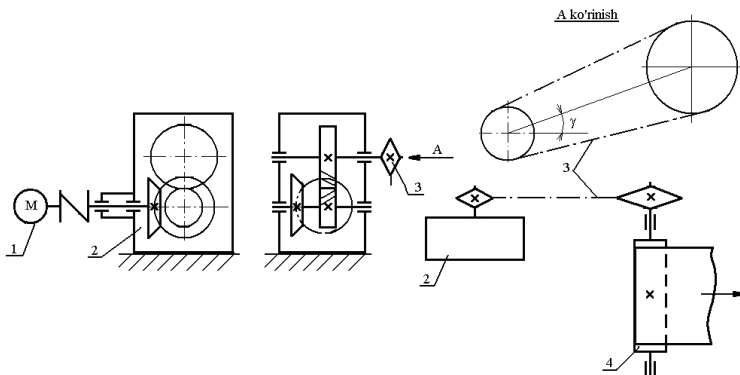
24-jadval

Variant	1	2	3	4	5	6	7	8	9	10
$P_b$ , kVt	3	3,5	4	4,5	5	5,5	7	3	3,5	4
$n_b$ , min <sup>-1</sup>	25	40	60	25	40	60	30	40	60	25
$D_{yul}$ , mm	225	200	225	250	250	250	275	200	200	240

## 25-topshiriq

25-shaklda ko'rsatilgan lentali konveyer yuritmasi loyihalansin. Lenta-  
li konveyer barabani validagi quvvat  $P_b$ , konveyer barabani valining aylan-  
ishlar chastotasi  $n_b$ , qiymatlari 25-jadvalda ko'rsatilgan.

Hamma variantlar uchun  $L_h = 40 \cdot 10^3$ .



### 25-shakl. Lentali konveyer yuritmasi

1-elektrodvigatel; 2-ikki pog'onali, konussimon va silindirik g'ildirakli re-  
duktor; 3-zanjirlili yzatma; 4-lentali konveyer barabani

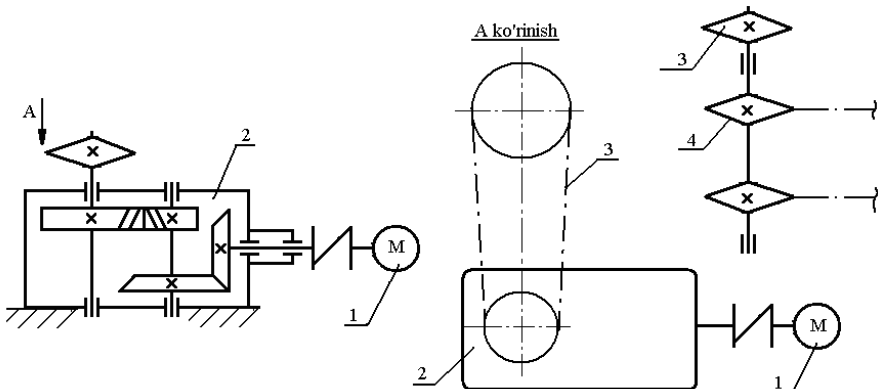
25-jadval

Variant	1	2	3	4	5	6	7	8	9	10
$P_b$ , kVt	2	2,5	2,6	3,7	3,3	3,6	4	2	2,3	2,6
$n_b$ , min <sup>-1</sup>	25	50	75	25	50	75	25	50	75	25
$D_b$ , mm	275	250	250	300	275	300	325	250	250	275

## 26-topshiriq

26-shaklda ko'rsatilgan zanjirli konveyer yuritmasi loyihalansin. Zanjirli konveyer validagi quvvat  $P_y$ , konveyer valining aylanishlar chastotasi  $n_y$  qiymatlari 26-jadvalda ko'rsatilgan.

Hamma variantlar uchun  $L_h = 40 \cdot 10^3$ .



### 26-shakl. Zanjirli konveyer yuritmasi

1-elektrodvigatel; 2-ikki pog'onali, konussimon va silindrik g'ildirakli reduktor; 3-zanjirli uzatma; 4-konveyer yulduzchasi

26-jadval

Variant	1	2	3	4	5	6	7	8	9	10
$P_y$ , kVt	2	2,3	2,6	3	3,4	3,7	4	2	2,3	2,6
$n_y$ , min <sup>-1</sup>	25	60	25	60	25	60	25	60	25	60
$D_{yul}$ , mm	300	300	325	300	325	300	350	275	325	300

## **Foydalanilgan adabiyotlar**

1. I.S. Sulaymonov. Mashina detallari. O‘qituvchi, Toshkent. 1981. 306 b.
2. Sh. A. Shoobidov. Mashina detallari. Toshkent. 2004. 120 b.
3. М.Н. Иванов. Детали машин. Учебник для машиностроительных вузов, М.: Высшая школа. 2006. 408 b.
4. С.А. Чернавский и др. Курсовое проектирование деталей машин. М.: Машиностроение. 1987. 416 b.
3. S.A. Orifxo‘jaev. Mashina detallaridan kurs loyihasini rasmiylashtirish. Т., 2013., 21 b.

# Mundarija

## I.Bo‘lim. Hisoblash tushuntirish ishlari

1.1.	Mashina detallaridan kurs loyihasini bajarish.....	3
1.2.	Yuritmaning kinematik hisobi.....	4
1.3.	Elektrodvigatelning talab qilingan quvvati.....	4
1.4.	Uzatish nisbatini pog‘onalararo taqsimlash.....	5
1.5.	Yuritma vallarining ko‘rsatkichlari.....	8
1.6.	Tishli uzatmalarni hisoblash.....	8
1.7.	Tishli g‘ildiraklar materiallarini tanlash. Ruxsat etilgan kuchlanishlarni aniqlash.....	9
2.	Ochiq tishli uzatmalarni hisoblash.....	13
2.1.	Ochiq silindrik tishli uzatmaning hisobi.....	14
2.2.	Ochiq konussimon tishli g‘ildirakli uzatma.....	18
3.	Yopiq tishli uzatma (reduktor)larni hisoblash.....	20
3.1.	Silindrik tishli g‘ildirakli uzatma.....	21
3.2.	Konussimon tishli g‘ildirakli uzatmalarni hisoblash.....	25
3.3.	Chervakli uzatmalarni hisoblash .....	29
3.4.	Chervakli reduktoring hisoblash ketma-ketligi.....	30
4.	Reduktor detallarining geometrik o‘lchamlari.....	41
4.1.	Reduktor korpusining geometrik o‘lchamlari.....	41
4.2.	Tishli gildiraklarning asosiy o‘lchamlari jadvali.....	45
4.3.	Vallarning taxminiy hisobi.....	46
4.3.1.	Yetaklovchi val.....	46
4.3.2.	Yetaklanuvchi val.....	47
4.4.	Reduktor detallarini joylashtirish.....	49
4.4.1.	Konussimon tishli g‘ildirakli redukтор detallarini joylashtirish...	52

## II.Bo‘lim.

### Yuritmalarни loyihalashga doir misollar

I misol II.1.	Bir pog‘onali qiya tishli silindrik redukтор va zanjirli uzatma bo‘lgan zanjirli konveyer yuritmasini loyihalash.....	58
II misol II.2.	Ikki pog‘onali o‘qdosh silindrik reduktordan tashkil topgan lentali konveyerni loyihalash.....	93
Ilova.....	.....	136
	Kurs loyihasi topshiriqlari.....	136

Muharir

Sidiqova K.

Musahhih

Adilxodjayeva SH.